

การศึกษาระบบปั้นอิเล็กตรอนเดี่ยวโดยวิธีการควบคุมมอนติคาร์โล

ปราโมทย์ รังสรรค์

วรุณิ บุญฤทธิ์

สุริช ลัมพันธ์อภัย

เสนอต่อมหาวิทยาลัยมหาสารคาม เพื่อเป็นส่วนหนึ่งของการศึกษาตามหลักสูตร
ปริญญาวิทยาศาสตรบัณฑิต สาขาวิชาพิสิกส์
เมษายน 2557
ลิขสิทธิ์เป็นของมหาวิทยาลัยมหาสารคาม

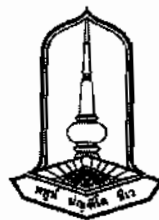
QUANTUM MONTE CARLO STUDY OF THE METALLIC
SINGLE-ELECTRON PUMP

PRAMOTE RUNGSRI

WORAWUT BOONRUESI

SUTEE SAMPAN-A-PAI

PRESENTED IN PARTIAL FULFILLMENT OF REQUIREMENTS FOR
THE BACHELOR OF SCIENCE IN PHYSICS
APRIL 2014
ALL RIGHTS RESERVED BY MAHASARAKHAM UNIVERSITY



คณะกรรมการสอบปริญญาบัณฑิต ได้พิจารณาปริญญานิพนธ์ของ นายปรมะทัย รังศรี นายนวรุณี บุญฤทธิ์ และ นายสุธีร์ สันพันธ์อภัยแล้วเห็นสมควรรับเป็นส่วนหนึ่งของการศึกษาตาม หลักสูตรปริญญาวิทยาศาสตรบัณฑิต สาขาวิชาพิสิกส์ ของมหาวิทยาลัยมหาสารคาม

คณะกรรมการสอบปริญญาบัณฑิต

.....

(อาจารย์ ดร. กฤษกร pasa-in) ประธานกรรมการ

.....

(อาจารย์ ดร. เจริญ จุรีมาศ) กรรมการ

.....

(อาจารย์ ดร. สุชาติ ใจคลึง) กรรมการ

.....

(อาจารย์ ดร. ศุภชัย ฤทธิ์เจริญวัฒนา) กรรมการและอาจารย์ที่ปรึกษาร่วม

.....

(อาจารย์ ดร. ประชาน ศรีวิถกุล) กรรมการและอาจารย์ที่ปรึกษา

.....
(อาจารย์ ดร. ปวีณา เหลาภูล)
ประธานหลักสูตรสาขาวิชาพิสิกส์

.....
(อาจารย์ ดร. นิติศักดิ์ pasa-in)
หัวหน้าภาควิชาพิสิกส์
วันที่ 9 เดือน เมษายน พ.ศ. 2557



ต้นฉบับไม่ปรากฏข้อมูล



ชื่อเรื่อง	การศึกษาระบบปั้นอิเล็กทรอนเดี่ยวโดยวิธีการควบคุมต้นมอนติคาร์โล	
ผู้ทำโครงการ	นาย ปราโมทย์ รังสรรค์	
	นาย วรุฒิ บุญฤทธิ์	
	นาย สุริร์ สัมพันธ์วงศ์	
ปริญญา	วิทยาศาสตรบัณฑิต	สาขาวิชา พลังงาน
อาจารย์ที่ปรึกษา	อาจารย์ ดร. ประยาน พริเวส	
อาจารย์ที่ปรึกษาร่วม	อาจารย์ ดร. ศุภชัย ฤทธิ์เจริญวัฒนา	
มหาวิทยาลัย	มหาวิทยาลัยมหा�สารคาม	ปีที่พิมพ์ 2557

บทคัดย่อ

ในการศึกษาปัจมีอิเล็กทรอนเดี่ยวตัวยังวิธีการความดันมอนติคาร์โล ลำดับแรกจะนับวิจัยได้สร้างแผนภาพเสถียรของระบบจากผลต่างของพลังงานการเพิ่มประจุที่ใช้ในการส่งผ่านอิเล็กทรอน ซึ่งพลังงานตั้งกล่าวจะหักห้ามการเกิดปรากฏการณ์การขัดขวางแบบคูลอมบ์ภายในอุปกรณ์อิเล็กทรอนเดี่ยวแผนภาพเสถียรที่สร้างขึ้นมีลักษณะเป็นรูปหกเหลี่ยมเชื่อมต่อกันด้วยจุดหรือเป็นพอยท์ ซึ่งเป็นเงื่อนไขที่สำคัญในการคำนวณค่าความนำไฟฟ้าสูงสุดของปั๊มอิเล็กทรอนเดี่ยว จากการคำนวณค่าความนำไฟฟ้าด้วยวิธีการความดันมอนติคาร์โล ทำให้สามารถกำหนดตำแหน่งและค่าความนำไฟฟ้าสูงสุดได้ เมื่อนำค่าความนำไฟฟ้าสูงสุดไปเปรียบเทียบกับผลการทดลอง พบว่าความแตกต่างมีค่าน้อยกว่า 5 % โดยในกรณีที่อุณหภูมิต่ำ ($\beta E_c > 1$) ค่าความนำไฟฟ้าขึ้นกับค่าแรงดันไฟฟ้าที่ขั้วเกต ซึ่งเป็นผลของการเกิดปรากฏการณ์การขัดขวางแบบคูลอมบ์ นอกจากนี้ การเกิดปรากฏการณ์การขัดขวางแบบคูลอมบ์สามารถอธิบายได้ด้วยค่าพลังงานการเพิ่มประจุยังผล ซึ่งสามารถคำนวณได้ด้วยวิธีการความดันมอนติคาร์โล โดยค่าของพารามิเตอร์ตั้งกล่าวเป็นพงก์ขั้นของค่าความนำไฟฟ้ารวมและอุณหภูมิของระบบ

คำสำคัญ : ปั๊มอิเล็กทรอนเดี่ยวน; ปราการภารณ์การขัดขวางแบบคลอมป์; วิธีการควบคุมตั้มมอนติคาร์โล

TITLE	Quantum Monte Carlo study of the metallic single-electron pump	
AUTHORS	Pramote Rungsri Worawut Boonruesi Sutee Sampan-a-pai	
DEGREE	Bachelor of Science	MAJOR Physics
ADVISOR	Dr. Prathan Srivilai	
CO-ADVISOR	Dr. Supachai Ritjareonwattu	
UNIVERSITY	Mahasarakham University	DATE 2014

ABSTRACT

The aim of this project is to study single-electron pumps using the quantum Monte Carlo method. Theoretically, a charging energy reflects to the Coulomb blockade phenomenon within single-electron devices. This energy will change when an electron tunnels into the island. In practice, stability diagrams of the system, which is required to investigate the characteristics of single-electron devices, can be sketched from the differences of charging energies. The triple point in the stability diagram was a major parameter for calculating the maximum conductance of the system. Therefore, it was used to define the condition in this work. The quantum Monte Carlo method was used to calculate the maximum conductance of the single-electron pump. The calculation results were then used to locate the position of the maximum conductance in each condition. These simulation results agreed to the experimental results since the deviation was less than 5 %. Also, the results show the great influence of the gate voltage on the Coulomb blockade phenomenon, and hence, it was used to control the conductance of the single-electron pump. Moreover, the effective changing energy was calculated to show the strength of the Coulomb blockade using the quantum Monte Carlo method. Evidently, the effective charging energy was the function of the total conductance and the system temperature.

Key Words : Single-electron pumps; Coulomb blockade phenomenon;
Quantum Monte Carlo method

สารบัญ

	หน้า
กิตติกรรมประกาศ	ก
บทคัดย่อภาษาไทย	ข
บทคัดย่อภาษาอังกฤษ	ค
สารบัญ	ง
บัญชีตาราง	ฉ
บัญชีภาพประกอบ	ซ
บทที่ 1 บทนำ	1
1.1 ที่มาและความสำคัญ	1
1.2 วัตถุประสงค์ของโครงการ	3
1.3 ขอบเขตของโครงการ	3
1.4 สถานที่ทำงาน	3
1.5 ประโยชน์ที่ได้รับ	3
บทที่ 2 ทฤษฎีที่เกี่ยวข้อง	4
2.1 อุปกรณ์อิเล็กทรอนเดี่ยว	4
2.2 หวานชิสเตอร์อิเล็กทรอนเดี่ยว	9
2.2.1 แบบจำลองประจุของหวานชิสเตอร์อิเล็กทรอนเดี่ยว	10
2.2.2 แม็กซันยังผลของหวานชิสเตอร์อิเล็กทรอนเดี่ยว	11
2.3 ปั๊มอิเล็กทรอนเดี่ยว	13
2.4 วิธีการมองดิคาร์โล	19
2.4.1 การคำนวณหาค่าปริพันธ์ด้วยวิธีการมองดิคาร์โล	19
2.4.2 การสุมตัวอย่างตามความสำคัญ	20
2.4.3 ระเบียบวิธีของเมโทรโพลิส	22
2.5 วิธีการควบคุมดิคาร์โล	22
บทที่ 3 แผนภาพเสถียร	25
3.1 แผนภาพเสถียรในระบบของจำนวนประจุ	25
3.2 แผนภาพเสถียรในระบบของแรงดันไฟฟ้า	34
3.2.1 พิจารณาขอบเขตของแกน K_1	36
3.2.2 พิจารณาขอบเขตของแกน K_2	37
3.2.3 แผนภาพการส่งผ่านของอิเล็กทรอนในปั๊มอิเล็กทรอนเดี่ยว	38

สารบัญ (ต่อ)

	หน้า
บทที่ 4 พลังงานการเพิ่มประจุยังผลของปืนอิเล็กตรอนเดี่ยว	40
4.1 แม็กซันยังผลสำหรับการคำนวณด้วยวิธีการคำนวณตั้มมอนติคาโร	40
4.1.1 ตัวเลขไวน์ดิง	42
4.1.2 ค่าแม็กซันในรูปแบบที่ไม่ต่อเนื่อง	44
4.2 นิยามและการคำนวณค่าพลังงานการเพิ่มประจุยังผลของปืนอิเล็กตรอนเดี่ยว	46
4.3 ผลการคำนวณและอภิปรายผล	50
4.3.1 การวิเคราะห์ค่าสัมประสิทธิ์พลังงาน E_{C_0}	53
4.3.2 การวิเคราะห์พจน์เอกสารไฟแนนเชียล	54
บทที่ 5 ค่าความนำไฟฟ้าของปืนอิเล็กตรอนเดี่ยว	56
5.1 พารามิเตอร์	56
5.2 การคำนวณค่าคอร์ริเรชันฟังก์ชัน	58
5.3 การคำนวณค่าสเปคทรัลฟังก์ชันแบบสมมาตร	60
5.4 การคำนวณค่าความนำไฟฟ้า	62
5.5 ผลการคำนวณค่าความนำไฟฟ้า	64
บทที่ 6 สรุปผลและข้อเสนอแนะ	68
6.1 สรุปผล	68
6.2 ข้อเสนอแนะ	69
บรรณานุกรม	71
ภาคผนวก	74
ประวัติย่อผู้ทำโครงการ	80

บัญชีตาราง

	หน้า
ตาราง 2.1 ค่าพารามิเตอร์ทั้งหมดของปั๊มอิเล็กตรอนเดี่ยว ค่าความนำไฟฟ้าที่แต่ละรอยต่อการ หดลุ่มผ่าน $j \in \{L, M, R\}$ ถูกนิยามเป็น $g_j = G_j / G_k$ และ $G_k = e^2 / h$ และ G_0 เป็นค่าความนำไฟฟ้าแบบฉบับซึ่งเกิดที่อุณหภูมิสูงของปั๊มอิเล็กตรอนเดี่ยว [7]	14
ตาราง 4.1 ค่าสัมประสิทธิ์พลังงานในกรณีที่ค่า βE_c อยู่ในช่วง 1 ถึง 20	52
ตาราง 4.2 ความชันของกราฟระหว่าง $\ln(E'_c / E_c)$ กับค่าความนำไฟฟ้ารวมยกกำลังสอง (g_i^2) ในกรณีที่ βE_c อยู่ในช่วง 1 ถึง 20	55
ตาราง 5.1 ผลการเปรียบเทียบค่าความนำไฟฟ้าสูงสุดจากการคำนวณด้วยวิธีการควบคุมด้วย มอนติคาร์โลกับผลการทดลองของลิมบัช	66



บัญชีภาพประกอบ

	หน้า
ภาพประกอบ 1.1 โครงสร้างของปั๊มอิเล็กตรอนเดี่ยว ที่ถ่ายด้วยกล้องจุลทรรศน์อิเล็กตรอน ชนิดส่องกราด (scanning electron microscope; SEM) [7]	2
ภาพประกอบ 2.1 (a) แบบจำลองของกล่องอิเล็กตรอนเดี่ยวซึ่งประกอบด้วยรอยต่อการหล่อผ่าน และแกะโลหะ และ (b) วงจรสมมูลของกล่องอิเล็กตรอนเดี่ยว [4]	4
ภาพประกอบ 2.2 (a) ความสัมพันธ์ระหว่างพลังงานศักย์ไฟฟ้าสถิต E_c (n_{min}) ของกล่อง อิเล็กตรอนเดี่ยวกับจำนวนประจุลบที่ถูกเหนี่ยวนำด้วยแรงดันไฟฟ้าที่ข้าว เกต (k_B) และ (b) จำนวนอิเล็กตรอนเฉลี่ยที่หล่อผ่านรอยต่อการหล่อผ่าน (k_{min}) ที่ขึ้นกับจำนวนประจุลบที่ถูกเหนี่ยวนำด้วยแรงดันไฟฟ้าที่ข้าวเกต	7
ภาพประกอบ 2.3 ความสัมพันธ์ระหว่างพลังงานการเพิ่มประจุยังผลของกล่องอิเล็กตรอน เดี่ยวกับค่าอัตราส่วนของค่าความนำไฟฟ้าของการหล่อผ่าน $g = G_T / G_k$ [10]	8
ภาพประกอบ 2.4 (a) โครงสร้างของทรานซิสเตอร์อิเล็กตรอนเดี่ยวแบบ 4 รอยต่อ และ (b) วงจรสมมูลของทรานซิสเตอร์อิเล็กตรอนเดี่ยว (บริเวณภายในเส้นประ คือ บริเวณของแกะโลหะ) [6]	9
ภาพประกอบ 2.5 ความนำไฟฟ้าของทรานซิสเตอร์อิเล็กตรอนเดี่ยว โดยที่ค่า $g = 4.75$ ซึ่ง ถูกวัดโดยวอลล์ลีสเซอร์และคณะ [15] (o) ข้อมูลที่ได้จากการทดลองและ (-) ข้อมูลที่ได้จากการคำนวณด้วยวิธีการควบคุมต้มมนติการโล	12
ภาพประกอบ 2.6 โครงสร้างของปั๊มอิเล็กตรอนเดี่ยวชนิดโลหะ ที่ถ่ายด้วยกล้องจุลทรรศน์ อิเล็กตรอนชนิดส่องกราด จากงานวิจัยของลินบัชและคณะ [7]	13
ภาพประกอบ 2.7 วงจรสมมูลของปั๊มอิเล็กตรอนเดี่ยว [7]	14
ภาพประกอบ 2.8 (a) แผนภาพเส้นร่องปั๊มอิเล็กตรอนเดี่ยว และ (b) ผลการวัดค่าความนำไฟฟ้าของปั๊มอิเล็กตรอนเดี่ยว ซึ่งเป็นพังก์ชันของแรงดันไฟฟ้าที่ข้าวเกตทั้งสองขั้วที่อุณหภูมิ $150 mK$ [7]	16
ภาพประกอบ 2.9 การแกว่งวัดของคูลอมบ์ของปั๊มอิเล็กตรอนเดี่ยวที่เกิดขึ้นในช่วงอุณหภูมิ $27 mK$ ($= 0.011 E_c / k_B$) ถึง $1.1 K$ ($= 0.44 E_c / k_B$) ซึ่งถูกแสดงผล โดยการวัดค่าความนำไฟฟ้าของปั๊มอิเล็กตรอนเดี่ยว เมื่อจำนวนประจุลบที่ถูกเหนี่ยวนำด้วยแรงดันไฟฟ้าที่ข้าวเกตเปลี่ยนแปลง [7]	17

บัญชีภาพประกอบ (ต่อ)

	หน้า
ภาพประกอบ 2.10 (a) แผนภาพระดับพลังงานของเก้าโลหะที่เกิดค่าความนำไฟฟ้าต่ำสุด และ ^(b) แผนภาพระดับพลังงานของเก้าโลหะที่เกิดค่าความนำไฟฟ้าสูงสุด	18
ภาพประกอบ 2.11 ตัวอย่างการแบ่งเส้นทางจินตภาพออกเป็น 10 ช่วงเท่าๆ กัน	23
ภาพประกอบ 3.1 วงจรสมมูลของปั๊มอิเล็กตรอนเดียว [7]	26
ภาพประกอบ 3.2 แผนภาพเสถียรของปั๊มอิเล็กตรอนเดียว ซึ่งเป็นกรณีที่ไม่มีประจุลบเหนี่ยวนำในเก้าโลหะ	29
ภาพประกอบ 3.3 แผนภาพเสถียรของปั๊มอิเล็กตรอนเดียว ซึ่งอยู่ในกรณีที่ประจุลบเหนี่ยวนำในเก้าโลหะมีค่าต่างๆ	30
ภาพประกอบ 3.4 แผนภาพเสถียรของปั๊มอิเล็กตรอนเดียว	31
ภาพประกอบ 3.5 แผนภาพเสถียรของปั๊มอิเล็กตรอนเดียว ในกรณีที่ $C_M \approx 0$	32
ภาพประกอบ 3.6 แผนภาพเสถียรของปั๊มอิเล็กตรอนเดียวในกรณีที่ C_M มีค่าเพิ่มขึ้นเป็น 100 เท่า โดยเส้นตรงตัดกันเป็นรูปทรงสี่เหลี่ยมด้านข้าง	33
ภาพประกอบ 3.7 แผนภาพเสถียรของปั๊มอิเล็กตรอนเดียวในระหว่าง V_1 และ V_2	36
ภาพประกอบ 3.8 แผนภาพเสถียรของปั๊มอิเล็กตรอนเดียว กรณีของสถานะประจุ $(0,0)$	36
ภาพประกอบ 3.9 แผนภาพการส่งผ่านอิเล็กตรอนของปั๊มอิเล็กตรอนเดียวเมื่อมีการเปลี่ยนแปลงแรงดันไฟฟ้าที่ขั้วเกตทางซ้ายและขวา (a) สภาพที่ไม่จ่ายแรงดันไฟฟ้า ($V_1 = V_2 = 0$) (b) สภาพที่จ่ายแรงดันไฟฟ้าที่ขั้วเกตทางขวาและลดแรงดันไฟฟ้าขั้วเกตทางซ้าย ($V_2 > V_1 > 0$) และ (c) สภาพที่ลดแรงดันไฟฟ้าที่ขั้วเกตทางขวาและปรับแรงดันไฟฟ้าที่ขั้วเกตทางซ้ายให้กลับไปสภาพเริ่มต้น ($V_2 > V_1 = 0$) ทำให้เกิดการส่งผ่านของอิเล็กตรอนจากขั้วซอร์สไปยังขั้วเดрен	38
ภาพประกอบ 4.1 ค่าพลังงานการเพิ่มประจุยังผลของปั๊มอิเล็กตรอนเดียวที่ได้จากการคำนวณด้วยวิธีการคำนวณด้วยตัวการ์โนในกรณีที่ค่าอัตราส่วนระหว่างพลังงานการเพิ่มประจุต่อพลังงานความร้อนเฉลี่ย (βE_c) อยู่ในช่วง 1 ถึง 20	50
ภาพประกอบ 4.2 ค่าพลังงานการเพิ่มประจุยังผลของปั๊มอิเล็กตรอนเดียวที่ได้จากการคำนวณด้วยวิธีการคำนวณด้วยตัวการ์โนในกรณีที่ค่าอัตราส่วนระหว่างพลังงานการเพิ่มประจุต่อพลังงานความร้อนเฉลี่ย $\beta E_c = 20$	51

บัญชีภาพประกอบ (ต่อ)

	หน้า
ภาพประกอบ 4.3 (a) ความสัมพันธ์ระหว่าง $\ln(E^*/E_C)$ กับค่าความนำไฟฟ้ารวม (g_T) ของปืนอิเล็กตรอนเดียวที่ $\beta E_C = 20$ และ (b) ความสัมพันธ์ระหว่าง $\ln(E^*/E_C)$ กับค่าความนำไฟฟ้ารวมยกกำลังสอง (g_T^2) ของปืน อิเล็กตรอนเดียวเมื่อ $\beta E_C = 20$	51
ภาพประกอบ 4.4 ความสัมพันธ์ระหว่างค่าสัมประสิทธิ์พลังงานกับค่าอัตราส่วนระหว่าง พลังงานเพิ่มประจุต่อพลังงานความร้อนเฉลี่ย (βE_C) ในช่วง 1 ถึง 20 กรณีที่ค่าความนำไฟฟ้ารวมเป็นศูนย์ ($g_T = 0$)	52
ภาพประกอบ 5.1 ค่าคอร์ริเลชันฟิงก์ชันของปืนอิเล็กตรอนเดียวที่อุณหภูมิค่าต่างๆ เมื่อ จำนวนประจุลบที่ถูกเหนี่ยวนำด้วยแรงดันไฟฟ้าที่ข้าวเกรต $n_{T,0} = 0.3$ และ $n_{R,0} = 0.3$	59
ภาพประกอบ 5.2 ค่าคอร์ริเลชันฟิงก์ชันที่อุณหภูมิ $T = 0.3 K$ ในกรณีที่จำนวนประจุลบที่ถูก เหนี่ยวนำด้วยแรงดันไฟฟ้าที่ข้าวเกรต $n_{T,0} = 0$ และ $n_{R,0} \in \{0.00, 0.25, 0.50\}$	60
ภาพประกอบ 5.3 ค่าสเปคตรัลฟิงก์ชันแบบสมมาตรที่อุณหภูมิค่าต่างๆ เมื่อจำนวนประจุลบที่ ถูกเหนี่ยวนำด้วยแรงดันไฟฟ้าที่ข้าวเกรตรวม $n_r = 0$ ซึ่งมีความถี่คัดหอพ $\omega_{max} = 6$	61
ภาพประกอบ 5.4 ค่าความนำไฟฟ้าของปืนอิเล็กตรอนเดียวเมื่อจำนวนประจุลบที่ถูกเหนี่ยวนำ ด้วยแรงดันไฟฟ้าที่ข้าวเกรตรวมอยู่ในช่วง $n_r = [0, 2]$ (a) ค่าความนำไฟฟ้า ที่ประกอบด้วยข้อมูล 121 จุด (b) ปรากฏการณ์การแกว่งกวัดของคูลอมบ์ ที่อุณหภูมิ $0.3 K$ ของปืนอิเล็กตรอนเดียวภายใต้เงื่อนไขที่ $n_{T,0} = n_{R,0}$	63
ภาพประกอบ 5.5 ผลการคำนวณค่าความนำไฟฟ้าของปืนอิเล็กตรอนเดียวที่อุณหภูมิ $T = 0.3 K$ (a) ค่าความนำไฟฟ้าที่สร้างจากคู่อันดับจำนวน 121 คู่อันดับ ในลักษณะ 3 มิติ (b) ค่าความนำไฟฟ้าสูงสุดที่ได้จากเทคนิคการคำนวณ แบบเอกасเซียนพิด $G_{max}/G_0 = 0.316$ เกิดขึ้นที่จุด $(n_{T,0}, n_{R,0}) = (0.371, 0.320)$	63
ภาพประกอบ 5.6 แนวโน้มการเกิดการแกว่งกวัดของคูลอมบ์ของปืนอิเล็กตรอนเดียวที่ อุณหภูมิค่าต่างๆ $T \in \{2.0, 0.4, 0.3, 0.25\} K$ โดยที่ n_r อยู่ในช่วง $[0, 1]$	64

บัญชีภาพประกอบ (ต่อ)

	หน้า
ภาพประกอบ 5.7 การเปรียบเทียบค่าความนำไฟฟ้าสูงสุดของปั๊มอิเล็กตรอนเดี่ยวที่เป็นพังค์ชันของอุณหภูมิ โดยเปรียบเทียบระหว่างผลการคำนวณด้วยวิธีการคำนวณด้วยเครื่องคอมพิวเตอร์กับผลการทดลองของลิมบัชและคณะ [7]	65
ภาพประกอบ 5.8 ค่าความนำไฟฟ้าสูงสุดของปั๊มอิเล็กตรอนเดี่ยวที่ได้จากการคำนวณด้วยวิธีการคำนวณด้วยเครื่องคอมพิวเตอร์และจากการทดลองของลิมบัชและคณะ [7] ที่อุณหภูมิต่ำ	66
ภาพประกอบ ผ.1 ลักษณะการเคลื่อนที่ของอิเล็กตรอนทั้ง 6 กรณี	75



บทที่ 1

บทนำ

1.1 ที่มาและความสำคัญ

จากเทคโนโลยีในปัจจุบันที่สามารถสร้างอุปกรณ์อิเล็กทรอนิกส์ให้มีขนาดในระดับนาโนเมตร ทำให้คุณสมบัติทางไฟฟ้าของอุปกรณ์อิเล็กทรอนิกส์ดังกล่าวเปลี่ยนแปลงไป [1] เช่น ในกรณีที่โครงสร้างของอุปกรณ์อยู่ระหว่างไมโครเมตรถึงนาโนเมตร อุปกรณ์สามารถแสดงพฤติกรรมทางไฟฟ้าได้ทั้งความตื้นและแบบฉบับ (quantum and classical behaviors) ซึ่งพฤติกรรมทางความตื้นเป็นคุณลักษณะที่เกิดขึ้นในระดับอะตอม (atomic scale) ส่วนพฤติกรรมแบบฉบับเป็นคุณลักษณะที่เกิดขึ้นในระดับไมโครสโคป (microscopic scale) ระบบดังกล่าวถูกเรียกว่า ระบบเมโซสโคปิก (mesoscopic system) [2]

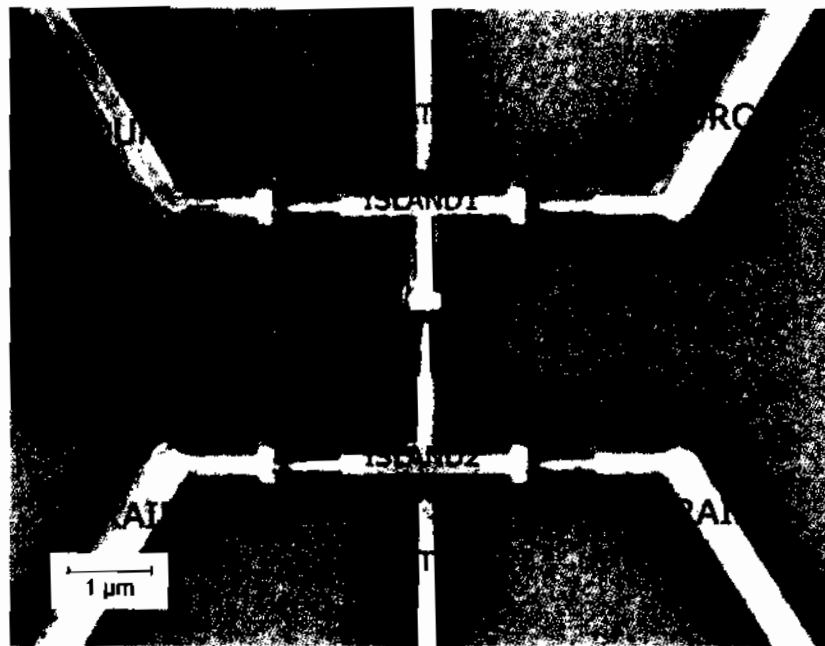
ในปี ค.ศ. 1987 ศาสตราจารย์ฟูตอลและคณะ (Futon et al) [3] ประสบความสำเร็จในการควบคุมอิเล็กตรอนให้เคลื่อนที่ที่ลະหนึ่งตัวในโครงสร้างที่อยู่ในสถานะของแข็ง (solid-state structure) ต่อมาในปี ค.ศ. 1991 ศาสตราจารย์ลาฟาร์กและคณะ (Lafarge et al) [4] ได้ประดิษฐ์โครงสร้างอิเล็กทรอนิกส์ที่ทำการออกแบบโดยใช้การขัดขวางแบบคูลอมบ์ (Coulomb blockade effect) ในอุปกรณ์ที่เรียกว่า กล่องอิเล็กตรอนเดี่ยว (single-electron boxes) โดยแสดงให้เห็นว่าจำนวนอิเล็กตรอนภายในกล่องอิเล็กตรอนเดี่ยวสามารถควบคุมอิเล็กตรอนให้เพิ่มขึ้น (หรือลดลง) ที่ลະหนึ่งตัวด้วยการให้ล้นมาไฟฟ้าที่เหมาะสม โดยพัฒนาที่ใช้ในการเพิ่มจำนวนอิเล็กตรอนนี้เรียกว่าพลังงานการเพิ่มประจุ (charging energy) ซึ่งสามารถถูกกล่าวได้ว่า ในอุปกรณ์อิเล็กทรอนิกส์แบบอิเล็กตรอนเดี่ยว (single-electron devices) [1-5] พลังงานการเพิ่มประจุเป็นตัวแปรที่สำคัญในการควบคุมอิเล็กตรอนให้เคลื่อนที่ผ่านอุปกรณ์ที่ลະหนึ่งตัว

ต่อมาในปี ค.ศ. 2002 วอลลิสเซอร์และคณะ (Walliser et al) [6] ได้ศึกษาโครงสร้างที่เรียกว่า ทรานซิสเตอร์อิเล็กตรอนเดี่ยว (single-electron transistors) ซึ่งเป็นอุปกรณ์ที่ประกอบด้วยเกาโลหะ (metallic island) และรอยต่อของการหล่อผ่านสองรอยต่อคันอยู่ระหว่างเกาโลหะและชั้นไฟฟ้าทั้งสอง ชั้นเกา (gate electrode) ทำหน้าที่ควบคุมจำนวนอิเล็กตรอนภายในเกาโลหะด้วยสนามไฟฟ้าจากแหล่งไฟฟ้าภายนอก เพื่ออธิบายปรากฏการณ์การขัดขวางแบบคูลอมบ์ที่เกิดขึ้นในทรานซิสเตอร์อิเล็กตรอนเดี่ยว วอลลิสเซอร์และคณะได้เปรียบเทียบค่าความนำไฟฟ้าของทรานซิสเตอร์อิเล็กตรอนเดี่ยวที่ได้จากการทดลองกับการคำนวณด้วยวิธีการความตั้มมอนติคาร์โล (quantum Monte Carlo method) พบว่าผลการคำนวณที่ได้จากการคำนวณด้วยวิธีการความตั้มมอนติคาร์โล สามารถอธิบายผลการทดลองได้อย่างถูกต้อง

ในปี ค.ศ. 2005 ลิมบัชและคณะ (Limbach et al) [7] ได้รายงานผลการทดลองของอุปกรณ์ปั๊มอิเล็กตรอนเดี่ยว (single-electron pumps) ซึ่งประกอบไปด้วยเกาโลหะสองเกาที่เรียงต่อกัน



โดยมีรอยต่อการหล่อพานคันอยู่กึ่งกลางระหว่างเกาโลหะและคันอยู่ระหว่างเกาโลหะกับขั้วไฟฟ้าทั้งสอง โดยใช้ขั้วเกตทำหน้าที่ควบคุมจำนวนอิเล็กตรอนในเกาโลหะ ซึ่งมีโครงสร้างดังภาพประกอบ 1.1



ภาพประกอบ 1.1 โครงสร้างของปีมอิเล็กตรอนเดี่ยว ที่ถ่ายด้วยกล้องจุลทรรศน์อิเล็กตรอน ชนิดส่องกราด (scanning electron microscope; SEM) [7]

ลิมบัชและคณะ [7] ได้ทำการวัดค่าความนำไฟฟ้าที่อุณหภูมิค่าต่างๆ เพื่อเปรียบเทียบค่าที่คำนวณจากแบบจำลองซีเควนเชียล (sequential model) พบว่า ทฤษฎีดังกล่าวไม่สามารถอธิบายผลการทดลองดังกล่าวได้ถูกต้อง โดยเฉพาะอย่างยิ่งในช่วงของอุณหภูมิที่เกิดปรากฏการณ์การขัดขวางแบบคูลอมบ์

ในโครงการนี้จึงเน้นศึกษาปรากฏการณ์การขัดขวางแบบคูลอมบ์ที่เกิดขึ้นในปีมอิเล็กตรอนเดี่ยว โดยเริ่มจากการคำนวณแผนภาพเสถียร (stability diagram) ของปีมอิเล็กตรอนเดี่ยว ที่เงื่อนไขต่างๆ เพื่อนำไปสู่การคำนวณค่าความนำไฟฟ้าของปีมอิเล็กตรอนเดี่ยว โดยใช้วิธีการคำนวณต้มมอนติคาร์โล แล้วนำผลที่ได้ไปเปรียบเทียบกับผลการทดลองของลิมบัชและคณะ [7] นอกจากนี้งานวิจัยที่ผ่านมาได้มีการศึกษาไว้เฉพาะพลังงานการเพิ่มประจุยังผลในการณ์ของกล่องอิเล็กตรอนเดี่ยวเท่านั้น [8] โครงการนี้จึงมีวัตถุประสงค์เพื่อนำเสนอ尼ยามและวิธีการคำนวณค่าพลังงานการเพิ่มประจุยังผล (effective charging energy) ซึ่งเป็นลักษณะสมบัติที่สำคัญอย่างหนึ่งของอุปกรณ์อิเล็กตรอนเดี่ยว

1.2 วัตถุประสงค์ของโครงการ

- 1.2.1 เพื่อกำหนดแผนภาพเดียรของปั๊มอิเล็กตรอนเดียว
- 1.2.2 เพื่อเสนอनิยามและวิธีการคำนวณค่าพลังงานการเพิ่มประจุยังผลของปั๊มอิเล็กตรอนเดียวที่อุณหภูมิค่าต่างๆ
- 1.2.3 เพื่อกำหนดค่าความนำไฟฟ้าของปั๊มอิเล็กตรอนเดียวด้วยวิธีการคำนวณตามอนติคาโรโลเพื่อนำไปเปรียบเทียบกับผลการทดลองจริง

1.3 ขอบเขตของโครงการ

- 1.3.1 เขียนแผนภาพเดียรของปั๊มอิเล็กตรอนเดียวในกรณีที่มีการส่งผ่านแบบเชิงเส้น
- 1.3.2 คำนวณค่าพลังงานการเพิ่มประจุยังผลของปั๊มอิเล็กตรอนเดียวเมื่อค่าความนำไฟฟ้าอยู่ในช่วง [0,10]
- 1.3.3 คำนวณค่าความนำไฟฟ้าในปั๊มอิเล็กตรอนเดียวชนิดโลหะที่อุณหภูมิอยู่ในช่วง $0.25 - 2.0 \text{ K}$ และจำนวนประจุลบที่ถูกเหนี่ยวนำด้วยแรงดันไฟฟ้าที่ชั้วเกตเรม (η_x) อยู่ในช่วง [0,2]

1.4. สถานที่ทำโครงการ

หน่วยวิจัยพิสิกส์ทฤษฎีสารควบแน่น (Theoretical Condensed Matter Physics Research Unit) ห้อง SC1-211 ภาควิชาพิสิกส์ คณะวิทยาศาสตร์ มหาวิทยาลัยมหาสารคาม

1.5 ประโยชน์ที่ได้รับ

- 1.5.1 ได้องค์ความรู้สำหรับการอธิบายการออกแบบและประยุกต์ใช้งานปั๊มอิเล็กตรอนเดียว
- 1.5.2 ได้องค์ความรู้สำหรับการคำนวณค่าความนำไฟฟ้าของอุปกรณ์อิเล็กตรอนเดียวที่มีความซับซ้อนมากยิ่งขึ้นได้
- 1.5.3 ได้ข้อมูลสำหรับตีพิมพ์เผยแพร่องานในวารสารระดับประเทศหรือระดับนานาชาติ

บทที่ 2

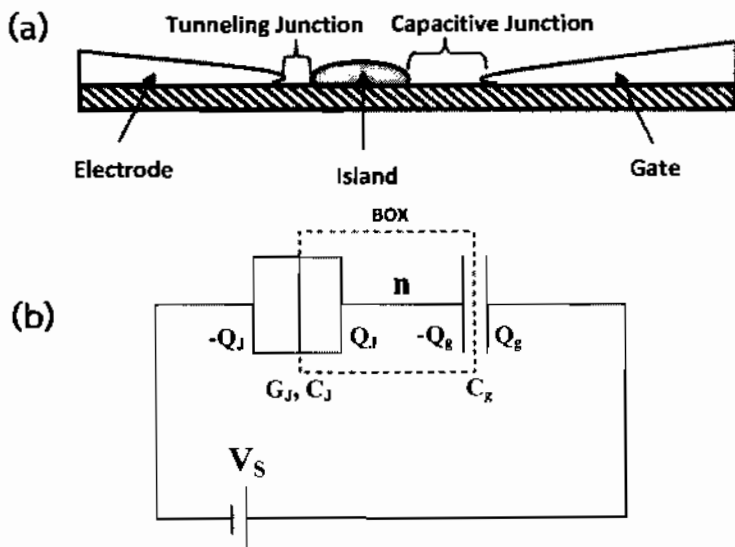
ทฤษฎีที่เกี่ยวข้อง

2.1 อุปกรณ์อิเล็กทรอนเดี่ยว

เทคโนโลยีในปัจจุบันสามารถสร้างอุปกรณ์อิเล็กทรอนิกส์ที่มีค่าความจุไฟฟ้าขนาดประมาณ 1 펨โตฟาร์ด $1/F$ ($1 \text{ femto} = 10^{-15}$) ซึ่งทำให้โครงสร้างดังกล่าว สามารถแสดงปรากฏการณ์ การขัดขวางแบบคูลอมบ์อันเป็นปรากฏการณ์ที่กระแสการหล่อผ่าน (tunneling current) ของ อิเล็กทรอนมีค่าต่ำลงเนื่องจากอันตรกิริยาของแรงคูลอมบ์ (Coulomb interaction) ซึ่งเป็นปัจจัย สำคัญที่ทำให้สามารถควบคุมการส่งผ่านอิเล็กทรอนได้ทั้งหนึ่งด้าน โดยพลังงานที่มีค่าน้อยที่สุดในการ เพิ่มอิเล็กทรอนหนึ่งด้านเข้าไปในระบบเรียกว่า พลังงานการเพิ่มประจุ (E_c) ซึ่งนิยามดังสมการ

$$E_c = \frac{e^2}{2C_\Sigma} \quad (2.1)$$

เมื่อ e คือ ขนาดประจุอิเล็กทรอน ($e = |e| = +1.602 \times 10^{-19} C$) และ C_Σ เป็นค่าความจุไฟฟาร่วม ของระบบ เพื่ออธิบายรายละเอียดของพลังงานดังกล่าว ในหัวนี้ได้ยกตัวอย่างระบบที่เรียกว่า กล่อง อิเล็กทรอนเดี่ยว โดยมีโครงสร้างดังแสดงในภาพประกอบ 2.1



ภาพประกอบ 2.1 (a) แบบจำลองของกล่องอิเล็กทรอนเดี่ยวซึ่งประกอบด้วยรอยต่อการหล่อผ่านและเกาะโลหะและ (b) วงจรสมมูลของกล่องอิเล็กทรอนเดี่ยว [4]

โดยทั่วไปกล่องอิเล็กทรอนเดี่ยวประกอบไปด้วย รอยต่อการหล่อผ่านที่มีคุณสมบัติเสมือนเป็น ตัวเก็บประจุ ในที่นี้กำหนดให้มีค่าความจุไฟฟ้าเท่ากับ C_J และค่าความนำไฟฟ้าของการหล่อผ่าน

เท่ากับ G , นอกจากนี้ ระบบมีรอยต่อตัวเก็บประจุที่คั้นอยู่ระหว่างเก้าโลหะกับข้าไฟฟ้าขนาด C_g ในระบบนี้แรงดันไฟฟ้าภายนอก (V_s) ถูกจ่ายเข้าไปเพื่อทำให้เกิดการเปลี่ยนแปลงประจุบนผิวห้องส่องข้างของรอยต่อ โดยมีขนาดเท่ากันแต่มีประจุตรงกันข้ามดังแสดงในภาพประกอบ 2.1 (b) ในการนี้สามารถคำนวณค่าพลังงานศักย์ไฟฟ้าสถิตจากการพิจารณาผลรวมของประจุที่เพิ่มขึ้นในกล่องอิเล็กตรอนเดียวห้องส่องส่วน กล่าวคือ

$$-n_{nn}e = Q_J - Q_g \quad (2.2)$$

เมื่อ n_{nn} คือ จำนวนอิเล็กตรอนที่หลุดผ่านรอยต่อการหลุดผ่าน Q_J คือ ประจุที่รอยต่อการหลุดผ่าน และ Q_g คือ ประจุที่ถูกเหนี่ยววน โดยข้าเกต จากภาพประกอบ 2.1 (b) ตัวเก็บประจุในระบบต่อ กันเป็นแบบอนุกรมเมื่อมองจากแหล่งจ่ายแรงดันไฟฟ้า มีค่า $C_{sys}^{-1} = C_J^{-1} + C_g^{-1}$ จึงทำให้แรงดันไฟฟ้าที่ให้เข้าไปในระบบถูกแบ่งออกเป็นส่วนส่วน จาก $C = Q/V$ ดังนั้น

$$V_s = \frac{Q_J}{C_J} + \frac{Q_g}{C_g} \quad (2.3)$$

โดย พลังงานรวมของระบบที่เกิดขึ้นเนื่องจากประจุที่สะสมในระบบสามารถคำนวณได้ดังนี้

$$E_{sys} = \frac{Q_J^2}{2C_J} + \frac{Q_g^2}{2C_g} \quad (2.4)$$

จากสมการ (2.2) และ (2.3) สามารถเขียนประจุ Q_g และ Q_J ในพจน์ของค่า n_{nn} และ V_s ดังสมการ

$$Q_g = \frac{C_g C_J V_s + C_g n_{nn} e}{C_\Sigma} \quad (2.5)$$

และ

$$Q_J = \frac{C_g C_J V_s - C_J n_{nn} e}{C_\Sigma} \quad (2.6)$$

เมื่อ $C_\Sigma = C_J + C_g$ คือ ความจุไฟฟาร่วมของเก้าโลหะ ดังนั้น เมื่อนำค่า Q_g และ Q_J แทนในสมการ (2.4) พลังงานของระบบสามารถเขียนใหม่ได้เป็น

$$E_{sys} = \frac{C_g C_J V_s^2 + (n_{nn} e)^2}{2C_\Sigma} \quad (2.7)$$

นอกจากนี้ประจุ Q_g ที่สะสมอยู่ในระบบได้รับงาน (W) เนื่องจากแหล่งจ่ายแรงดันไฟฟ้า V_s ดังสมการ

$$W = Q_g V_s \quad (2.8)$$

ดังนั้น พลังงานศักย์ไฟฟ้าสถิต $(E_C(n_{un}, n_g))$ จึงเกิดจากผลต่างระหว่างพลังงานรวมของระบบกับงานเนื่องจากแหล่งจ่ายแรงดันไฟฟ้า กล่าวคือ

$$E_C(n_{un}, n_g) = E_{ss} - W \quad (2.9)$$

$$= \frac{(C_g C_J V_S^2 + (n_{un} e)^2)}{2C_\Sigma} - \frac{(C_g C_J V_S + n_{un} e C_g)}{C_\Sigma} V_S \quad (2.10)$$

$$= \frac{(-C_g C_J V_S^2 - 2C_g n_{un} e V_S + (n_{un} e)^2)}{2C_\Sigma} \quad (2.11)$$

ที่สภาวะสมดุล จะได้ $V_S = V_g$ และสามารถนิยามประจุลบที่ถูกเหนี่ยวนำโดยข้างเดียวได้ดังสมการ

$$Q_g = C_g V_g = C_g V_S = n_g e \quad (2.12)$$

แทนจำนวนประจุลบที่ถูกเหนี่ยวนำด้วยแรงดันไฟฟ้าที่ข้างเดียว $n_g = (C_g V_S)/e$ ในสมการ (2.11) ได้

$$E_C(n_{un}, n_g) = \frac{e^2}{2C_\Sigma} \left(-\frac{C_J}{eC_g} n_g^2 - 2n_g n_{un} + n_{un}^2 \right) \quad (2.13)$$

จากนิยามของพลังงานศักย์ไฟฟ้าสถิต การคำนวณค่าพลังงานน้อยที่สุดที่ใช้ในการเพิ่มประจุ n ตัวเข้าไปในระบบภายใต้สภาวะสมดุลความร้อนเป็นไปตามเงื่อนไข

$$\frac{\partial E_C(n_{un}, n_g)}{\partial n_{un}} = 0 \quad (2.14)$$

เมื่อนำสมการ (2.13) แทนในสมการ (2.14) พบว่า ภายใต้เงื่อนไขนี้ จะได้

$$n_{un} = n_g \quad (2.15)$$

จากนั้น นำสมการ (2.15) แทนในสมการ (2.13) พบว่า พลังงานน้อยที่สุดที่ใช้ในการเพิ่มประจุ n_{un} ตัวเข้าไปในระบบ $(E_C(n_{un}, n_g))$ เป็นดังสมการ

$$E_C(n_{un}, n_g) = \frac{e^2 n_g^2}{2C_\Sigma} \left(-\frac{C_J}{eC_g} - 1 \right) \quad (2.16)$$

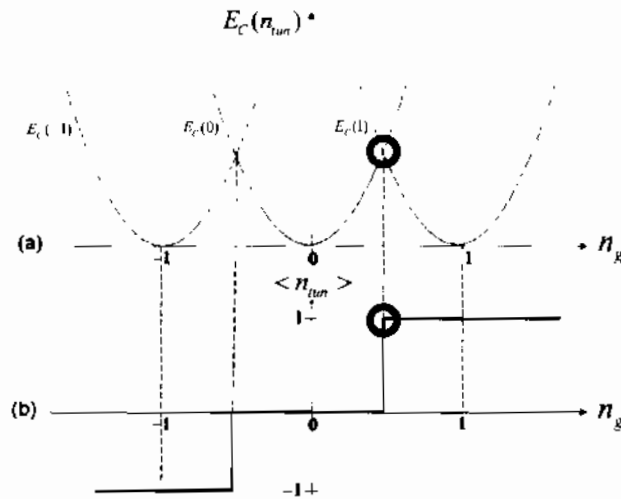
เนื่องจากพลังงานศักย์ไฟฟ้าสถิตมีลักษณะคล้ายกับแรงดันไฟฟ้า จึงสามารถกำหนดจุดใดๆ เป็นจุดอ้างอิง ในการนี้ กำหนดให้ $E_C(n_{un}, n_g) = 0$ ในสมการ (2.16) เป็นจุดอ้างอิง จะได้

$$C_J = -eC_g \quad (2.17)$$

เมื่อนำค่าดังกล่าวไปแทนในสมการ (2.13) พบว่า พลังงานศักย์ไฟฟ้าสถิตสามารถแสดงได้ดังสมการ

$$E_C(n_{un}, n_g) = \frac{e^2 (n_{un} - n_g)^2}{2C_\Sigma} \quad (2.18)$$

จากสมการ (2.18) พบว่า พลังงานศักย์ไฟฟ้าสถิตเป็นพหุกշั้นของจำนวนอิเล็กตรอนที่หลุดผ่านรอยต่อ การหลุดผ่าน n_{un} และ n_g ซึ่งสามารถแสดงได้ดังภาพประกอบ 2.2



ภาพประกอบ 2.2 (a) ความสัมพันธ์ระหว่างพลังงานศักยไฟฟ้าสถิต $E_C(n_{un})$ ของกล่อง อิเล็กตรอนเดี่ยวกับจำนวนประจุลบที่ถูกเหนี่ยวนำด้วยแรงดันไฟฟ้าที่ขั้วเกต (n_g) และ (b) จำนวน อิเล็กตรอนเฉลี่ยที่หลบผ่านรอยต่อการหลบผ่าน $\langle n_{un} \rangle$ ที่ขึ้นกับจำนวนประจุลบที่ถูกเหนี่ยวนำด้วย แรงดันไฟฟ้าที่ขั้วเกต

จากภาพประกอบ 2.2 (a) จุดที่อยู่ในวงกลมสีน้ำเงินเป็นจุดที่มีสถานะประจุแตกต่างกันแต่มีค่า พลังงานเท่ากัน เรียกว่า จุดดีเจนเนอเรชี (degeneracy point) ซึ่งจุดดังกล่าว อยู่ในสภาวะที่จำนวน ของอิเล็กตรอนในເກາະໄລຍະเกิดการหลบผ่านระหว่างເກາະกับขั้วໄລຍະ จึงทำให้จำนวนอิเล็กตรอนใน ເກາະໄລຍະเกิดการเปลี่ยนแปลง โดย $(n_{un} - 1/2) < n_g < (n_{un} + 1/2)$ เป็นเงื่อนไขเสถียรภาพที่ทำให้ จำนวนประจุໃນເກາະໄລຍະไม่เกิดการเปลี่ยนแปลงจนกว่าจำนวนประจุลบที่ถูกเหนี่ยวนำด้วย แรงดันไฟฟ้าที่ขั้วเกตจะมีค่าตามสมการ $n_g = n_{un} \pm 1/2$ ซึ่งทำให้มีการเปลี่ยนแปลงของจำนวน อิเล็กตรอนที่หลบผ่านรอยต่อการหลบผ่าน n_{un} ในระบบเป็นแบบขั้นบันไดดังแสดงในภาพประกอบ 2.2 (b)

ในการศึกษาปรากฏการณ์การขัดขวางแบบคูลอมบ์ที่เกิดขึ้นในกล่องอิเล็กตรอนเดี่ยวสามารถ อธิบายด้วยพลังงานการเพิ่มประจุยังผล (E_C^*) ซึ่งนิยามดังสมการ

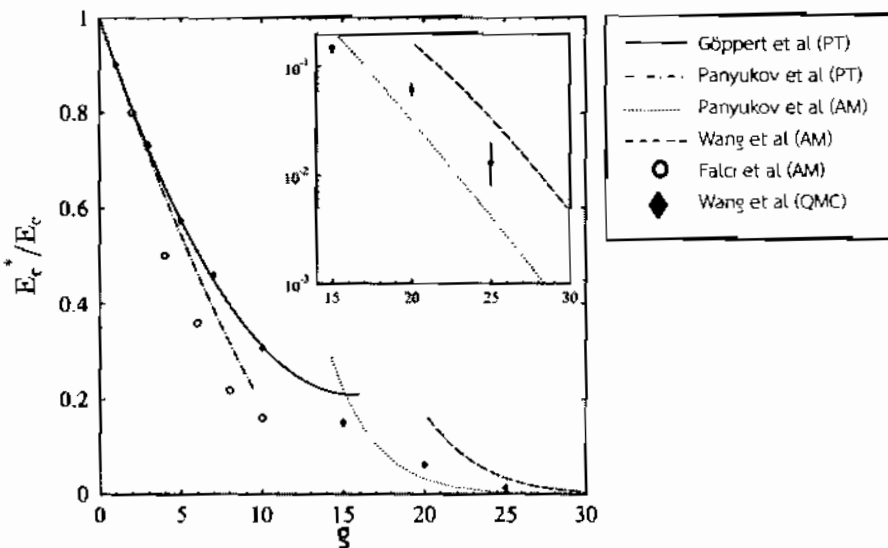
$$\frac{E_C^*}{E_C} = \left. \frac{\partial \langle Q_{un} \rangle}{\partial Q_g} \right|_{Q_g=0} \quad (2.19)$$

เมื่อ $\langle Q_{un} \rangle$ คือ ประจุอิเล็กตรอนเฉลี่ยที่หลบผ่านรอยต่อการหลบผ่านมีค่าดังสมการ $\langle Q_{un} \rangle = e(n_g - \langle n_g \rangle)$ โดยที่ $\langle n_g \rangle$ คือ จำนวนประจุเฉลี่ยที่รอยต่อการหลบผ่านภายในເກາະໄລຍະ และ $Q_g = n_g e$ [9] ดังนั้น เมื่อนำไปแทนในสมการ (2.19) พบว่า

$$\frac{E_C^*}{E_C} = \left. \frac{\partial(n_g - \langle n_J \rangle)}{\partial n_g} \right|_{n_g=0} \quad (2.20)$$

$$= 1 - \left. \frac{\partial \langle n_J \rangle}{\partial n_g} \right|_{n_g=0} \quad (2.21)$$

จากสมการ (2.21) พบร้า ในกรณีที่ระบบแสดงปรากฏการณ์การขัดขวางแบบคูลอมบ์อย่างเด่นชัดคือกรณีที่ค่า $G_T / G_K \ll 1$ เมื่อ G_T คือ ค่าความนำไฟฟ้าของ การหล่อผ่าน (tunneling conductance) และ G_K คือ ค่าความนำไฟฟ้าทางควอนตัม (quantum conductance) ซึ่งในกรณีนี้จำนวนประจุเฉลี่ยที่ร้อยต่อการหล่อผ่านภายในเกาโลหะจะไม่เกิดการเปลี่ยนแปลง ในช่วงที่ค่า $n_g \sim 0$ ดังนั้น E_C^* จึงมีค่าเท่ากับ E_C แต่ในกรณีที่ $G_T / G_K \gg 1$ เป็นกรณีที่ปรากฏการณ์การขัดขวางแบบคูลอมบ์เกิดขึ้นไม่เด่นชัด ส่งผลให้จำนวนประจุเฉลี่ยที่ร้อยต่อการหล่อผ่านภายในเกาโลหะ เกิดการเปลี่ยนแปลง กล่าวคือ $\partial \langle n_J \rangle / \partial n_g \rightarrow 1$ จึงทำให้พลังงานการเพิ่มประจุยังผลในกรณีนี้มีค่าสูงขึ้นสูญญากาศ



ภาพประกอบ 2.3 ความสัมพันธ์ระหว่างพลังงานการเพิ่มประจุยังผลของกล่องอิเล็กตรอนเดียว กับค่าอัตราส่วนของค่าความนำไฟฟ้าของการหล่อผ่าน $g = G_T / G_K$ [10]

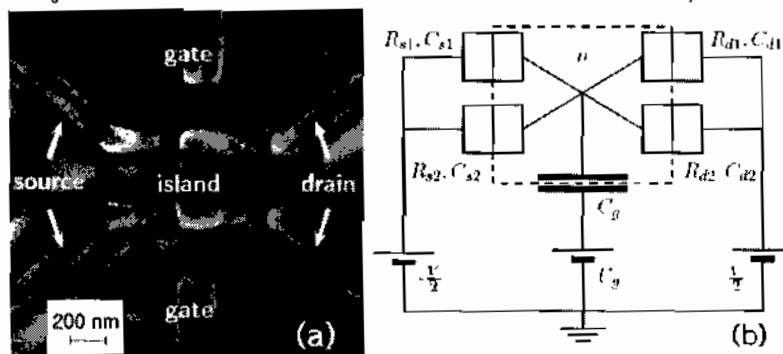
จากภาพประกอบ 2.3 แสดงผลการคำนวณค่าพลังงานการเพิ่มประจุยังผลด้วยวิธีการควอนตัม มองติการ์โลซึ่งเป็นฟังก์ชันของค่าความนำไฟฟ้าของการหล่อผ่านที่ไม่มีหน่วย ($g = G_T / G_K$) โดยในกรณีนี้ ค่าความนำไฟฟ้าทางควอนตัม $G_K = 25.8 \text{ k}\Omega$ พัฒนาได้เปรียบเทียบผลการคำนวณกับ งานวิจัยที่เกี่ยวข้องซึ่งแบ่งออกเป็นสองกรณี ในกรณีแรก ค่าความนำไฟฟ้าของการหล่อผ่านมีค่าน้อย ($g < 10$) สามารถอธิบายด้วยทฤษฎีเพอร์ทอร์เบชัน (perturbation theory; PT) ซึ่งเป็นผลงานวิจัย

ของปีนยูกอฟและคณะ (Panyukov et al) [11] (---) และของกอพเพิร์ทและคณะ (Göppert et al) [12,13] (—) ส่วนในกรณีที่ค่าความนำไฟฟ้าของทรัพลุ่มต่างมีค่ามาก ($g \geq 10$) เป็นผลการประมาณในแบบวิเคราะห์ (analytical method; AM) ของปีนยูกอฟและคณะ [11] (-----) และผลงานวิจัยของวงศ์และคณะ (Wang et al) [10] (----) นอกจากนั้นฟาลซี้และคณะ (Falci et al) [14] ได้รายงานผลการคำนวณด้วยวิธีการคำนวณตั้มมอนติคาโรโล (○) แต่อย่างไรก็ตาม ผลการคำนวณไม่ได้แสดงค่าพลังงานการเพิ่มประจุยังผลลดทั้งช่วงของค่า g ยกเว้นผลงานวิจัยของวงศ์และกราเบิร์ต [12] (♦) ที่สามารถอธิบายค่า E_c' / E_c ได้ลดลงทั้งช่วง g ของกล่องอิเล็กตรอนเดียว โดยได้ใช้วิธีการคำนวณตั้มมอนติคาโรโลในการคำนวณ สำหรับกราฟในกรอบสี่เหลี่ยมทางขวาของภาพประกอบ 2.3 ได้แสดงความสัมพันธ์ของค่าพลังงานการเพิ่มประจุยังผลกับอัตราส่วนของค่าความนำไฟฟ้าในรูปแบบของกราฟกึ่งลอการิทึม (semi-logarithmic) ในช่วงที่ค่าความนำไฟฟ้ามีค่าสูง

2.2 ทรานซิสเตอร์อิเล็กตรอนเดียว

จากหัวข้อที่ผ่านมาได้กล่าวถึงกล่องอิเล็กตรอนเดียวซึ่งเป็นอุปกรณ์ที่ประกอบด้วยรอยต่อการหล่อผ่านเพียงหนึ่งหน่วยเดียว ในหัวข้อนี้จะกล่าวถึงทรานซิสเตอร์อิเล็กตรอนเดียว ซึ่งประกอบไปด้วยรอยต่อการหล่อผ่านสองรอยต่อ โดยปรากฏการณ์การขัดขวางแบบคูคูลอมบ์ที่เกิดในอุปกรณ์ดังกล่าวได้มีการศึกษาเป็นครั้งแรกโดยฟูตอลและคณะ [3]

ใน ค.ศ. 2002 วอลลีสเซอร์และคณะ [6] ได้สร้างทรานซิสเตอร์อิเล็กตรอนเดียวด้วยกระบวนการลิทอกราฟฟิด้วยลำอิเล็กตรอน (e-beam lithography) และกระบวนการชาโดว์อีวาวอเรชัน (shadow evaporation) ซึ่งประกอบไปด้วยรอยต่อการหล่อผ่านสี่รอยต่อ ดังแสดงในภาพประกอบ 2.4(a) อุปกรณ์ดังกล่าวประกอบไปด้วยชั้วซอร์ส (source electrode) และชั้วเดรน (drain electrode) อย่างละสองชั้วซึ่งถูกคั้นกลางด้วยเกา๊โลหะ และมีรอยต่อการหล่อผ่านคั่นระหว่างชั้วซอร์สกับเกา๊โลหะและชั้วเดรนกับเกา๊โลหะ นอกจากนั้น มีชั้วเกต (gate electrode) อยู่ทั้งสองชั้นของเกา๊โลหะ โดยรอยต่อที่คั่นอยู่ระหว่างชั้วเกตกับเกา๊โลหะทำหน้าที่เหมือนเป็นตัวเก็บประจุ



ภาพประกอบ 2.4 (a) โครงสร้างของทรานซิสเตอร์อิเล็กตรอนเดียวแบบ 4 รอยต่อ และ (b) วงจรสมมูลของทรานซิสเตอร์อิเล็กตรอนเดียว (บริเวณภายในเส้นประ คือ บริเวณของเกา๊โลหะ) [6]

ในการวัดปรากฏการณ์การขัดขวางแบบคูลอมบ์ที่เกิดขึ้นในทรานซิสเตอร์อิเล็กตรอนเดียว ขั้วชอร์สทั้งสองขั้วและขั้วเดренทั้งสองขั้วถูกรวมเข้าด้วยกันดังวงจรสมมูลในภาพประกอบ 2.4 (b) จุดประสงค์ในการสร้างทรานซิสเตอร์อิเล็กตรอนเดียวให้มีสี่รอยต่อันนั้น เพื่อทำให้สามารถวัดค่าความต้านทานของทุกรอยต่อได้ และสามารถกำหนดค่าความนำไฟฟ้ารวมที่ไม่มีหน่วย (dimensionless conductance) $g = (G_s + G_d)/G_K$ ของรอยต่อการทะลุผ่านได้ เมื่อ $G_s = G_{s1} + G_{s2}$ และ $G_d = G_{d1} + G_{d2}$ เป็นค่าความนำไฟฟ้าที่รอยต่อของขั้วชอร์สและขั้วเดรนตามลำดับ โดย $G_K = e^2/h$ คือ ค่าความนำไฟฟ้าทางความตื้น นอกจากนี้ ค่าตัวเก็บประจุรวม $C_\Sigma = C_s + C_d + C_g$ ของระบบซึ่งเป็นพารามิเตอร์ที่กำหนดค่าพลังงานการเพิ่มประจุ $E_C = e^2/2C_\Sigma$ เพื่อความสะดวกในการคำนวณ จึงกำหนดค่าพลังงานเฉลี่ยของอิเล็กตรอนด้วยค่า $\beta = (k_B T)^{-1}$ และแรงดันไฟฟ้าที่ขั้วเกต $V_g = (C_g V_g)/e$ ที่เพิ่มเข้ามาในเคาะโลหะด้วยแรงดันไฟฟ้าที่ขั้วเกต V_g พารามิเตอร์ที่กล่าวมาเหล่านี้ สามารถนำไปใช้อธิบายปรากฏการณ์การขัดขวางแบบคูลอมบ์ในทรานซิสเตอร์อิเล็กตรอนเดียวได้ดังจะกล่าวในหัวข้อต่อไป

2.2.1 แบบจำลองประจุของทรานซิสเตอร์อิเล็กตรอนเดียว

ในการคำนวณฟังก์ชันแบ่งส่วนของระบบทรานซิสเตอร์อิเล็กตรอนเดียวจำเป็นต้องกำหนดตัวตั้งเนินการแฮมิลโนเนียน (Hamiltonian) ของระบบทรานซิสเตอร์อิเล็กตรอนเดียว ซึ่งสามารถแสดงได้ดังสมการ [15]

$$\hat{H} = \hat{H}_B + \hat{H}_C + \hat{H}_T \quad (2.22)$$

เมื่อ \hat{H}_B , \hat{H}_C และ \hat{H}_T คือ ตัวดำเนินการแฮมิลโนเนียนของอิเล็กตรอนในขั้วโลหะ ตัวดำเนินการแฮมิลโนเนียนคักยิไฟฟ้าสถิตและตัวดำเนินการแฮมิลโนเนียนการทะลุผ่าน ตามลำดับ โดย \hat{H}_B เป็นตัวดำเนินการที่แสดงอิเล็กตรอนอิสระที่อยู่ในขั้วไฟฟ้าทั้งสองและเคาะโลหะดังสมการ

$$\hat{H}_B = \sum_{j=0,1} \sum_{k,\sigma} E'_{k\sigma} \hat{c}_{k\sigma}^{(j)\dagger} \hat{c}_{k\sigma}^{(j)} + \sum_{q,\sigma} \epsilon_{q\sigma} \hat{d}_{q\sigma}^\dagger \hat{d}_{q\sigma} \quad (2.23)$$

เมื่อ $E'_{k\sigma}$ เป็นพลังงานของอิเล็กตรอนที่มีเลขค霖 k ในช่องการทะลุผ่าน σ ของขั้วไฟฟ้า j สำหรับพลังงานของอิเล็กตรอน $\epsilon_{q\sigma}$ ที่มี q เป็นเลขค霖ในช่อง σ บนเคาะโลหะ ซึ่งตัวดำเนินการแฮมิลโนเนียนคักยิไฟฟ้าสถิตของทรานซิสเตอร์อิเล็กตรอนเดียวนิยามตามสมการ

$$\hat{H}_C = E_C (\hat{n} - \hat{n}_g)^2 \quad (2.24)$$

เมื่อ $E_C = e^2 / 2C_\Sigma$ โดยที่ \hat{n} เป็นตัวดำเนินการจำนวนของอิเล็กตรอนที่อยู่บนเคาะโลหะและ $\hat{n}_g = (C_g V_g)/e$ เป็นตัวดำเนินการจำนวนประจุลับที่ถูกเหนี่ยวนำด้วยแรงดันไฟฟ้าที่ขั้วเกต นอกจากนั้นอิเล็กตรอนสามารถทะลุผ่านจากขั้วไฟฟ้าไปเข้ายังเคาะโลหะหรือจากเคาะโลหะกลับมายัง

ข้าไฟฟ้า ซึ่งเหตุการณ์การทะลุผ่านนี้ถูกอธิบายด้วยตัวดำเนินการแฮมิลโตเนียนการทะลุผ่าน (\hat{H}_T) ดังสมการ

$$\hat{H}_T = \sum_{j,k,q,\sigma} [\hat{c}_{k\sigma}^{(j)\dagger} \hat{\Lambda}'_{kq\sigma} \hat{d}_{q\sigma} + \hat{d}_{q\sigma}^\dagger \hat{\Lambda}'_{kq\sigma}^* \hat{c}_{k\sigma}^{(j)}] \quad (2.25)$$

โดยที่ $\hat{\Lambda}'_{kq\sigma} = t'_{kq\sigma} e^{i\phi}$ เมื่อ $t'_{kq\sigma}$ เป็นขนาดของการทะลุผ่าน (tunneling amplitude) ของอิเล็กตรอนในสถานะ $|q\sigma\rangle$ บนเกาะโลหะที่ผ่านไปยังข้าไฟฟ้า j และมีสถานะสุดท้ายเป็น $|k\sigma\rangle$ ตัวดำเนินการ ϕ เป็นสังยุค (conjugate) ของตัวดำเนินการจำนวนอิเล็กตรอน \hat{n} บนเกาะโลหะ กล่าวคือ $[\hat{n}, \phi] = i$ (ในที่นี่กำหนดให้ค่า $\hbar = 1$)

2.2.2 แอ็อกชันยังผลของทราบซิสเตอร์อิเล็กตรอนเดี่ยว

ในทัวข้อนี้จะกล่าวถึงนิยามของฟังก์ชันแบ่งส่วนของค่าแอ็อกชันยังผล (effective action) และค่าคอร์ริเลชันฟังก์ชัน (correlation function) ของทราบซิสเตอร์อิเล็กตรอนเดี่ยวตามลำดับ ซึ่งปริมาณเหล่านี้ถูกใช้ในการคำนวณค่าความนำไฟฟ้าของทราบซิสเตอร์อิเล็กตรอนเดี่ยว [6] โดยฟังก์ชันแบ่งส่วนของทราบซิสเตอร์อิเล็กตรอนเดี่ยวสามารถแสดงได้ตามสมการ

$$Z = \mathcal{N} \sum_{\varphi \in \mathbb{Z}} \int D[\varphi] e^{-S[\varphi]} \quad (2.26)$$

เมื่อ \mathcal{N} เป็นค่าคงที่ของการนอร์มัลไส (normalization factor) และ $S[\varphi] = S_C[\varphi(\tau)] + S_T[\varphi(\tau)]$ เป็นพจน์ของค่าแอ็อกชันของทราบซิสเตอร์อิเล็กตรอนเดี่ยว [15] เมื่อ $S_C[\varphi(\tau)]$ เป็นค่าแอ็อกชันของแรงคูลومบ์ตามสมการ

$$S_C[\varphi(\tau)] = \int_0^\beta d\tau \left[\frac{\dot{\varphi}^2(\tau)}{4E_c} + m_s \dot{\varphi}(\tau) \right] \quad (2.27)$$

และ S_T แสดงแอ็อกชันของการทะลุผ่านของอิเล็กตรอนตามสมการ

$$S_T[\varphi(\tau)] = -g \int_0^\beta d\tau \int_0^\beta d\tau' \alpha(\tau - \tau') \cos(\varphi(\tau) - \varphi(\tau')) \quad (2.28)$$

โดยที่เคอร์เนลการทะลุผ่าน (tunneling kernel) นิยามตามสมการ

$$\alpha(\tau - \tau') = \left[4\beta^2 \sin^2 \left(\frac{\pi}{\beta} (\tau - \tau') \right) \right]^{-1}$$

เมื่อ τ คือเวลาจินตภาพ นอกจากนั้น ในการคำนวณค่าความนำไฟฟ้าของอุปกรณ์อิเล็กตรอนเดี่ยว จะเป็นต้องเริ่มจากการคำนวณค่าคอร์ริเลชันฟังก์ชันของระบบ โดยค่าคอร์ริเลชันฟังก์ชันของระบบสามารถนิยามได้ตามสมการ [15]

$$C(\tau) = 4\pi G_d \alpha(\tau) A(\tau) \quad (2.29)$$

เมื่อ G_d คือ ค่าความนำไฟฟ้าแบบฉบับซึ่งเกิดที่อุณหภูมิสูงและ $A(\tau)$ นิยามได้ดังสมการ

$$A(\tau) = \frac{1}{Z} \sum_{k \in \mathbb{Z}} \int_{\varphi(0)=0}^{\varphi(\beta)=2\pi k} D[\varphi] \cos(\varphi(\tau) - \varphi(0)) e^{-S[\varphi]} \quad (2.30)$$

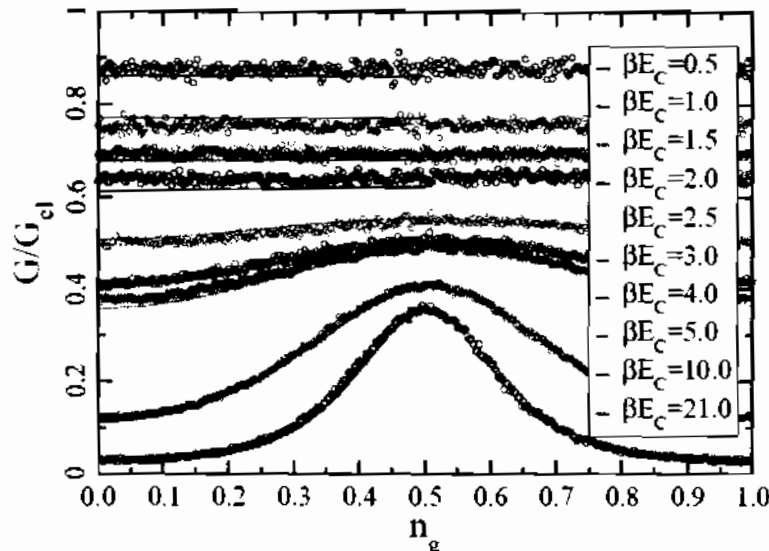
เมื่อ $S = S_C + S_T$ โดยที่ S_C และ S_T เป็นไปตามสมการ (2.27) และ (2.28) ตามลำดับ เมื่อคำนวณค่าคอร์ริเลชันฟังก์ชันตามสมการ (2.30) แล้วนำไปคำนวณค่าสเปกตรัลฟังก์ชันแบบสมมาตร (symmetric spectral function; $A^s(\omega)$) ได้ตามสมการ

$$A(\tau) = (KA^s)(\tau) = \int_0^\infty d\omega \frac{\omega \cosh\left(\left[\frac{\beta E_C}{2} - \tau\right]\omega\right)}{2\pi \sinh\left(\frac{\beta E_C}{2}\omega\right)} A^s(\omega) \quad (2.31)$$

จากสมการนี้พบว่า ค่าคอร์ริเลชันฟังก์ชันสามารถคำนวณได้จากสมการ (2.30) โดยใช้วิธีการความต้มมอนติคาร์โล ดังนั้น ในการคำนวณค่าสเปกตรัลฟังก์ชันแบบสมมาตรจำเป็นต้องใช้วิธีการแก้ปัญหาแบบผกผัน (inverse problem) เพื่อคำนวณสมการอินทิกรัล (integral equation) ซึ่งรายละเอียดได้แสดงไว้ในเอกสารอ้างอิงที่ [15] จากนั้น นำค่าสเปกตรัลฟังก์ชันแบบสมมาตรที่ได้ไปหาค่าความนำไฟฟ้าตามสมการ

$$G = \frac{\beta E_C G_d}{2\pi} \int_0^\infty d\omega \frac{\omega^2}{\cosh(\beta E_C \omega) - 1} A^s(\omega) \quad (2.32)$$

ในปี ก.ศ. 2002 วอลลิสเซอร์และคณะ [6] ได้รายงานผลการคำนวณค่าความนำไฟฟ้าของทรานซิสเตอร์อิเล็กตรอนเดียวจากสมการที่กล่าวมาข้างต้นเพื่อนำไปเปรียบเทียบกับผลการทดลองที่ถูกวัดที่อุณหภูมิค่าต่างๆ ดังแสดงในภาพประกอบ 2.5

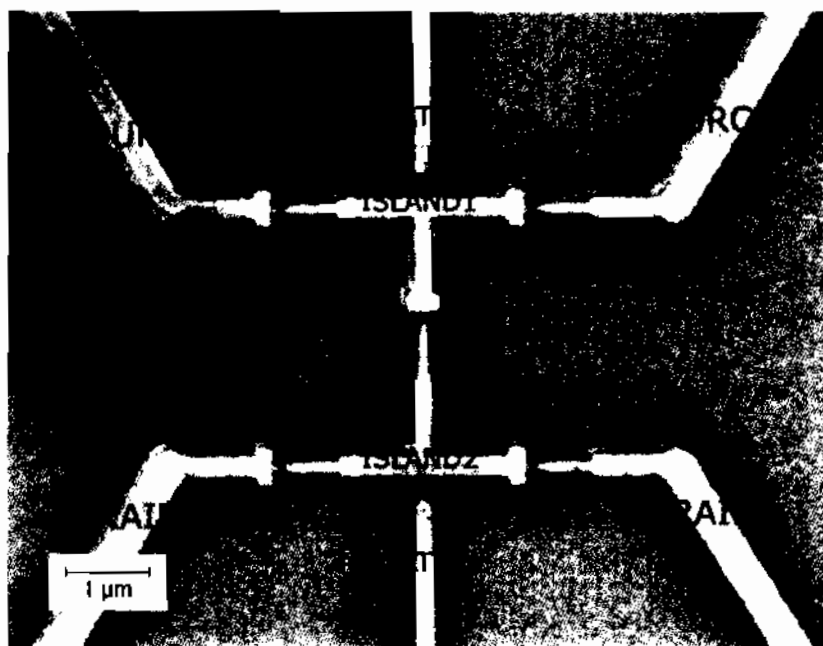


ภาพประกอบ 2.5 ความนำไฟฟ้าของทรานซิสเตอร์อิเล็กตรอนเดียว โดยที่ค่า $g = 4.75$ ซึ่งถูกวัดโดยวอลลิสเซอร์และคณะ [15] (○) ข้อมูลที่ได้จากการทดลองและ (-) ข้อมูลที่ได้จากการคำนวณด้วยวิธีการความต้มมอนติคาร์โล

จากภาพประกอบ 2.5 พบร้า ค่าความนำไฟฟ้าของทรานซิสเตอร์อิเล็กตรอนเดี่ยวขึ้นกับแรงดันไฟฟ้าที่ขึ้นเกตในสภาพที่ระบบมีอุณหภูมิต่ำ ซึ่งในสภาวะนี้สามารถสังเกตพบปรากฏการณ์การขัดขวางแบบคูลอมบ์ได้ กล่าวคือ ปรากฏการณ์ดังกล่าวจะเกิดขึ้นเมื่อพลังงานเฉลี่ยของอิเล็กตรอนมีค่าน้อยกว่าพลังงานการเพิ่มประจุ จากที่กล่าวมาข้างต้นแสดงว่า การคำนวณด้วยวิธีการคาดคะเน มองติคาร์โลสามารถอธิบายผลการทดลองของทรานซิสเตอร์อิเล็กตรอนเดี่ยวได้ใกล้เคียงกับผลการทดลอง ดังนั้น ในโครงงานนี้จึงประยุกต์ใช้วิธีการดังกล่าว เพื่ออธิบายปรากฏการณ์การขัดขวางแบบคูลอมบ์ที่เกิดขึ้นในปั๊มอิเล็กตรอนเดี่ยว ดังรายละเอียดในหัวข้อต่อไป

2.3 ปั๊มอิเล็กตรอนเดี่ยว

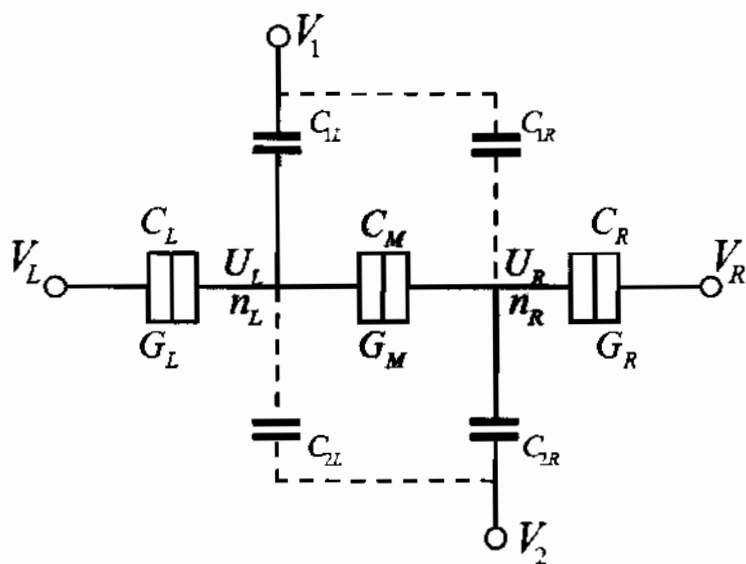
ปั๊มอิเล็กตรอนเดี่ยว (single-electron pumps) เป็นอุปกรณ์ที่ประกอบด้วยเกาโลหะสองเกาโลหะ โดยเกาโลหะทั้งสองเชื่อมกันด้วยรอยต่อการหลุ่มผ่าน โครงสร้างของปั๊มอิเล็กตรอนเดี่ยว แสดงในภาพประกอบ 2.6



ภาพประกอบ 2.6 โครงสร้างของปั๊มอิเล็กตรอนเดี่ยวชนิดโลหะ ที่ถ่ายด้วยกล้องจุลทรรศน์ อิเล็กตรอนชนิดส่องกราด จากงานวิจัยของลิมบัชและคณะ [7]

จากภาพประกอบ 2.6 แสดงให้เห็นว่า ปั๊มอิเล็กตรอนเดี่ยวมีรอยต่อการหลุ่มผ่าน 5 รอยต่อ ดังแสดงไว้ที่บริเวณหัวลูกครร กล่าวคือ รอยต่อการหลุ่มผ่านภายใน (inner tunneling contact) ซึ่งอยู่ที่ตรงกลางของภาพ และรอยต่อการหลุ่มผ่านภายนอก (outer tunneling contacts) หัวสื้อรอยต่อทำมุม 90° กับรอยต่อการหลุ่มผ่านภายใน นอกจากนี้ ขั้วไฟฟ้าที่อยู่ด้านบนและด้านล่างของภาคคือ ขั้วเกต หน้าที่ควบคุมให้อิเล็กตรอนเคลื่อนที่ผ่านเกาโลหะ ปั๊มอิเล็กตรอนเดี่ยวสามารถเชื่อมต่อกับ

ภายนอกได้ด้วยข้อไฟฟ้าที่เรียกว่า ข้อซอร์ส และข้อเดرن ดังแสดงในภาพประกอบ 2.6 โดยปกติ ปั๊มอิเล็กตรอนเดี่ยวประกอบด้วยรอยต่อการทะลุผ่าน 3 รอยต่อ แต่ในโครงสร้างนี้ได้ถูกออกแบบให้ประกอบด้วยรอยต่อการทะลุผ่าน 5 รอยต่อ เพื่อให้สามารถวัดความจุไฟฟ้าและความนำไฟฟ้าของ รอยต่อการทะลุผ่านได้ทุกรอยต่อ ในโครงงานนี้พิจารณาโครงสร้างของปั๊มอิเล็กตรอนเดี่ยวเฉพาะใน โครงสร้างที่ 2 ในเอกสารอ้างอิงที่ [7] เท่านั้น ซึ่งผลการวัดพารามิเตอร์ต่างๆ จากวงจรสมมูลดัง ภาพประกอบ 2.7 ได้แสดงผลการวัดของโครงสร้างที่ 2 ไว้ในตาราง 2.1 จากภาพประกอบ 2.7 ปั๊มอิเล็กตรอนเดี่ยวประกอบด้วยข้อไฟฟ้าจากภายนอกทั้งหมด 4 ข้อ ประกอบด้วยข้อซอร์ส ข้อเดرن และข้อเกต 2 ข้อ สำหรับควบคุมอิเล็กตรอนให้เคลื่อนที่ไปทิศทางเดียวกัน จากการประกอบ 2.6 ลิมป์และคณธรรมข้อไฟฟ้าให้เหลือเพียง 4 ข้อ [7] กล่าวคือ รวมข้อซอร์สทั้งสองข้อและข้อเดرنทั้ง สองข้อเข้าด้วยกัน นอกจากนั้น ในการที่พิจารณาการส่งผ่านอิเล็กตรอนเมื่อกำหนดให้สนามไฟฟ้าจาก ข้อซอร์สและข้อเดرنมีค่าประมาณคูณย์ ทำให้สามารถควบคุมการส่งผ่านอิเล็กตรอนได้โดยใช้ แรงดันไฟฟ้าที่ข้อเกตทั้งสองข้อ



ภาพประกอบ 2.7 วงจรสมมูลของปั๊มอิเล็กตรอนเดี่ยว [7]

ตาราง 2.1 ค่าพารามิเตอร์ทั้งหมดของปั๊มอิเล็กตรอนเดี่ยว ค่าความนำไฟฟ้าที่แต่ละรอยต่อการ ทะลุผ่าน $j \in \{L, M, R\}$ ถูกนิยามเป็น $g_j = G_j / G_k$ และ $G_k = e^2 / h$ และ G_0 เป็นค่าความนำไฟฟ้าแบบฉบับซึ่งเกิดที่อุณหภูมิสูงของปั๊มอิเล็กตรอนเดี่ยว [7]

Parameters	C_L	C_M	C_R	C_{1L}	C_{1R}	C_{2L}	C_{2R}	g_L	g_M	g_R	G_0
Values	181	173	236	50.5	18.0	21.5	58.6	0.52	1.32	0.83	10.0
Units	(aF)	(aF)	(aF)	(aF)	(aF)	(aF)	(aF)	-	-	-	(μ S)

พลังงานศักยไฟฟ้าสถิตและแผนภาพเสถียร

ปั๊มอิเล็กตรอนเดี่ยวประกอบด้วยเกาโลหะ 2 เกาะโดยมีรอยต่อการหลุดผ่านคันระหว่างเกาโลหะทั้งสอง พลังงานศักยไฟฟ้าสถิตของปั๊มอิเล็กตรอนเดี่ยว [7] แสดงดังสมการ (2.33)

$$E_C(n_L, n_R) = E_{CL}(n_L - n_{L0})^2 + E_{CR}(n_R - n_{R0})^2 + 2E_{CM}(n_L - n_{L0})(n_R - n_{R0}) \quad (2.33)$$

โดยที่

$$E_{CL} = \frac{e^2}{2} C_{\Sigma R} (C_{\Sigma L} C_{\Sigma R} - C_M^2)^{-1} \quad (2.34)$$

$$E_{CR} = \frac{e^2}{2} C_M (C_{\Sigma L} C_{\Sigma R} - C_M^2)^{-1} \quad (2.35)$$

$$E_{CM} = \frac{e^2}{2} C_{\Sigma L} (C_{\Sigma L} C_{\Sigma R} - C_M^2)^{-1} \quad (2.36)$$

$$C_{\Sigma} = C_i + C_M + C_{1r} + C_{2r} \quad (2.37)$$

และ

$$n_{i0} = \frac{C_i V_i}{e} + \frac{C_{1r} V_1}{e} + \frac{C_{2r} V_2}{e} \quad (2.38)$$

เมื่อ $i \in \{L, R\}$ โดยที่ E_{CL} และ E_{CR} คือ พลังงานศักยไฟฟ้าสถิตของเกาะโลหะทางซ้ายและทางขวา ตามลำดับ E_{CM} คือ พลังงานที่เชื่อมโยงระหว่างเกาะโลหะ n_{L0} และ n_{R0} คือ จำนวนประจุลบที่ถูกเหนี่ยวนำด้วยแรงดันไฟฟ้าที่ขับเคลื่อนทางซ้ายและทางขวาตามลำดับ ในการสร้างแผนภาพเสถียรของปั๊ม อิเล็กตรอนเดี่ยวต้องคำนวณพลังงานศักยไฟฟ้าสถิตของปั๊มอิเล็กตรอนเดี่ยวจากสมการ (2.33) อย่างไร ก็ตาม เพื่อให้สอดคล้องกับผลการทดลองปั๊มอิเล็กตรอนเดี่ยวของลิมบัชและคณะ [7] จึงทำการแปลง สมการของพลังงานศักยไฟฟ้าสถิต ซึ่งเป็นพังก์ชันของจำนวนประจุที่รอยต่อการหลุดผ่านภายในเกาะโลหะทางซ้าย (n_L) และทางขวา (n_R) ให้เป็นพังก์ชันของจำนวนประจุที่รอยต่อการหลุดผ่านภายในเกาะโลหะรวม $n_s = n_L + n_R$ และผลด่างของจำนวนประจุที่รอยต่อการหลุดผ่านภายในเกาะโลหะ $\Delta n = n_L - n_R$ จากเงื่อนไขดังกล่าวจะได้

$$E_C(n_s, \Delta n) = E_{ex}(n_s - n_{s0})^2 + \frac{1}{4} E_m(n_s + \Delta n + \kappa n_s)^2 \quad (2.39)$$

เมื่อ

$$n_s = n_{L0} + n_{R0} \quad (2.40)$$

$$n_y = n_{k0} - n_{L0} - \kappa n_s \quad (2.41)$$

$$E_{ex} = e^2 / 2C_s \quad (2.42)$$

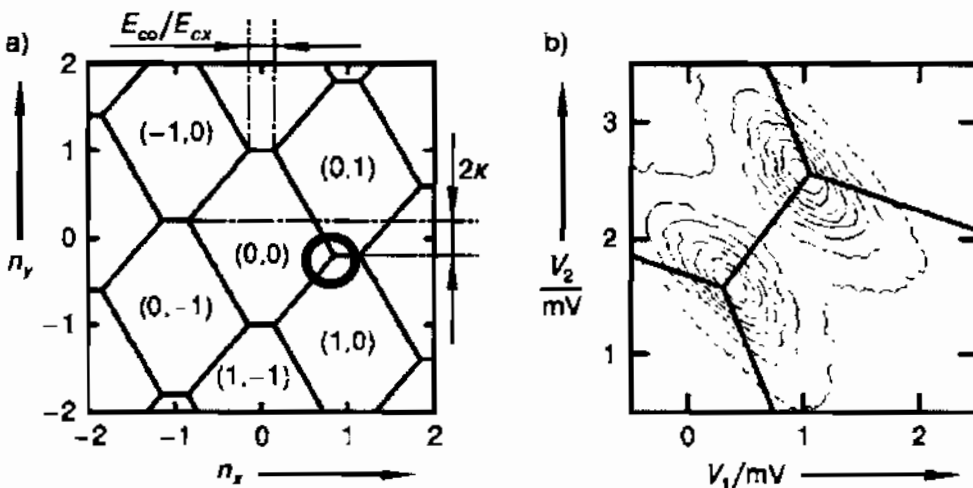
$$E_m = e^2 C_s / 2(C_M C_s - C_M C_{SR}) \quad (2.43)$$

$$C_s = C_L + C_{1L} + C_{2L} + C_R + C_{1R} + C_{2R} \quad (2.44)$$

เมื่อ C_s เป็นผลรวมของตัวเก็บประจุรอบนอกทั้งหมด C_{SL} เป็นผลรวมของตัวเก็บประจุรอบนอกของ เกาะโลหะทางซ้ายและ C_{SR} ผลรวมของตัวเก็บประจุรอบนอกของเกาะโลหะทางขวา โดยนิยามให้

$$\kappa = (C_{SR} - C_{SL}) / C_s \quad (2.45)$$

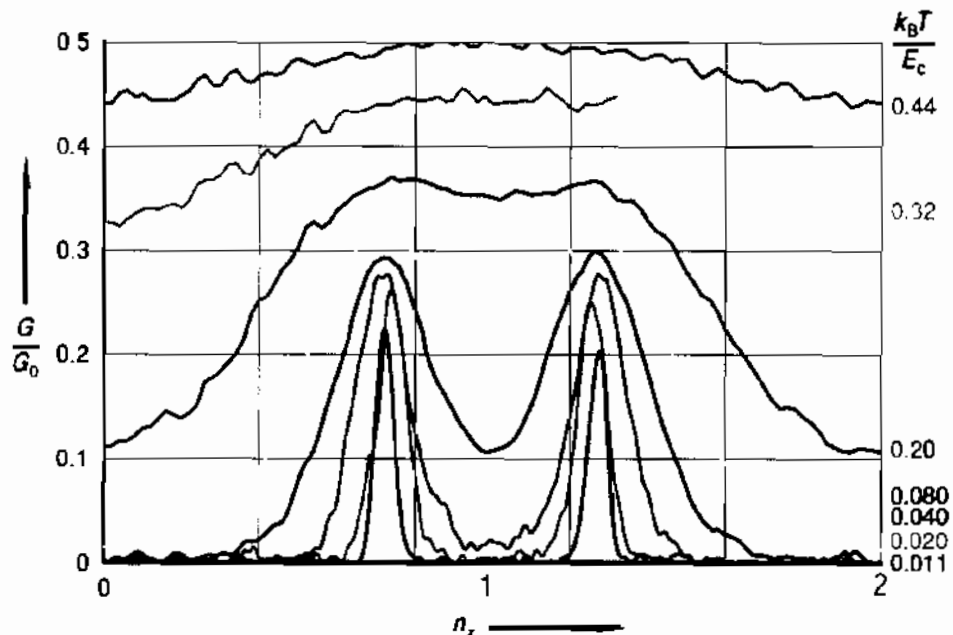
ในการศึกษาแผนภาพเสถียรของปีมอเล็กตรอนเดี่ยว สามารถศึกษาการส่งผ่านของประจุได้ ด้วยการเปลี่ยนแปลงแรงดันไฟฟ้าที่ขั้วเกตทั้งสองขั้ว ซึ่งสามารถแสดงลำดับการส่งผ่านของประจุจาก ขั้วซอร์สไปยังขั้วเดرنได้ที่เงื่อนไขต่างๆ โดยลิมบัชและคณ์ได้สร้างแผนภาพเสถียรของปีมอเล็กตรอน เดี่ยว เพื่อเปรียบเทียบกับผลการทดลองดังแสดงในภาพประกอบ 2.8 [7]



ภาพประกอบ 2.8 (a) แผนภาพเสถียรของปีมอเล็กตรอนเดี่ยว และ (b) ผลการวัดค่าความนำไฟฟ้าของปีมอเล็กตรอนเดี่ยว ซึ่งเป็นพังค์ชันของแรงดันไฟฟ้าที่ขั้วเกตทั้งสองขั้วที่อุณหภูมิ 150 mK [7]

จากภาพประกอบ 2.8 (a) เซลล์หกเหลี่ยมที่เกิดขึ้นมีคู่อันดับที่แสดงจำนวนประจุที่รอยต่อการหลุดผ่านภายใต้เงาะโลหะทางซ้ายและขวา (n_L, n_R) โดยที่บุนของแต่ละเซลล์ถูกเรียกว่า จุดทริปเปิล พอยท์ ซึ่งเป็นจุดที่อิเล็กตรอนในสามสถานะมีระดับพลังงานเท่ากัน เมื่อเพิ่มแรงดันไฟฟ้าจนถึงจุดทริปเปิลพอยท์ในแผนภาพเสถียรซึ่งเป็นเงื่อนไขของการจ่ายแรงดันไฟฟ้าที่ขั้วเกตทั้งสองขั้วเพื่อควบคุมให้ประจุเคลื่อนที่ผ่านปีมอเล็กตรอนเดี่ยวไปได้ตื้อสุด นอกจากนั้น แผนภาพเสถียรยังสามารถแสดงลำดับการส่งผ่านของประจุจาก $(0,0) \rightarrow (1,0) \rightarrow (0,1) \rightarrow (0,0)$ ซึ่งเป็นเงื่อนไขของการให้แรงดันไฟฟ้าที่ขั้วเกตทั้งสองขั้ว เพื่อควบคุมประจุให้เคลื่อนที่จากขั้วซอร์สไปยังขั้วเดรน ในทางตรงกันข้ามแผนภาพเสถียรจะสามารถใช้กำหนดแรงดันไฟฟ้าที่ขั้วเกตทั้งสอง ซึ่งทำให้ลำดับของการส่งผ่านประจุให้เคลื่อนที่เปลี่ยนทิศทางจากขั้วเดรนกลับมาขั้วซอร์สได้ โดยมีลำดับดังนี้ $(0,0) \rightarrow (0,1) \rightarrow (1,0) \rightarrow (0,0)$ จากลำดับการส่งผ่านที่กล่าวมาทั้งสองกรณี อุปกรณ์นี้ถูกเรียกว่า ปีมอเล็กตรอนเดี่ยว

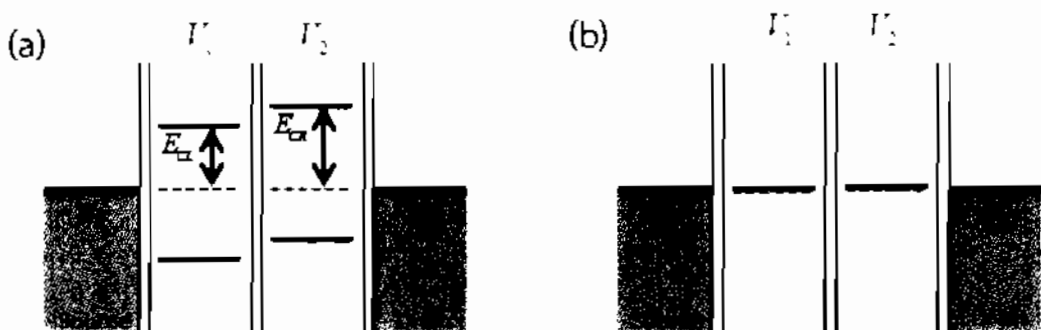
ภาพประกอบ 2.8 (b) แสดงผลที่ได้จากการวัดค่าความนำไฟฟ้าของปั๊มอิเล็กตรอนเดียว ในทางทฤษฎีจุดทริปเปิลพอยท์เป็นเงื่อนไขที่ทำให้เกิดการส่งผ่านของอิเล็กตรอนได้สูงสุดและเป็นจุดที่เกิดค่าความนำไฟฟ้าสูงสุด (G_{max}) แต่จากการวัดแสดงให้เห็นว่าค่าความนำไฟฟ้าสูงสุดเกิดขึ้นที่บริเวณใกล้เคียงกับจุดทริปเปิลพอยท์ เนื่องจากการสร้างแผนภาพเสถียรไม่คิดผลของพจน์การหักผ่านดังนั้น แผนภาพเสถียรของปั๊มอิเล็กตรอนเดียวจึงไม่สามารถระบุตำแหน่งของค่าความนำไฟฟ้าสูงสุดได้อย่างแม่นยำ ซึ่งการหาตำแหน่งที่แน่นอนของ G_{max} จะได้อธิบายในบทที่ 5



ภาพประกอบ 2.9 การแกว่งกวัดของคูลอมบ์ของปั๊มอิเล็กตรอนเดียวที่เกิดขึ้นในช่วงอุณหภูมิ $27 mK (=0.011E_c/k_B)$ ถึง $1.1K (=0.44E_c/k_B)$ ซึ่งถูกแสดงผลโดยการวัดค่าความนำไฟฟ้าของปั๊มอิเล็กตรอนเดียว เมื่อจำนวนประจุลบที่ถูกเหนี่ยวนำด้วยแรงดันไฟฟ้าที่ขั้วเกตเปลี่ยนแปลง [7]

ผลการวัดค่าความนำไฟฟ้าของปั๊มอิเล็กตรอนเดียวที่อุณหภูมิค่าต่างๆ ได้ถูกแสดงในภาพประกอบ 2.9 พิจารณาที่อุณหภูมิต่ำ เช่น เส้นสีเขียวซึ่งมีตัวเลขที่บ่งบอกอัตราส่วนระหว่างพลังงานที่เกิดจากความร้อนและพลังงานการเพิ่มประจุ $k_B T/E_c = 0.04$ พบว่า เมื่อแรงดันไฟฟ้าที่ขั้วเกตเปลี่ยนแปลงไปค่าความนำไฟฟ้าจะเกิดการเปลี่ยนแปลงไปในปริมาณน้อยมาก อย่างไรก็ตาม พารามิเตอร์ n_x ซึ่งเป็นพารามิเตอร์ที่ไม่มีหน่วยและแสดงถึงผลกระทบของจำนวนประจุลบที่ถูกเหนี่ยวนำด้วยแรงดันไฟฟ้าที่ขั้วเกตทั้งสอง จากกราฟในภาพประกอบ 2.9 ปั๊มอิเล็กตรอนเดียวเกิดค่าความนำไฟฟ้าสูงสุด บริเวณที่พารามิเตอร์ n_x มีค่าประมาณ 0.7 หรือ 1.3 เมื่อจากช่วงดังกล่าวเป็นสภาวะที่อุปกรณ์ได้รับแรงดันไฟฟ้าจากขั้วเกตทั้งสองอย่างเหมาะสม ทำให้อิเล็กตรอนสามารถไหลจากขั้วซอร์สไปยังขั้วเดرنได้สูงสุด แต่ช่วงที่แรงดันไฟฟ้าที่ขั้วเกตมีค่าน้อย พบว่า ค่าความนำไฟฟ้าเกิดขึ้นในช่วง

อุณหภูมิต่ำมีค่าต่ำ กล่าวคือ อิเล็กตรอนมีพลังงานไม่เพียงพอที่จะเข้าไปครอบคลองสถานะว่างในเกาโลหะ อิเล็กตรอนจึงมีโอกาสอยู่ที่จะเคลื่อนที่จากขั้วชอร์สไปยังขั้วเดรน ทำให้ค่าความนำไฟฟ้ามีค่าน้อย ลักษณะที่เกิดขึ้นแสดงผลของปรากฏการณ์การขัดขวางแบบคูลอมบ์ภายในปืนอิเล็กตรอนเดียว นอกจากนี้ เพื่อให้เกิดความเข้าใจมากยิ่งขึ้นจะได้พิจารณาจากแผนภาพดังภาพประกอบ 2.10



ภาพประกอบ 2.10 (a) แผนภาพระดับพลังงานของเกาโลหะที่เกิดค่าความนำไฟฟ้าต่ำสุด และ (b) แผนภาพระดับพลังงานของเกาโลหะที่เกิดค่าความนำไฟฟ้าสูงสุด

พิจารณาภาพประกอบ 2.10 (a) ในกรณีอุณหภูมิต่ำและแรงดันไฟฟ้าที่ขั้วเกตมีค่าน้อย จากกราฟการแก่งวัดของคูลอมบ์พบว่าเกิดค่าความนำไฟฟ้าน้อยมาก เนื่องจาก อิเล็กตรอนภายในเกาจะครอบคลองสถานะในเกาโลหะทางซ้ายซึ่งอยู่ต่ำกว่าระดับพลังงานของขั้วชอร์สอยู่หนึ่งระดับและทำให้อิเล็กตรอนในขั้วชอร์สมีความสามารถเข้าครอบคลองสถานะดังกล่าวได้ โดยเป็นผลจาก กฎการกีดกันของเพาลี (Pauli exclusion principle) ลักษณะที่เกิดขึ้นนี้เรียกว่า ปรากฏการณ์การขัดขวางแบบคูลอมบ์ นอกจากนั้น อิเล็กตรอนในขั้วชอร์สจะมีโอกาสอยู่มากที่จะเข้าไปครอบคลองสถานะว่างที่อยู่สูงกว่าส่งผลให้โอกาสที่อิเล็กตรอนในขั้วชอร์สจะหลุดรอดไปยังขั้วเดรนเกิดขึ้นได้น้อยมาก ด้วยเหตุนี้ ทำให้ค่าความนำไฟฟ้าที่ต่ำได้ในบริเวณดังกล่าวมีค่าประมาณศูนย์ ภาพประกอบ 2.10 (b) แสดงปรากฏการณ์การขัดขวางแบบคูลอมบ์ในสภาวะที่เกิดค่าความนำไฟฟ้าสูงสุด เมื่อให้จำนวนประจุคลบที่ถูกเหนี่ยวนำด้วยแรงดันไฟฟ้าที่ขั้วเกตรวม (κ_x) ทั้งสองขั้วให้มีค่าประมาณ 0.7 หรือ 1.3 ในทางปฏิบัติ การเพิ่มจำนวนประจุคลบที่ถูกเหนี่ยวนำด้วยแรงดันไฟฟ้าที่ขั้วเกตรวมคือการเพิ่มแรงดันไฟฟ้าที่ขั้วเกต ด้วยค่าแรงดันไฟฟ้าค่าใดทำให้ระดับพลังงานว่างของเกาโลหะทั้งสองลดลงมาอยู่ในระดับใกล้เคียงกับระดับพลังงานของอิเล็กตรอนในขั้วชอร์ส อิเล็กตรอนจากขั้วชอร์สจะครอบคลองสถานะใหม่ได้หนึ่งตัวและขัดขวางไม่ให้อิเล็กตรอนตัวอื่นเข้ามาครอบคลองสถานะนี้ร่วมกัน เมื่ออิเล็กตรอนที่ครอบคลองสถานะในเกาโลหะทางซ้ายเคลื่อนไปเกาโลหะทางขวา แต่อิเล็กตรอนในขั้วชอร์สจะยังไม่สามารถเข้ามาครอบคลองสถานะว่างในเกาโลหะทางซ้ายได้ เนื่องจาก โครงสร้างนี้เกาโลหะทั้งสองอยู่ในระยะที่อิเล็กตรอนจะส่งผลกระทบกับวงฟังก์ชันคลื่นอิเล็กทรอนิกส์โดยหนึ่งได้ในกรณีที่ทำให้อิเล็กตรอนจากขั้วชอร์สถูกส่งผ่านไปยังขั้วเดรนได้หนึ่งตัวและระดับพลังงานอยู่ในแนวเดียวกันทำให้อิเล็กตรอนสามารถ

ให้หลีได้ทำให้เกิดค่าความนำไฟฟ้าขั้นสูงสุดที่ต่ำแห่งนี้ แต่อุณหภูมิรากฐาน ปรากฏการณ์การขัดขวางแบบคูลอมบ์สามารถถูกทำลายด้วยผลของการกวัดแกกว่างทางความร้อน (thermal fluctuation) ยกตัวอย่างเช่น ช่วง $k_B T / E_c = 0.32$ คือ เส้นสีม่วงในภาพประกอบ 2.9 ซึ่งแสดงค่าความนำไฟฟ้าที่อุณหภูมิสูง ค่าความนำไฟฟ้าในช่วงดังกล่าวมีค่าประมาณคงที่เมื่อแรงดันไฟฟ้าเปลี่ยนแปลง ซึ่งสามารถถกถ่วงได้ว่า ในสภาวะนี้ อิเล็กตรอนมีพลังงานเพียงพอที่จะเคลื่อนที่ผ่านเกาะโลหะทั้งสองได้โดยไม่ต้องการพลังงานศักย์จากแรงดันไฟฟ้าที่ข้ามเกต

2.4 วิธีการมอนติคาโร

ในปี ค.ศ. 1949 ศาสตราจารย์สถาานิสลาฟ อุลาม (Stanislaw Ulam) ได้ทำงานวิจัยร่วมกับศาสตราจารย์นิโคลัส คอนสแตนทิน เมโทรโพลิส (Nicholas Constantine Metropolis) โดยได้เสนอวิธีการคำนวณแบบมอนติคาโร (Monte Carlo simulation) เป็นครั้งแรก [16] ซึ่งวิธีการดังกล่าวเป็นการประมาณโดยใช้ตัวเลขแบบสุ่ม (random numbers) มาช่วยในการแก้ปัญหาเชิงตัวเลข โดยแนวคิดและหลักการดังกล่าวสามารถประยุกต์ใช้แก้ปัญหาทางกลศาสตร์ควบคุมอย่างมีประสิทธิภาพ

2.4.1 การคำนวณหาค่าปริพันธ์ด้วยวิธีการมอนติคาโร

เพื่อให้เข้าใจวิธีการมอนติคาโรซึ่งประกอบด้วยลำดับของตัวเลขแบบสุ่ม (sequence of random numbers) ที่เป็นจำนวนจริง มีการกระจายตัวอย่างสม่ำเสมอ ในหัวข้อนี้ได้แสดงวิธีการคำนวณหาค่าปริพันธ์ โดยเริ่มจากการพิจารณาการหาค่าปริพันธ์ของฟังก์ชัน $\Phi(x)$ ดังสมการ

$$I = \int_a^b \Phi(x) dx \quad (2.46)$$

ในการคำนวณค่าปริพันธ์นี้ โดยที่วิ่งไปสามารถทำได้โดยการแบ่งขอบเขตของปริพันธ์ (a, b) ออกเป็น N ช่วง และประมาณค่าปริพันธ์ในรูปของผลรวม (summation) ดังสมการ

$$I_N \approx \frac{b-a}{N} \sum_{i=1}^N \Phi(x_i) \quad (2.47)$$

เมื่อ

$$x_i = a + \left(i - \frac{1}{2} \right) \frac{b-a}{N} \quad (2.48)$$

จากสมการ (2.47) เป็นกรณีที่ค่า x_i มีการกระจายตัวอย่างสม่ำเสมอในช่วงของ (a, b) แต่ในกรณีที่ x_i ไม่มีการกระจายตัวอย่างสม่ำเสมอในช่วงของ (a, b) ซึ่งสามารถเขียนเป็นสมการใหม่ได้ดังนี้

$$x_i = a + (b-a)\xi_i \quad (2.49)$$

เมื่อ $\{\xi_i\}$ เป็นตัวเลขแบบสุ่มที่ถูกสุ่มในช่วง $(0, 1)$ โดยที่ $i = 1, 2, \dots, N$



นอกจากวิธีที่กล่าวมาข้างต้นมีอีกวิธีหนึ่งที่ใช้กันอย่างแพร่หลาย คือ วิธีการประมาณแบบบอนติ คาร์โล ซึ่งมีรายละเอียดดังต่อไปนี้ กำหนดให้ค่า \bar{I}_N เป็นการประมาณค่าปริพันธ์ด้วยวิธีการ蒙ติ คาร์โล ค่าปริพันธ์ดังกล่าวเป็นการสุ่มตัวอย่างจำนวน N ตัวอย่าง ซึ่งพบว่า เมื่อ $N \rightarrow \infty$ การประมาณค่า $\bar{I}_N \rightarrow I$ ใน การกำหนดค่า N สำหรับการคำนวณเพื่อให้ค่า \bar{I}_N ถูกเข้าสู่ค่าที่เป็นค่าตอบจริง I ให้พิจารณาการคำนวณหาค่าคาดหมายของฟังก์ชัน $h(x)$ จากการสุ่มจากกลุ่มตัวอย่างซึ่งมีสมการดังนี้

$$\langle h \rangle_f = \int_{-\infty}^{+\infty} h(x) f(x) dx \quad (2.50)$$

กำหนดให้ $f(x)$ เป็นฟังก์ชันความหนาแน่นความน่าจะเป็น (probability density function) ของกลุ่มตัวอย่าง และฟังก์ชัน $h(x)$ เป็นฟังก์ชันที่ถูกทำการประมาณค่าคาดหมาย $\langle h \rangle_f$ ในลำดับแรก ทำการสุ่มตัวอย่าง x_i โดยใช้ความหนาแน่นความน่าจะเป็น $f(x_i)$ ทำให้ได้ชุดตัวอย่าง x_i เมื่อ $i=1, 2, 3, \dots, N$ และค่า \bar{h}_N เขียนได้ดังสมการ

$$\bar{h}_N = \frac{1}{N} \sum_{i=1}^N h(x_i) \quad (2.51)$$

ภายใต้เงื่อนไข $N \rightarrow \infty$ ทำให้ค่า $\bar{h}_N \rightarrow \langle h \rangle_f$ ซึ่งมีลักษณะเช่นเดียวกับ $\bar{I}_N \rightarrow I$ และจากทฤษฎี แนวโน้มเข้าสู่ส่วนกลาง (central limit theorem) [17] ค่า \bar{h}_N ที่ถูกเข้าสู่ค่าคาดหมาย $\langle h \rangle_f$ นั้นมีค่าความแปรปรวนเท่ากับ σ^2 เมื่อ

$$\sigma^2 = \int_{-\infty}^{+\infty} [h(x) - \langle h \rangle_f]^2 f(x) dx \quad (2.52)$$

ดังนั้น การประมาณแบบบอนติ คาร์โลของ $\langle h \rangle_f$ สามารถเขียนได้ดังสมการ

$$\begin{aligned} \langle h \rangle_f &= \bar{h}_N \pm \frac{\sigma}{\sqrt{N}} \\ &= \frac{1}{N} \sum_{i=1}^N h(x_i) \pm \frac{\sigma}{\sqrt{N}} \end{aligned} \quad (2.53)$$

โดยที่ σ/\sqrt{N} คือ ค่าความคลาดเคลื่อนของชุดข้อมูล $h(x_i)$ และจากสมการ (2.53) พบร่วมว่า เมื่อค่า N มีค่าเพิ่มมากขึ้น ค่าความคลาดเคลื่อนจะมีค่าลดลง

2.4.2 การสุ่มตัวอย่างตามความสำคัญ

เนื่องจากการคำนวณด้วยวิธีการ蒙ติ คาร์โลเป็นวิธีการประมาณ ทำให้เกิดความคลาดเคลื่อนในการคำนวณ การลดค่าความคลาดเคลื่อนดังกล่าวจาก การเพิ่มจำนวนตัวอย่างแล้ว สามารถลดค่าความคลาดเคลื่อนได้โดย การสุ่มตัวอย่างตามความสำคัญ (importance sampling) ซึ่งเป็นวิธีการเลือกฟังก์ชันการแจกแจงความน่าจะเป็น (probability distribution function) แทนด้วยตัวแปร

$\rho(x)$ เพื่อทำการสุ่มตัวอย่างโดยความถี่ของการสุ่มขึ้นอยู่กับระดับความสำคัญ กล่าวคือบริเวณที่มีความสำคัญมากความถี่ในการสุ่มจะมีมากและบริเวณที่มีความสำคัญน้อยความถี่ในการสุ่มจะมีน้อยเพื่อให้เข้าใจหลักการพื้นฐานพิจารณาจากการคำนวณหาค่าปริพันธ์

$$I = \int_{-\infty}^{\infty} f(x) dx = \int_{-\infty}^{\infty} \left(\frac{f(x)}{\rho(x)} \right) \rho(x) dx = \left\langle \frac{f}{\rho} \right\rangle_{\rho} \quad (2.54)$$

จากสมการ (2.54) ค่าพังก์ชัน $f(x)/\rho(x)$ เป็นพังก์ชันที่ต้องการหาค่าคาดหมาย โดยพังก์ชันการแจกแจงความน่าจะเป็น $\rho(x)$ ต้องอยู่ในเงื่อนไขต่อไปนี้

1) ความน่าจะเป็นของทุกค่า x ต้องมีค่ามากกว่าหรือเท่ากับศูนย์

$$\rho(x) \geq 0 \quad (2.55)$$

2) ผลรวมของความน่าจะเป็นที่ทุกค่า x ต้องมีค่าเท่ากับหนึ่ง

$$\int_{-\infty}^{\infty} \rho(x) dx = 1 \quad (2.56)$$

จากสมการ (2.54) สามารถประมาณแบบมอนติคาร์โลได้ดังนี้

$$\int_{-\infty}^{\infty} f(x) dx = \frac{1}{N} \sum_{i=1}^N \frac{f(x_i)}{\rho(x_i)} \pm \frac{1}{\sqrt{N}} \left[\left\langle \left(\frac{f}{\rho} \right)^2 \right\rangle_{\rho} - \left\langle \frac{f}{\rho} \right\rangle_{\rho}^2 \right]^{\frac{1}{2}} \quad (2.57)$$

โดยที่ ตัวแปรสุ่ม x , ถูกสุ่มด้วยความน่าจะเป็น $\rho(x)$ และค่าความแปรปรวนมีค่าตามสมการ

$$\begin{aligned} \sigma_{\rho}^2 &= \left\langle \left(\frac{f}{\rho} \right)^2 \right\rangle_{\rho} - \left\langle \frac{f}{\rho} \right\rangle_{\rho}^2 \\ &= \left\langle \left(\frac{f}{\rho} - I \right)^2 \right\rangle_{\rho} \end{aligned} \quad (2.58)$$

จากสมการ (2.58) ถ้าเลือกใช้ค่า $\rho(x) = f(x)/I$ จะทำให้ค่าความคลาดเคลื่อนมีค่าเป็นศูนย์ กล่าวคือ ไม่มีความคลาดเคลื่อน แต่เนื่องจากค่า I เป็นค่าตอบของการหาค่าปริพันธ์ ดังนั้น จึงไม่สามารถทำให้ค่าความคลาดเคลื่อนเป็นศูนย์ได้ เพราะไม่ทราบค่าตอบของสมการ แต่อย่างไรก็ตาม สมการ (2.58) แสดงให้เห็นถึงหลักการเลือกพังก์ชันการแจกแจงความน่าจะเป็น กล่าวคือ ควรเลือก พังก์ชันการแจกแจงความน่าจะเป็น $\rho(x)$ ที่มีรูปร่างการกระจายตัวใกล้เคียงกับ $f(x)$ มากที่สุดเพื่อ ทำให้ค่าความคลาดเคลื่อนมีค่าน้อยที่สุด ซึ่งจะทำให้ค่าที่คำนวณได้มีความน่าเชื่อถือและใกล้เคียงกับ ค่าจริง โดยวิธีการสุ่มดังกล่าวเรียกว่า วิธีการสุ่มตัวอย่างตามความสำคัญ

2.4.3 ระเบียบวิธีของเมโทรโพลิส

ในการสร้างลำดับของตัวอย่าง $\{x_1, x_2, \dots, x_N\}$ สำหรับการคำนวณตามสมการ (2.58) มีด้วยกันหลายวิธี แต่วิธีที่ได้รับความนิยมมากที่สุด คือ ระเบียบวิธีของเมโทรโพลิส (Metropolis algorithm) เพื่อปรับปรุงระเบียบวิธีดังกล่าว จึงกำหนดให้ค่าตัวอย่างสุ่ม x_1 เป็นค่าเริ่มต้น จากนั้นหา x_2 จากการสุ่มตามระเบียบวิธีของเมtroโพลิส ซึ่งค่าความน่าจะเป็นในการเลือก x_2 สามารถคำนวณได้จากสมการ

$$A(x_1 \rightarrow x_2) = \min \left[1, \frac{\rho(x_2)}{\rho(x_1)} \right] \quad (2.59)$$

เมื่อ $A(x_1 \rightarrow x_2)$ คือ ความน่าจะเป็นของการเปลี่ยนสถานะจากค่า x_1 ไปยังสถานะ x_2 โดย $\rho(x_1)$ และ $\rho(x_2)$ คือ พิมพ์ชันการแจกแจงความน่าจะเป็นของ x_1 และ x_2 ตามลำดับ จากระเบียบ (2.59) สามารถแยกออกได้เป็น 2 กรณี

- 1) ถ้า $\rho(x_2) \geq \rho(x_1)$, $A(x_1 \rightarrow x_2) = 1$
- 2) ถ้า $\rho(x_2) < \rho(x_1)$, $A(x_1 \rightarrow x_2) = \rho(x_2)/\rho(x_1)$

ในกรณีที่ 1 ค่า x_2 จะถูกยอมรับทันที แต่ในกรณีที่ 2 เพื่อที่จะเลือกว่าเกิดการเปลี่ยนสถานะเป็น x_2 หรือไม่ จำเป็นต้องเปรียบเทียบอัตราส่วนระหว่าง $\rho(x_2)/\rho(x_1)$ กับค่าตัวเลขสุ่ม (random number) แทนด้วย r ซึ่งอยู่ในช่วง 0 ถึง 1 กล่าวคือ ถ้า $A(x_1 \rightarrow x_2) \geq r$ แล้วให้เลือกค่า x_2 แต่ถ้า $A(x_1 \rightarrow x_2) < r$ ให้เลือกค่า x_1 จากนั้นให้ทำการสุ่มค่า x_2 ขึ้นมาใหม่อีกครั้งเพื่อมาเปรียบเทียบตามสมการ (2.59) และทำซ้ำจนกว่าจะได้ชุดของกลุ่มตัวอย่าง x_M ตามที่ต้องการ

2.5 วิธีการคำนวณต้มnodติคาร์โล

ตามทฤษฎีกลศาสตร์ควอนตัมของฟายน์แมน (Feynman's quantum mechanics) [18] พิมพ์ชันแบ่งส่วน (partition function) ของระบบทางควอนตัมใดๆ สามารถเขียนได้ดังสมการ

$$Z(\beta) = \mathcal{N} \oint D\phi e^{-S[\phi(\tau)]} \quad (2.60)$$

โดยสัญลักษณ์ $\oint D\phi \equiv \oint d\phi_{N-1} \dots \oint d\phi_2 \oint d\phi_1$ หมายถึง ผลรวมของทุกเส้นทางปิด กล่าวคือ $\phi(0) = \phi(\beta)$ และ $\beta = (k_B T)^{-1}$ ค่าแอ็กชัน $S[\phi(\tau)]$ หมายถึง แอ็กชันของเส้นทางแบบยุคลิด (Euclidean action) กล่าวคือ แอ็กชันที่เขียนอยู่ในพจน์เวลาจินตภาพ ซึ่งนิยามดังสมการ

$$S[\phi(\tau)] = \int_0^\beta d\tau \left[\frac{m}{2} \dot{\phi}^2(\tau) - V(\phi(\tau)) \right] \quad (2.61)$$

เมื่อ $\phi(\tau)$ หมายถึง เส้นทางของอนุภาคในเวลาจินตภาพ และ $\dot{\phi}(\tau) = d\phi(\tau)/d\tau$ ในกรณีที่ค่า แอกซ์ชันของระบบเป็นจำนวนจริงบวก ค่าคาดหมายของตัวดำเนินการได้ฯ สามารถคำนวณได้ตาม สมการ

$$\langle \hat{O} \rangle = \hat{\phi} D[\phi] \hat{O}[\phi(\tau)] \rho[\phi(\tau)] \quad (2.62)$$

เมื่อตัวดำเนินการ \hat{O} ถูกเขียนให้อยู่ในพจน์ของเส้นทางของอนุภาค และ $\rho(\phi)$ ถูกนิยามตามสมการ

$$\rho[\phi(\tau)] = \frac{1}{Z} e^{-S[\phi(\tau)]} \quad (2.63)$$

โดย $\rho[\phi(\tau)]$ เป็นฟังก์ชันการแจกแจงความน่าจะเป็นของระบบทางความดันและค่า $[\phi(\tau)]$ ต้อง เป็นจำนวนจริงบวกเพื่อให้ $\rho[\phi(\tau)]$ มีค่าลู่เข้า

การสุมตัวอย่างของเส้นทางจินตภาพ

เส้นทางในเวลาจินตภาพได้ฯ สามารถแบ่งออกเป็นช่วงได้ตามภาพประกอบ 2.11



ภาพประกอบ 2.11 ตัวอย่างการแบ่งเส้นทางจินตภาพออกเป็น 10 ช่วงเท่าๆ กัน

ภาพประกอบ 2.11 แสดงตัวอย่างของเส้นทางที่ถูกแบ่งออกเป็น 10 ช่วงเท่าๆ กัน กล่าวคือ $N=10$ จากรูปพบว่า เส้นทางที่ต่อเนื่อง (continuous path) สามารถประมาณตัวยุจุดจำนวนมาก คล้ายกับการร้อยลูกปัด ดังนั้น ในการคำนวณสมการ (2.62) สามารถคำนวณได้ตามวิธีการความดัน มองติดการໂລในหัวข้อ 2.4 กล่าวคือ

$$\langle \hat{O} \rangle \approx \frac{1}{M} \sum_{\substack{j=1 \\ \phi_j \in \mathbb{R}}}^M \hat{O}[\phi_j] \quad (2.64)$$

โดยที่ M คือ จำนวนของเส้นทางสุ่ม (ϕ) และ ϕ_j คือ จำนวนจริงที่ใช้แทนเส้นทางสุ่มของอนุภาคใน ลำดับที่ j เมื่อ $j=\{1,2,3,\dots,M\}$ ซึ่งเส้นทาง ϕ_j ได้จากการสุ่มโดยใช้ฟังก์ชันการแจกแจงความน่าจะ เป็น $\rho(\phi_j)$ เส้นทาง ϕ_j จะถูกยอมรับหรือไม่พิจารณาจากความน่าจะเป็นของการเปลี่ยนแปลงสถานะ

จากเส้นทางเริ่มต้น (ϕ_{ini}) ไปยังเส้นทางใหม่ (ϕ_{new}) โดยประยุกต์ใช้วิธีการของเมโทรโพลิสได้ดังสมการ [19]

$$A(\phi_{\text{ini}} \rightarrow \phi_{\text{new}}) = \frac{\rho[\phi_{\text{new}}]}{\rho[\phi_{\text{ini}}]} = \frac{e^{-S[\phi_{\text{new}}]}/Z}{e^{-S[\phi_{\text{ini}}]}/Z} = \frac{e^{-S[\phi_{\text{new}}]}}{e^{-S[\phi_{\text{ini}}]}} = e^{-\Delta S} \quad (2.65)$$

จากสมการ (2.65) พบร่วม ในการคำนวณค่าความน่าจะเป็นในการเลือกตัวอย่างไม่จำเป็นต้องทราบค่าฟังก์ชันแบ่งส่วน (Z) ซึ่งไม่สามารถคำนวณได้ แต่โดยวิธีของเมโทรโพลิสต้องทราบเพียงผลต่างระหว่างค่าอัอกชัน ทำให้ขั้นตอนของวิธีเมโทรโพลิสสามารถเขียนใหม่ได้เป็น

$$A(\phi_{\text{ini}} \rightarrow \phi_{\text{new}}) = \min[1, e^{-\Delta S}] \quad (2.66)$$

จากสมการ (2.66) สามารถสร้างเส้นทางใหม่ได้ดังนี้

- 1) เริ่มจากเส้นทางของอนุภาค $\phi[\tau]$ จากนั้นเปลี่ยนเส้นทางดังกล่าวไปเล็กน้อยและเรียกว่าเส้นทางดังกล่าวว่า เส้นทางเดิมใหม่
- 2) คำนวณค่า $\Delta S = S[\phi_{\text{new}}] - S[\phi_{\text{ini}}]$
- 3) ถ้า $\Delta S \leq 0$ เส้นทางใหม่จะถูกยอมรับทันที
- 4) ถ้า $\Delta S > 0$ ให้สร้างตัวเลขสุ่มที่อยู่ในช่วง 0 ถึง 1 ($r \in [0,1]$) ขึ้นมาหนึ่งค่าแล้วนำไปเปรียบเทียบกับค่า $e^{-\Delta S}$ ถ้า $e^{-\Delta S} \geq r$ แล้วเส้นทางใหม่จะถูกยอมรับ แต่ถ้า $e^{-\Delta S} < r$ แล้วเส้นทางเดิม (ϕ_{ini}) จะถูกยอมรับ
- 5) จากนั้นทำซ้ำข้อ 1 ถึง 4 จนกว่าจะได้ชุดตัวอย่าง $\{\phi_1, \phi_2, \dots, \phi_M\}$ ครบตามจำนวนตัวอย่างที่ต้องการ

จากที่กล่าวมาข้างต้นได้แสดงวิธีการสุ่มตัวอย่างด้วยวิธีการควบคุมอนติคาร์โล ซึ่งวิธีการดังกล่าวนี้จะถูกนำไปประยุกต์ใช้ในการคำนวณค่าพลังงานการเพิ่มประจุยังผล (E_c^*) ของปั๊มอิเล็กตรอนเดียวในบทที่ 4 และคำนวณค่าคอร์ริเลชันฟังก์ชัน เพื่อนำไปสู่การคำนวณค่าความนำไฟฟ้าในบทที่ 5

บทที่ 3

แผนภาพเสถียร

แผนภาพเสถียรของปั๊มอิเล็กตรอนเดียวสามารถแบ่งการพิจารณาได้เป็น 2 กรณี กล่าวคือ ในกรณีที่แรงดันไฟฟ้าของขั้วซอร์สและขั้วเดرنมีค่าเท่ากัน ($V_s = V_D$) ซึ่งกรณีนี้เรียกว่า การส่งผ่านแบบเชิงเส้น (linear transport) และในกรณีที่แรงดันไฟฟ้าของทิ้งสองขั้วมีค่าแตกต่างกัน ($V_s \neq V_D$) กรณีนี้เรียกว่า การส่งผ่านแบบไม่เชิงเส้น (nonlinear transport) เนื่องจากในการคำนวณค่าคอร์ริเลชันฟังก์ชันกำหนดให้แรงดันไฟฟ้าที่ขั้วซอร์สกับขั้วเดรนมีค่าเท่ากันศูนย์ เพื่อให้เกิดความสอดคล้องกับการคำนวณค่าคอร์ริเลชันฟังก์ชันในบทที่ 5 ดังนั้น โครงการนี้จึงได้พิจารณาแผนภาพเสถียรของปั๊มอิเล็กตรอนเดียวเฉพาะในการนีการส่งผ่านแบบเชิงเส้น

3.1 แผนภาพเสถียรในระบบของจำนวนประจุ

ในการสร้างแผนภาพเสถียรของปั๊มอิเล็กตรอนเดียว บนระบบของจำนวนประจุลบที่ถูกเนียนนำด้วยแรงดันไฟฟ้าที่ขั้วเกตทางซ้ายและขั้วเกตทางขวา (n_{L0}, n_{R0}) กำหนดให้พิจารณาจำนวนประจุที่อยู่ต่อการหลุดผ่านภายในแกะโลหะทางซ้ายและทางขวา (n_L, n_R) เป็นประจุบวก กล่าวคือ $n_L = Q_L / |e|$ และ $n_R = Q_R / |e|$ โดยขั้นตอนการสร้างแผนภาพเสถียรเริ่มจากการพิจารณาการส่งผ่านของอิเล็กตรอนในกรณีต่างๆ ภายใต้ปั๊มอิเล็กตรอนเดียวพบว่า สามารถเกิดขึ้นได้ 6 กรณี กล่าวคือ

กรณีที่ 1 อิเล็กตรอนเคลื่อนที่จากขั้วซอร์สไปยังแกะโลหะทางซ้าย ในกรณีนี้ จำนวนอิเล็กตรอนในแกะโลหะทางซ้ายเพิ่มขึ้น 1 ตัว ถูกแทนด้วยสัญลักษณ์ $(n_L, n_R) \rightarrow (n_L + 1, n_R)$

กรณีที่ 2 อิเล็กตรอนเคลื่อนที่จากแกะโลหะทางซ้ายไปยังขั้วซอร์ส ในกรณีนี้ จำนวนอิเล็กตรอนของแกะโลหะทางซ้ายลดลง 1 ตัว ถูกแทนด้วยสัญลักษณ์ $(n_L, n_R) \rightarrow (n_L - 1, n_R)$

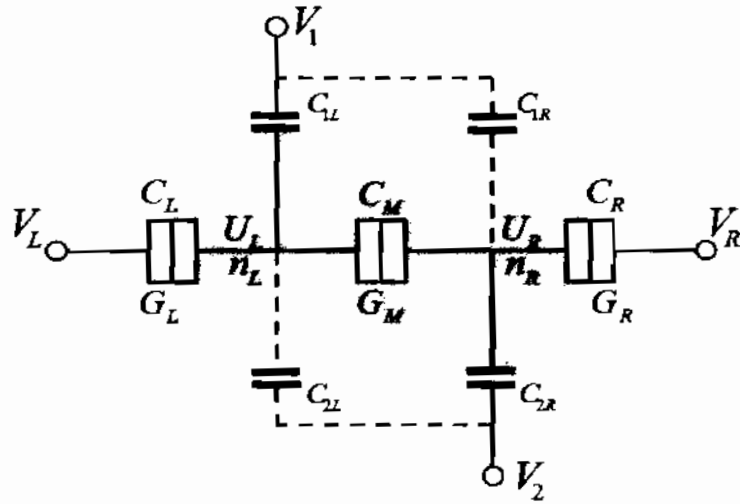
กรณีที่ 3 อิเล็กตรอนเคลื่อนที่จากขั้วเดรนไปยังแกะโลหะทางขวา ในกรณีนี้ จำนวนอิเล็กตรอนของแกะโลหะทางขวาเพิ่มขึ้น 1 ตัว ถูกแทนด้วยสัญลักษณ์ $(n_L, n_R) \rightarrow (n_L, n_R + 1)$

กรณีที่ 4 อิเล็กตรอนเคลื่อนที่จากแกะโลหะทางขวาไปยังขั้วเดรน ในกรณีนี้ จำนวนอิเล็กตรอนของแกะโลหะทางขวาลดลง 1 ตัว ถูกแทนด้วยสัญลักษณ์ $(n_L, n_R) \rightarrow (n_L, n_R - 1)$

กรณีที่ 5 อิเล็กตรอนเคลื่อนที่จากแกะโลหะทางซ้ายไปยังแกะโลหะทางขวา ในกรณีนี้ จำนวนอิเล็กตรอนบนแกะโลหะทางซ้ายลดลง 1 ตัว ในขณะที่แกะโลหะทางขวาจะมีจำนวนอิเล็กตรอนเพิ่มขึ้น 1 ตัว ถูกแทนด้วยสัญลักษณ์ $(n_L, n_R) \rightarrow (n_L + 1, n_R - 1)$

กรณีที่ 6 อิเล็กตรอนเคลื่อนที่จากเก้าโลหะทางขวาไปยังเก้าโลหะทางซ้าย ในกรณีนี้ จำนวนอิเล็กตรอนบนเก้าโลหะทางขวาลดลง 1 ตัว ในขณะที่เก้าโลหะทางซ้ายจะมีจำนวนอิเล็กตรอนเพิ่มขึ้น 1 ตัว ถูกแทนด้วยสัญลักษณ์ $(n_L, n_R) \rightarrow (n_L - 1, n_R + 1)$

ในการสร้างแผนภาพแสดงของปั๊มอิเล็กตรอนเดียว ลำดับแรก พิจารณาค่าศักยไฟฟ้าของเก้าโลหะทางซ้าย U_L และศักยไฟฟ้าของเก้าโลหะทางขวา U_R ซึ่งสามารถคำนวณได้จากประจุในตัวเก็บประจุที่ต่อเข้าโดยตรงกับเก้าโลหะห้องสอง จากการจะสมมูลของปั๊มอิเล็กตรอนเดียวสามารถแสดงสมการของประจุในเก้าโลหะทางซ้ายและทางขวา กล่าวคือ



ภาพประกอบ 3.1 วงจรสมมูลของปั๊มอิเล็กตรอนเดียว [7]

$$Q_L = C_L(U_L - V_L) + C_{1L}(U_L - V_1) + C_{2L}(U_L - V_2) + C_M(U_L - U_R) \quad (3.1a)$$

$$Q_R = C_R(U_R - V_R) + C_{1R}(U_R - V_1) + C_{2R}(U_R - V_2) + C_M(U_R - U_L) \quad (3.1b)$$

เมื่อ $C_{\Sigma L} = C_L + C_{1L} + C_{2L} + C_M$ และ $C_{\Sigma R} = C_R + C_{1R} + C_{2R} + C_M$ โดย C_{1R} และ C_{2L} คือ สเตรียค่าพาชีเตนท์ (stray capacitance) ซึ่งเกิดขึ้นเมื่อมีแรงดันไฟฟ้าต่อกันระหว่างขั้วเกตทางซ้าย กับเก้าโลหะทางขวาและขั้วเกตทางขวา กับเก้าโลหะทางซ้าย ตามลำดับ ดังนั้น สมการ (3.1a) และ (3.1b) สามารถเขียนใหม่ได้เป็น

$$Q_L = C_{\Sigma L}U_L - n_{L0}e - C_MU_R \quad (3.2)$$

$$Q_R = C_{\Sigma R}U_R - n_{R0}e - C_MU_L \quad (3.3)$$

โดยที่ n_{L0} และ n_{R0} แสดงจำนวนประจุลบที่ถูกเหนี่ยวนำด้วยแรงดันไฟฟ้าที่ขั้วเกต V_1 และ V_2 ตามลำดับ กล่าวคือ

$$n_{L0} = (C_LV_L + C_{1L}V_1 + C_{2L}V_2)/e \quad (3.4a)$$

$$n_{R0} = (C_RV_R + C_{1R}V_1 + C_{2R}V_2)/e \quad (3.4b)$$

ในสมการ (3.2) และ (3.3) ได้แสดงให้เห็นว่า ประจุรวมสามารถจัดให้อยู่ในพจน์ U_L และ U_R โดยแทน $U_R = (C_M U_L + n_{R0} e + Q_R) / C_{\Sigma R}$ ลงในสมการ (3.2) และจัดรูปให้อยู่ในพจน์ของศักย์ไฟฟ้าของแก๊สโลหะทางซ้ายพบว่า

$$U_L = \frac{Q_L C_{\Sigma R}}{(C_{\Sigma L} C_{\Sigma R} - C_M^2)} + \frac{n_{L0} C_{\Sigma R} e}{(C_{\Sigma L} C_{\Sigma R} - C_M^2)} + \frac{C_M Q_R}{(C_{\Sigma L} C_{\Sigma R} - C_M^2)} + \frac{n_{R0} C_M e}{(C_{\Sigma L} C_{\Sigma R} - C_M^2)} \quad (3.5)$$

จากสมการ (3.5) สามารถเขียนศักย์ไฟฟ้าของแก๊สโลหะทางซ้ายเป็น

$$e^2 U_L = 2E_{CL}(Q_L + n_{L0} e) + E_{CM}(Q_R + n_{R0} e) \quad (3.6)$$

ในทำนองเดียวกัน ศักย์ไฟฟ้าของแก๊สโลหะทางขวาสามารถเขียนได้ดังสมการ

$$e^2 U_R = 2E_{CR}(Q_R + n_{R0} e) + E_{CM}(Q_L + n_{L0} e) \quad (3.7)$$

โดยค่าคงที่ถูกนิยามดังนี้

$$E_{CL} = \frac{e^2 C_{\Sigma R}}{2(C_{\Sigma L} C_{\Sigma R} - C_M^2)} \quad (3.8a)$$

$$E_{CR} = \frac{e^2 C_{\Sigma L}}{2(C_{\Sigma L} C_{\Sigma R} - C_M^2)} \quad (3.8b)$$

$$E_{CM} = \frac{e^2 C_M}{(C_{\Sigma L} C_{\Sigma R} - C_M^2)} \quad (3.8c)$$

จำนวนประจุในแก๊สโลหะ หมายถึง จำนวนประจุสุทธิที่รอยต่อการหลุดผ่านภายในแก๊สโลหะ ซึ่งเกิดจากการเหนี่ยวนำด้วยแรงดันไฟฟ้าที่ขับเกตและการหลุดผ่านรอยต่อการหลุดผ่านมายังแก๊สโลหะ นอกจากนั้น จำนวนประจุที่รอยต่อการหลุดผ่านภายในแก๊สโลหะทางซ้ายและทางขวา คือ $Q_L = n_L e$ และ $Q_R = n_R e$ ตามลำดับ ดังนั้น ในกรณีที่ 1 เมื่อเลือกtron เคลื่อนที่จากชั้นอร์สไปยังแก๊สโลหะทางซ้าย ผลต่างพลังงานการเพิ่มประจุสามารถคำนวณได้ดังสมการ

$$\Delta E_{C_L}^{n_L \rightarrow n_L-1} = \int_{en_L}^{e(n_L-1)} dQ_L (U_L - V_L) \quad (3.9)$$

จากสมการ (3.6) สามารถจัดให้อยู่ในพจน์ของ U_L และแทนค่าลงในสมการ (3.9) พบว่า

$$\Delta E_{C_L}^{n_L \rightarrow n_L-1} = \int_{en_L}^{e(n_L-1)} dQ_L \left(\frac{2E_{CL}(Q_L + n_{L0} e) + E_{CM}(Q_R + n_{R0} e)}{e^2} - V_L \right) \quad (3.10)$$

เมื่อทำการคำนวณค่าปริพันธ์ (การคำนวณโดยละเอียดแสดงไว้ในภาคผนวก) พบว่า

$$\Delta E_{C_L}^{n_L \rightarrow n_L-1} = 2E_{CL} \left(\frac{1}{2} - n_L - n_{L0} \right) - E_{CM}(n_R + n_{R0}) + eV_L \quad (3.11)$$

ในทำนองเดียวกัน การคำนวณผลต่างพลังงานการเพิ่มประจุ เมื่อเกิดการส่งผ่านอิเล็กตรอน ภายในบีบอิเล็กตรอนเดี่ยวในกรณีที่ 2 - 6 สามารถเขียนเป็นสมการของผลต่างพลังงานการเพิ่มประจุในแต่ละกรณีได้ดังต่อไปนี้

$$\Delta E_C^{n_L \rightarrow n_L+1} = 2E_{CL} \left(\frac{1}{2} + n_L + n_{L0} \right) + E_{CM}(n_R + n_{R0}) - eV_L \quad (3.12)$$

$$\Delta E_C^{n_R \rightarrow n_R-1} = 2E_{CR} \left(\frac{1}{2} - n_R - n_{R0} \right) - E_{CM}(n_L + n_{L0}) + eV_R \quad (3.13)$$

$$\Delta E_C^{n_L \rightarrow n_L-1} = 2E_{CR} \left(\frac{1}{2} + n_R + n_{R0} \right) + E_{CM}(n_L + n_{L0}) - eV_R \quad (3.14)$$

$$\begin{aligned} \Delta E_C^{n_R \rightarrow n_R+1} &= \left[\left(E_{CL}(1+2n_L+2n_{L0}) \right) - \left(E_{CM}\left(\frac{1}{2}+n_L+n_{L0}\right) \right) \right] \\ &\quad + \left[\left(E_{CR}(1-2n_R-2n_{R0}) \right) - \left(E_{CM}\left(\frac{1}{2}-n_R-n_{R0}\right) \right) \right] \end{aligned} \quad (3.15)$$

$$\begin{aligned} \Delta E_C^{n_R \rightarrow n_R-1} &= \left[\left(E_{CL}(1-2n_L-2n_{L0}) \right) - \left(E_{CM}\left(\frac{1}{2}-n_L-n_{L0}\right) \right) \right] \\ &\quad + \left[\left(E_{CR}(1+2n_R+2n_{R0}) \right) - \left(E_{CM}\left(\frac{1}{2}+n_R+n_{R0}\right) \right) \right] \end{aligned} \quad (3.16)$$

การส่งผ่านอิเล็กตรอนจะเกิดขึ้นในลักษณะที่ระดับพลังงานของห้องสองสถานะมีค่าเท่ากัน เช่น กรณีที่ 1 อิเล็กตรอนถูกส่งผ่านจากขั้วซอร์สไปที่เกาโลหะทางชั้ย เมื่อระดับพสังงานของเกาโลหะทางชั้ยเท่ากับระดับพสังงานของขั้วซอร์ส แสดงว่าในสภาวะนี้ไม่มีความแตกต่างของระดับพลังงาน $\Delta E = 0$ ดังนั้น กรณีที่ 1 เมื่อกำหนดให้ $\Delta E_C^{n_R \rightarrow n_R-1} = 0$ แล้วแทนลงในสมการ (3.11) จะพบว่า

$$0 = 2E_{CL} \left(\frac{1}{2} - n_L - n_{L0} \right) - E_{CM}(n_R + n_{R0}) + eV_L \quad (3.17)$$

จากสมการ (3.17) สามารถเขียนให้อยู่ในรูปของสมการเส้นตรง โดยกำหนดให้จำนวนประจุลับที่ถูกเหนี่ยวนำด้วยแรงดันไฟฟ้าที่ขั้วเกตทางขวา (n_{R0}) เป็นพังก์ชันของจำนวนประจุลับที่ถูกเหนี่ยวนำด้วยแรงดันไฟฟ้าที่ขั้วเกตทางซ้าย (n_{L0}) จำนวนประจุที่รอยต่อการหลุดผ่านภายนอกเกาโลหะทางชั้ย (n_L) และจำนวนประจุที่รอยต่อการหลุดผ่านภายนอกเกาโลหะทางขวา (n_R) กล่าวคือ

$$\Delta E_C^{n_R \rightarrow n_R-1} = 0 ; \quad n_{R0} = -\frac{2E_{CL}}{E_{CM}} n_{L0} + \left(\frac{E_{CL}(1-2n_L) - E_{CM}n_R + eV_L}{E_{CM}} \right) \quad (3.18)$$



ในทำนองเดียวกัน สมการ (3.12) - (3.16) เมื่อแทนเงื่อนไข $\Delta E_C = 0$ แล้ว สามารถจัดรูปสมการใหม่ให้ออกในรูปสมการเส้นตรงได้ตามลำดับดังต่อไปนี้

$$\Delta E_C^{\frac{n_L \rightarrow n_L+1}{n_R \rightarrow n_R}} = 0 ; \quad n_{R0} = -\frac{2E_{CL}}{E_{CM}} n_{L0} - \left(\frac{E_{CL}(2n_L + 1) + E_{CM}n_R - eV_L}{E_{CM}} \right) \quad (3.19)$$

$$\Delta E_C^{\frac{n_L \rightarrow n_L-1}{n_R \rightarrow n_R+1}} = 0 ; \quad n_{R0} = -\frac{E_{CM}}{2E_{CR}} n_{L0} + \left(\frac{E_{CR}(1-2n_R) - E_{CM}n_L + eV_R}{2E_{CR}} \right) \quad (3.20)$$

$$\Delta E_C^{\frac{n_L \rightarrow n_L}{n_R \rightarrow n_R+1}} = 0 ; \quad n_{R0} = -\frac{E_{CM}}{2E_{CR}} n_{L0} - \left(\frac{E_{CR}(2n_R + 1) + E_{CM}n_L - eV_R}{2E_{CR}} \right) \quad (3.21)$$

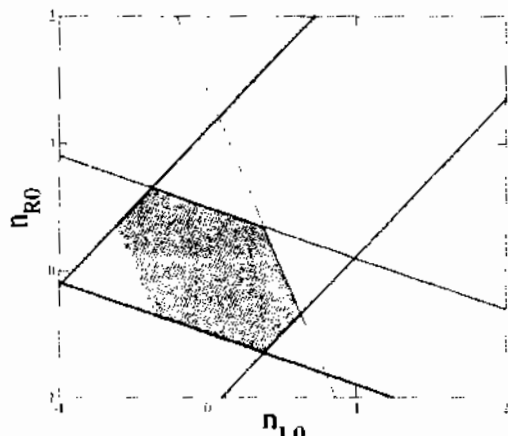
$$\Delta E_C^{\frac{n_L \rightarrow n_L-1}{n_R \rightarrow n_R-1}} = 0 ;$$

$$n_{R0} = \frac{2E_{CL} - E_{CM}}{2E_{CR} - E_{CM}} n_{L0} + \left(\frac{E_{CL}(1+2n_L) + E_{CL}(1-2n_R) + E_{CM}(n_R - n_L - 1)}{2E_{CR} - E_{CM}} \right) \quad (3.22)$$

$$\Delta E_C^{\frac{n_L \rightarrow n_L-1}{n_R \rightarrow n_R-1}} = 0 ;$$

$$n_{R0} = \frac{E_{CM} - 2E_{CL}}{E_{CM} - 2E_{CR}} n_{L0} + \left(\frac{E_{CL}(1-2n_L) + E_{CR}(2n_R + 1) + E_{CM}(n_L - n_R - 1)}{E_{CM} - 2E_{CR}} \right) \quad (3.23)$$

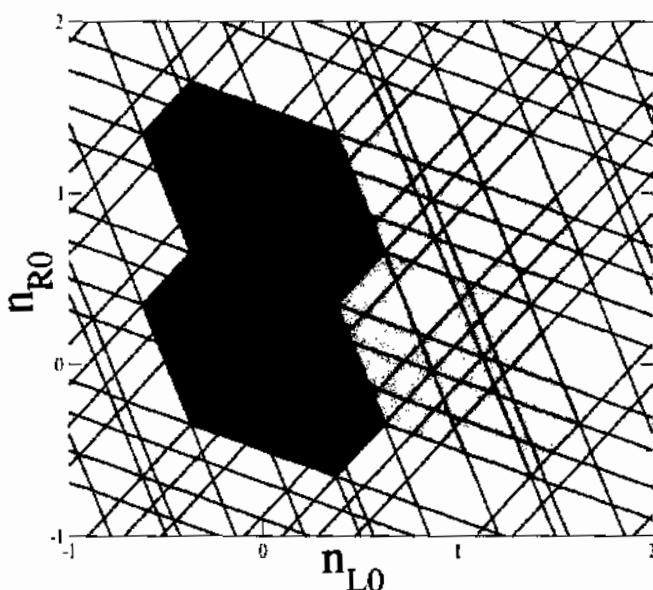
ในสมการ (3.18) - (3.23) ได้แสดงความสัมพันธ์ระหว่างจำนวนประจุลบที่ถูกเหนี่ยวนำด้วยแรงดันไฟฟ้าที่ขึ้นเกตทางขวา (n_{R0}) และจำนวนประจุลบที่ถูกเหนี่ยวนำด้วยแรงดันไฟฟ้าที่ขึ้นเกตทางซ้าย (n_{L0}) ตัวอย่างแผนภาพเสถียรของบีบอีเล็กตรอนเดี่ยวในกรณีที่เกาโลหะทางซ้ายและทางขวาไม่มีสถานะประจุ (n_L, n_R) = (0, 0) แสดงดังภาพประกอบ 3.2



ภาพประกอบ 3.2 แผนภาพเสถียรของบีบอีเล็กตรอนเดี่ยว ซึ่งเป็นกรณีที่ไม่มีประจุลบที่ถูกเหนี่ยวนำในเกาโลหะ

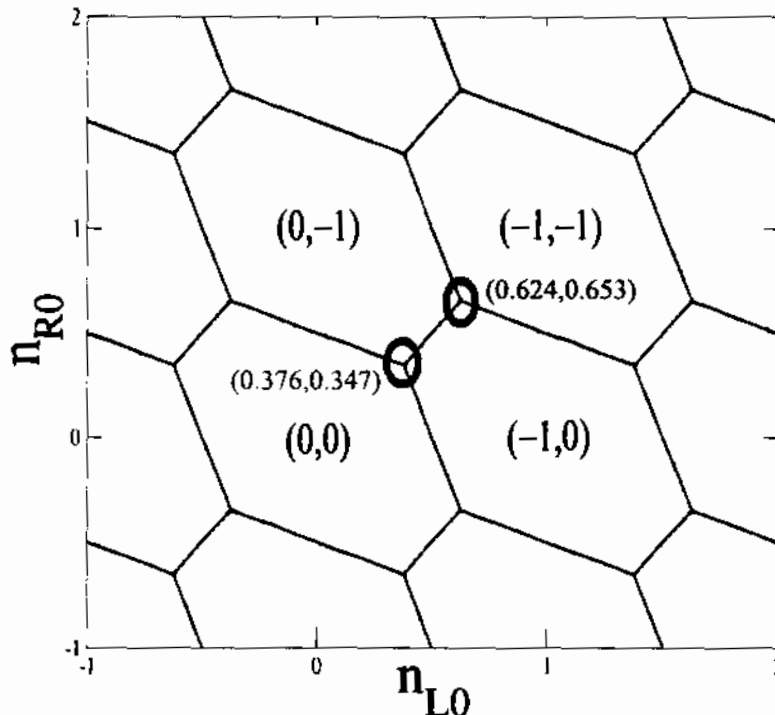
จากภาพประกอบ 3.2 เส้นสีเทา, สีน้ำเงิน, สีแดง, สีดำ, สีน้ำเงินและสีเขียว ได้จากคำนวณสมการ (3.18) - (3.23) และเส้นตรงทั้งหมดตัดกันเป็นรูปหกเหลี่ยมหรือคล้ายกับหนึ่งหน่วยของรังผึ้ง (honeycomb unit) โดยบริเวณสีเทาคือบริเวณที่ค่าแรงดันไฟฟ้าที่ขั้วเกตของปื้มอิเล็กตรอนเดียวมีการเปลี่ยนแปลง แต่อิเล็กตรอนไม่สามารถเคลื่อนที่จากขั้วซอร์สไปในแกะโลหะทางซ้ายหรือเคลื่อนที่จากขั้วเดرنเข้าไปในแกะโลหะทางขวารวมทั้งการเคลื่อนย้ายระหว่างแกะโลหะ ทำให้ปื้มอิเล็กตรอนเดียวสามารถถูกดึงออกจากสถานะได้ จากที่กล่าวมาข้างต้น แสดงการสร้างแผนภาพเสถียรของปื้มอิเล็กตรอนเดียวในกรณีที่เกี่ยวข้องกับสถานะประจุ $(n_L, n_R) = (0, 0)$

ในลำดับต่อไปเป็นการแสดงแผนภาพเสถียรของปื้มอิเล็กตรอนเดียวที่เกี่ยวข้องกับสถานะ $(n_L, n_R) \in \{(1, 1), (1, 0), (1, -1), (1, -2), (0, 1), (0, 0), (0, -1), (0, -2), (-1, 1), (-1, 0), (-1, -1), (-1, -2), (-2, 1), (-2, 0), (-2, -1), (-2, -2)\}$ สามารถแสดงดังภาพประกอบ 3.3



ภาพประกอบ 3.3 แผนภาพเสถียรของปื้มอิเล็กตรอนเดียว ซึ่งอยู่ในกรณีที่ประจุลับเหนี่ยวนำในแกะโลหะมีค่าต่างๆ

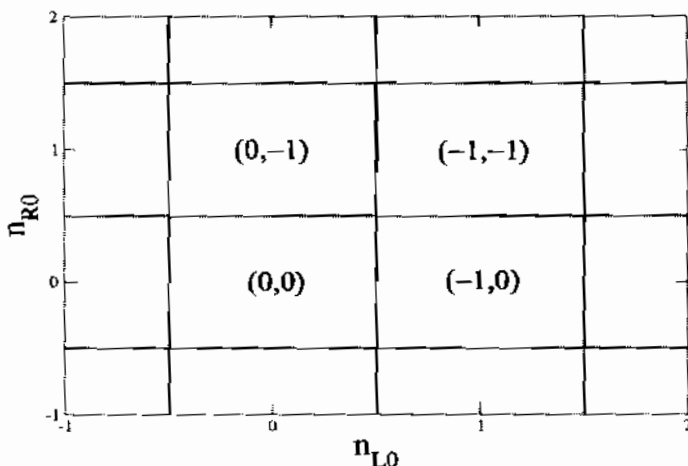
จากภาพประกอบ 3.3 บริเวณพื้นที่สีเทา สีส้ม สีน้ำเงินและสีชมพู เกิดจากการกำหนดให้จำนวนประจุที่รอยต่อการหลุดร่องรอยในแกะโลหะทางซ้ายและทางขวา มีค่าเท่ากับ $(n_L, n_R) = (0, 0), (-1, 0), (0, -1)$ และ $(-1, -1)$ ในสมการ (3.20) - (3.25) ตามลำดับ โดยแต่ละพื้นที่ของเซลล์หกเหลี่ยม คือ ขอบเขตของการให้แรงดันไฟฟ้าที่ขั้วเกตเพื่อควบคุมปื้มอิเล็กตรอนเดียวให้มีเสถียรภาพในแต่ละสถานะ เช่น สถานะ $(n_L, n_R) = (-1, 0)$ (พื้นที่สีส้ม) หมายความว่า ในปื้มอิเล็กตรอนเดียวมีอิเล็กตรอนอยู่ในแกะโลหะทางซ้ายหนึ่งตัว ถ้าเปลี่ยนแปลงแรงดันไฟฟ้าที่ขั้วเกต ภายในบริเวณนี้จะไม่มีอิเล็กตรอนเข้าหรือออกจากระบบ นอกจากนั้น เพื่อให้สามารถสังเกตเห็นอุจจาระเปลพออยที่ได้อย่างชัดเจน ภาพประกอบ 3.3 ถูกแสดงใหม่ดังภาพประกอบ 3.4



ภาพประกอบ 3.4 แผนภาพเสถียรของปั๊มอิเล็กตรอนเดี่ยว

จากภาพประกอบ 3.4 พบร่วมกันในวงกลมสีแดง คือ จุดทริปเปิลพอยท์ซึ่งเป็นจุดเรื่องราวของการปรับแต่งดันไฟฟ้าให้เกิดการส่งผ่านอิเล็กตรอน เมื่อพิจารณาการหมุนวนขั้มนาฬิการอบจุดดังกล่าว ลำดับการส่งผ่านของอิเล็กตรอนจากขั้วซอร์สไปยังขั้วเดрен คือ $(0,0) \rightarrow (-1,0) \rightarrow (0,-1) \rightarrow (0,0)$ ตามลำดับ ในทางตรงกันข้าม พิจารณาการหมุนตามเข็มนาฬิการอบจุดทริปเปิลพอยท์ ลำดับของการส่งผ่านของอิเล็กตรอนจะมีทิศทางจากขั้วเดренไปยังขั้วซอร์ส คือ $(0,0) \rightarrow (0,-1) \rightarrow (-1,0) \rightarrow (0,0)$ จากแผนภาพเสถียรพบว่า จุดทริปเปิลพอยท์ในวงกลมสีแดงและสีน้ำเงินอยู่ที่ตำแหน่ง $(n_{L0}, n_{R0}) = (0.376, 0.347)$ และ $(n_{L0}, n_{R0}) = (0.623, 0.625)$ ตามลำดับ โดยสามารถทำนายตำแหน่งของค่าความนำไฟฟ้าสูงสุดที่ค่า $n_x = 0.723$ และ $n_x = 1.277$ ซึ่งสอดคล้องกับผลการทดลองของลิมบัชและคณะ [7] จากที่ได้กล่าวมาข้างต้น พบร่วม ปั๊มอิเล็กตรอนเดี่ยวเป็นอุปกรณ์ที่สามารถควบคุมอิเล็กตรอนให้สามารถเคลื่อนที่จากขั้วซอร์สไปยังขั้วเดренและสามารถควบคุมให้อิเล็กตรอนเคลื่อนที่จากขั้วเดренกลับมายังขั้วซอร์สได้ จากคุณสมบัติดังกล่าวอุปกรณ์นี้ถูกเรียกว่า ปั๊มอิเล็กตรอนเดี่ยว นอกจากนี้ เมื่อพิจารณาการเปลี่ยนสถานะจาก $(0,0)$ ไปสถานะ $(-1,-1)$ จากแผนภาพเสถียร พบร่วม ต้องใช้พลังงานสำหรับการเปลี่ยนสถานะจาก $(0,0)$ ไปสถานะ $(-1,-1)$ โดยต้องผ่านสถานะ $(-1,0)$ หรือสถานะ $(0,-1)$ ซึ่งแสดงลักษณะเฉพาะของปั๊มอิเล็กตรอนเดี่ยวที่เกิดจากกระบวนการกันของฟังก์ชันคลื่นของอิเล็กตรอนในแกะโลหะทั้งสอง กล่าวคือ ในภาพประกอบ 2.10 (b) แสดงแผนภาพระดับพลังงานของปั๊มอิเล็กตรอนเดี่ยวในกรณีที่จ่ายแรงดันไฟฟ้าที่ขั้วเกตทั้งสองขั้วอย่างเหมือนสม ส่งผลให้ระดับพลังงานของแกะโลหะลดลงมากอยู่ในระดับที่ใกล้เคียงกับระดับพลังงานที่ขั้ว

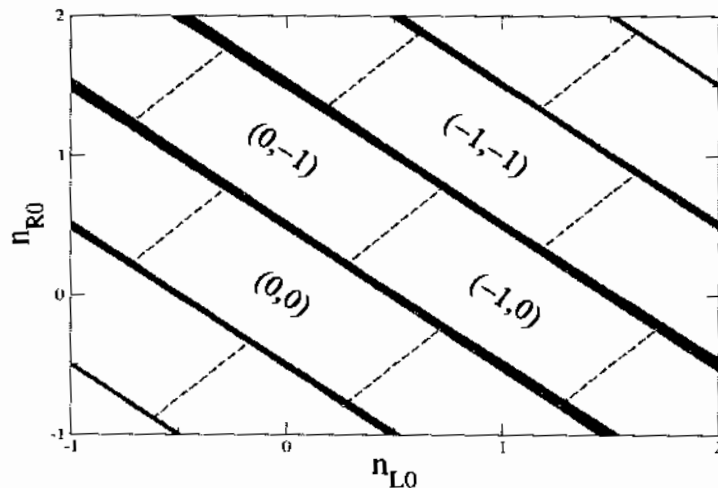
ชอร์สและขั้วเดرن จุดทำงานของปีมอเล็กตรอนเดี่ยวในสภาพนี้ภายในแผนภาพเสถียร คือ จุดทริปเปิล พอยท์ ในปีมอเล็กตรอนเดี่ยวมีระยะห่างระหว่างเกาโลหะทั้งสองอยู่ในระยะที่อิเล็กตรอนสามารถมีอันตรกิริยาต่อกันได้ ดังนั้น เมื่ออิเล็กตรอนจากขั้วชอร์สเข้าครอบครองสถานะว่างของเกาโลหะทางซ้าย จะทำให้เกิดการรบกวนระดับพลังงานว่างของเกาโลหะทางขวา ซึ่งระดับพลังงานดังกล่าวจะเกิดการเปลี่ยนแปลงเพียงเล็กน้อย แต่อิเล็กตรอนจากขั้วเดรนจะยังไม่สามารถเข้าครอบครองสถานะว่างนี้ได้ เนื่องจากอิเล็กตรอนที่อยู่ในเกาโลหะทางซ้ายจะสามารถแผ่สนามของแรง คูลومบ์ไปยังบริเวณภายนอกในเกาโลหะทางขวา จึงทำให้อิเล็กตรอนจากขั้วเดรนถูกหลักกันไว้เข้ามาครอบครองสถานะว่างของเกาโลหะทางขวาได้ ทำให้เกิดปรากฏการณ์การขัดขวางแบบคูลอมบ์ ถ้าต้องการให้อิเล็กตรอนจากขั้วเดรนเข้ามาในเกาโลหะทางขวาต้องจ่ายแรงดันไฟฟ้าเพิ่มขึ้นเพื่อชดเชยผลของแรงคูลومบ์ของอิเล็กตรอนในเกาโลหะทางซ้าย ซึ่งจะทำให้สามารถจำกัดขอบเขตของสนามที่เกิดขึ้นให้อยู่ภายนอกในเกาโลหะทางซ้าย ดังนั้น ในสภาพนี้แรงคูลومบ์จะไม่สามารถส่งผลถึงเกาโลหะทางขวาและทำให้อิเล็กตรอนจากขั้วเดรนสามารถพุ่งเข้ามาในเกาโลหะทางขวาได้ สถานะของปีมอเล็กตรอนเดี่ยวภายในแผนภาพเสถียรจะอยู่ที่สถานะ $(-1, -1)$



ภาพประกอบ 3.5 แผนภาพเสถียรของปีมอเล็กตรอนเดี่ยว ในกรณีที่ $C_M \approx 0$

จากที่กล่าวมาข้างต้น การสร้างแผนภาพเสถียรของปีมอเล็กตรอนเดี่ยวใช้สมการเส้นตรง 6 สมการ ซึ่งมีพจน์ E_{cm} ปรากฏอยู่ในทุกสมการ เมื่อ E_{cm} คือ พลังงานที่เชื่อมโยงระหว่างเกาโลหะซึ่งเปลี่ยนแปลงตามค่า C_M แสดงว่า เส้นตรงทุกเส้นในแผนภาพเสถียรอาจจะได้รับผลจากการรบกวนกันระหว่างเกาโลหะทั้งสอง ดังนั้น เพื่อศึกษาผลลัพธ์ของการรบกวนกันระหว่างเกาโลหะทั้งสองต้องแผนภาพเสถียร จึงได้สร้างแผนภาพเสถียรของปีมอเล็กตรอนเดี่ยว โดยการพิจารณาค่า C_M เป็นกรณีต่างๆ ดังนี้ กรณีที่ปีมอเล็กตรอนเดี่ยวในสภาพที่ค่า $C_M \approx 0$ ดังภาพประกอบ 3.5 ในกรณีนี้ระบบมีลักษณะคล้ายกับตัวเก็บประจุแบบแผ่นคู่ขนาน (parallel plates) จากความสัมพันธ์ระหว่างค่าความจุไฟฟ้า (C) กับระยะห่างระหว่างแผ่นคู่ขนานของตัวเก็บประจุแทนด้วยพารามิเตอร์ d พบว่า ค่าความ

จุฬาฯ ได้พิสูจน์ว่า ถ้าค่า $C \propto d^{-1}$ ดังนั้น ถ้าค่า C_M ที่ต้องการห่างระหว่างผู้บุกรุกและผู้รับไม่เกิดการเชื่อมโยงกัน (decoupled) จากรากของสมการ (3.9) ทำให้ E_{CM} มีค่าประมาณศูนย์ส่งผลให้แผนภาพเส้นยิริมีการเปลี่ยนแปลงจนทำให้รูปทรงเหลี่ยมกลาโหมเป็นรูปสี่เหลี่ยมดังที่แสดงในภาพประกอบ 3.4 รวมกันเป็นจุดเดียวทำให้สามารถเปลี่ยนสถานะ $(0,0)$ เป็นสถานะ $(-1,-1)$ ได้โดยตรงไม่ต้องผ่านสถานะ $(-1,0)$ หรือ $(0,-1)$ เนื่องจากภาวะโลหะทั้งสองถูกแยกออกจากกันจนทำให้อิเล็กตรอนในภาวะโลหะทั้งสองไม่สามารถแผ่สนามคูลอมบ์รบกวนกันได้ อิเล็กตรอนจากชั้นซอร์สที่หลบผ่านเข้าไปในภาวะโลหะทางซ้ายจะไม่สามารถส่งผลกระทบกับไฟฟ้าในภาวะโลหะทางขวาได้ ทำให้อิเล็กตรอนจากชั้นเดรนสามารถหลบผ่านเข้ามาในภาวะโลหะทางขวาพร้อมกันได้



ภาพประกอบ 3.6 แผนภาพเส้นยิริมีอิเล็กตรอนเดียวในกรณีที่ C_M มีค่าเพิ่มขึ้นเป็น 100 เท่า โดยเส้นตรงตัดกันเป็นรูปทรงสี่เหลี่ยมด้านข้าง

เมื่อพิจารณากรณี C_M มีค่าเพิ่มขึ้นเป็น 100 เท่าของ C_M ในภาพประกอบ 3.4 และพิจารณาว่าระบบมีลักษณะคล้ายกับตัวเก็บประจุแบบผ่านคู่ขนาน ในกรณีที่ C_M มีค่าเพิ่มขึ้น ตามหลักการทำงานพิสิกส์เป็นผลจากการสร้างให้ระยะห่างระหว่างภาวะโลหะมีค่าลดลงจนถึงระยะที่พังก์ชันคลีนในภาวะโลหะทางซ้ายสามารถแผ่เข้าไปในภาวะโลหะทางขวาโดยไม่เกิดการลดตอนของพังก์ชันคลีน ในกรณีนี้พังก์ชันคลีนในภาวะโลหะทั้งสองจะพิจารณาว่าเหมือนเป็นพังก์ชันคลีนเดียวกันและสามารถกล่าวได้ว่าภาวะโลหะทั้งสองเสมือนเป็นภาวะโลหะเดียวกัน เมื่อค่า C_M เพิ่มขึ้นทำให้ E_{CM} มีค่าเพิ่มขึ้นล่วงผลให้จุดทริปเปิลพอยท์ที่อยู่ในวงกลมสีแดงและวงกลมสีน้ำเงินในภาพประกอบ 3.4 จะแยกออกจากกันมากขึ้นทำให้บริเวณหนาเหลี่ยมในภาพประกอบ 3.4 กลายบริเวณสี่เหลี่ยมด้านข้างแสดงในภาพประกอบ

3.6 เมื่อพิจารณาการเปลี่ยนสถานะจาก $(0,0)$ เป็นสถานะ $(-1,-1)$ พบร้า ในสภาวะนี้ ปั๊มอิเล็กตรอนเดียวสามารถเปลี่ยนสถานะจาก $(0,0)$ เป็นสถานะ $(-1,-1)$ ได้ แต่ต้องผ่านสถานะ $(-1,0)$ หรือ $(0,-1)$ และปั๊มอิเล็กตรอนเดียวในสภาวะนี้ต้องใช้พลังงานอย่างมากในการขาดเชยสนาม ของแรงคูลومบ์ที่เกิดขึ้นจากอิเล็กตรอนที่เข้าไปอยู่ในเกาโลหะ ทำให้ระยะห่างระหว่างสถานะ $(0,0)$ และ $(-1,-1)$ มีค่าเพิ่มขึ้น โดยแผนภาพเสถียรของปั๊มอิเล็กตรอนเดียวในกรณีนี้มีลักษณะคล้ายกับ แผนภาพเสถียรของทรานซิสเตอร์อิเล็กตรอนเดียว [6] จากการพิสูจน์ทั้ง 2 กรณีที่ผ่านมา สามารถสรุป ได้ว่า การรบกวนกันของฟังก์ชันคลื่นของอิเล็กตรอนในเกาโลหะทั้งสองส่งผลต่อรูปร่างของแผนภาพ เสถียรของปั๊มอิเล็กตรอนเดียว

3.2 แผนภาพเสถียรในระบบของแรงดันไฟฟ้า

เพื่อให้สอดคล้องกับการทดลองของลิมบัชและคณ [7] ในหัวข้อนี้จึงได้แสดงแผนภาพเสถียรที่ สร้างให้อยู่ในระบบของแรงดันไฟฟ้าที่ข้าวเกตทางซ้าย (V_1) และข้าวเกตทางขวา (V_2) การสร้าง แผนภาพเสถียรในกรณีสามารถสร้างได้จากการพิจารณาการส่งผ่านของอิเล็กตรอนทั้ง 6 กรณี ดังที่ กล่าวไว้ในหัวข้อ 3.1 เพื่อให้เข้าใจวิธีการคำนวณสมการที่ใช้สร้างแผนภาพเสถียรในระบบของ แรงดันไฟฟ้าที่ข้าวเกตทั้งสอง ได้ยกตัวอย่างวิธีการคำนวณในกรณีที่ 1 ซึ่งในกรณีดังกล่าว อิเล็กตรอน เคลื่อนที่จากข้าวซอร์สไปยังเกาโลหะทางซ้ายทำให้สถานะประจุเปลี่ยนจาก $(n_L, n_R) \rightarrow (n_L - 1, n_R)$ จากสมการผลเฉลยกรณีที่ 1 ในสมการ (3.11)

$$\Delta E_C^{\frac{n_L \rightarrow n_L - 1}{n_R \rightarrow n_R}} = 2E_{C_L} \left(\frac{1}{2} - n_L - n_{L0} \right) - E_{CM}(n_R + n_{R0}) + eV_L$$

เมื่อแทนเงื่อนไขของการส่งผ่านอิเล็กตรอน $\Delta E_C^{\frac{n_L \rightarrow n_L - 1}{n_R \rightarrow n_R}} = 0$ พบร้า

$$0 = E_{C_L}(1 - 2n_L - 2n_{R0}) - E_{CM}(n_R + n_{R0}) + eV_L \quad (3.24)$$

โดยตัวแปร n_{R0} และ n_{L0} ถูกแสดงในรูปของตัวเก็บประจุและแรงดันไฟฟ้าได้ดังสมการ

$$n_{L0} = (C_L V_L + C_{1L} V_1 + C_{2L} V_2) / e \quad (3.25a)$$

$$n_{R0} = (C_R V_R + C_{1R} V_1 + C_{2R} V_2) / e \quad (3.25b)$$

กรณีนี้ กำหนดให้ระบบได้รับแรงดันไฟฟ้าจากภายนอกผ่านข้าวเกตเพียงสองข้าว (V_1, V_2) เท่านั้น ดังนั้น ค่าแรงดันไฟฟ้าที่ข้าวซอร์สและข้าวเดرن (V_L, V_R) ถูกกำหนดให้มีค่าเท่ากับศูนย์และ C_{1R} และ C_{2L} เป็นค่าความจุไฟฟ้าที่เกิดขึ้นเอง จากแรงดันดังคร้อมระหว่างข้าวเกตทางซ้ายกับเกาโลหะทางขวา และข้าวเกตทางขวากับเกาโลหะทางซ้าย โดยทั่วไป C_{1R} และ C_{2L} มีค่าน้อยมากทำให้สามารถ ประมาณว่ามีค่าเท่ากับศูนย์ ดังนั้น สมการ (3.25a) และ (3.25b) จึงสามารถลดรูปได้ดังสมการ

$$n_{L0} = \frac{C_{1L}V_1}{e} \quad (3.26)$$

$$n_{R0} = \frac{C_{2R}V_2}{e} \quad (3.27)$$

เมื่อนำสมการ (3.26) และ (3.27) แทนลงในสมการ (3.24) และจัดรูปให้เป็นสมการเส้นตรง โดยกำหนดให้แรงดันไฟฟ้าที่ขั้วเกตทางขวา (V_2) เป็นพังก์ชันของแรงดันไฟฟ้าที่ขั้วเกตทางซ้าย (V_1) พบว่า

$$\Delta E_C^{\frac{n_L \rightarrow n_L-1}{n_R \rightarrow n_R+1}} = 0 ; \quad V_2 = -\frac{2C_{1L}E_{CL}}{C_{2R}E_{CM}}V_1 + \left(\frac{E_{CL}(1-2n_L)-E_{CM}n_R}{C_{2R}E_{CM}} \right)e \quad (3.28)$$

การคำนวณในทำนองเดียวกัน กรณีที่ 2 - 6 สามารถจัดให้ออยู่ในสมการเส้นตรงได้ดังนี้

$$\Delta E_C^{\frac{n_L \rightarrow n_L+1}{n_R \rightarrow n_R-1}} = 0 ; \quad V_2 = -\frac{2C_{1L}E_{CL}}{C_{2R}E_{CM}}V_1 - \left(\frac{E_{CL}(1+2n_L)+E_{CM}n_R}{C_{2R}E_{CM}} \right)e \quad (3.29)$$

$$\Delta E_C^{\frac{n_L \rightarrow n_L}{n_R \rightarrow n_R-1}} = 0 ; \quad V_2 = -\frac{C_{1L}E_{CM}}{2C_{2R}E_{CR}}V_1 + \left(\frac{E_{CR}(1-2n_R)-E_{CM}n_L}{2C_{2R}E_{CR}} \right)e \quad (3.30)$$

$$\Delta E_C^{\frac{n_L \rightarrow n_L+1}{n_R \rightarrow n_R+1}} = 0 ; \quad V_2 = -\frac{C_{1L}E_{CM}}{2C_{2R}E_{CR}}V_1 - \left(\frac{E_{CR}(1+2n_R)+n_L E_{CM}}{2C_{2R}E_{CR}} \right)e \quad (3.31)$$

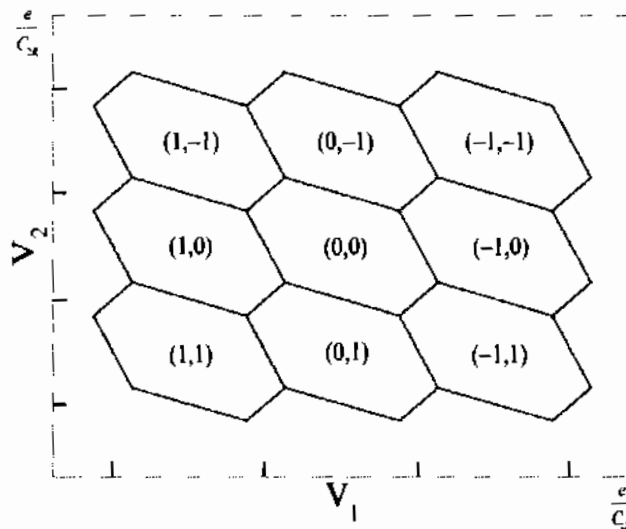
$$\Delta E_C^{\frac{n_L \rightarrow n_L+1}{n_R \rightarrow n_R-1}} = 0 ;$$

$$V_2 = \frac{C_{1L}(2E_{CL}-E_{CM})}{C_{2R}(2E_{CR}-E_{CM})}V_1 + \left(\frac{E_{CL}(1+2n_L)+E_{CR}(1-2n_R)+E_{CM}(n_R-n_L-1)}{C_{2R}(2E_{CR}-E_{CM})} \right)e \quad (3.32)$$

$$\Delta E_C^{\frac{n_L \rightarrow n_L-1}{n_R \rightarrow n_R+1}} = 0 ;$$

$$V_2 = \frac{C_{1L}(E_{CM}-2E_{CL})}{C_{2R}(E_{CM}-2E_{CR})}V_1 + \left(\frac{E_{CL}(1-2n_L)+E_{CR}(1+2n_R)+E_{CM}(n_L-n_R-1)}{C_{2R}(E_{CM}-2E_{CR})} \right)e \quad (3.33)$$

สมการ (3.28) - (3.33) แสดงความสัมพันธ์ระหว่างแรงดันไฟฟ้าที่ขั้วเกตทางซ้าย (V_1) และ ค่าแรงดันไฟฟ้าที่ขั้วเกตทางขวา (V_2) เมื่อใช้สมการตั้งกล่าวสร้างแผนภาพเสถียรในระบบของค่าแรงดันไฟฟ้าที่ขั้วเกตทางซ้ายและทางขวา (V_1, V_2) โดยสามารถสร้างแผนภาพเสถียรของปั๊มอิเล็กตรอนเดี่ยวที่เกี่ยวข้องกับสถานะ $(n_L, n_R) \in \{(1, -1), (1, 0), (1, 1), (0, -1), (0, 0), (0, 1), (-1, -1), (-1, 0), (-1, 1)\}$ ดังแสดงในภาพประกอบ 3.7



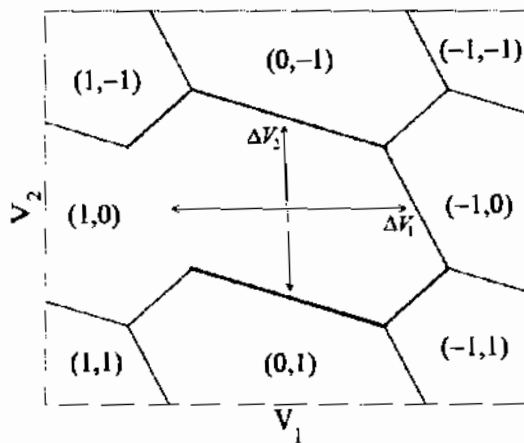
ภาพประกอบ 3.7 แผนภาพเสถียรของบีมอิเล็กตรอนเดี่ยวในระบบ V_1 และ V_2

ภาพประกอบ 3.7 พบว่า บริเวณภายในพื้นที่หกเหลี่ยมเป็นเงื่อนไขของการให้แรงดันไฟฟ้าที่ขั้วเกตทางซ้าย V_1 และขั้วเกตทางขวา V_2 เพื่อควบคุมให้บีมอิเล็กตรอนเดี่ยวมีเสถียรภาพสามารถกักเก็บอิเล็กตรอนในสถานะต่างๆ เช่น สถานะ $(-1, -1)$ เมื่อจ่ายแรงดันไฟฟ้าที่ขั้วเกตทั้งสองข้างให้มีค่าภายในบริเวณพื้นที่หกเหลี่ยมนี้ บีมอิเล็กตรอนเดี่ยวจะสามารถควบคุมอิเล็กตรอนให้คงอยู่ในเก้าโลหะทั้งสองได้และอิเล็กตรอนจากขั้วซอร์สและขั้วเดرنจะไม่สามารถเข้ามาในเก้าโลหะได้

ในลำดับต่อไปให้พิจารณาถึงขอบเขตของแผนภาพเสถียรของบีมอิเล็กตรอนเดี่ยวสามารถแยกได้ออกเป็นสองกรณี ดังนี้

3.2.1 พิจารณาขอบเขตของแกน V_1

ในการพิจารณาช่วงของแรงดันไฟฟ้าบนแผนภาพเสถียร เพื่อความสะดวกต่อการคำนวณได้พิจารณาในกรณีเซลล์หกเหลี่ยมของสถานะประจุ $(0, 0)$



ภาพประกอบ 3.8 แผนภาพเสถียรของบีมอิเล็กตรอนเดี่ยวกรณีของสถานะประจุ $(0, 0)$

จากภาพประกอบ 3.8 พิจารณาเส้นตรงสีแดง คือ ช่วงการจ่ายแรงดันไฟฟ้าที่ทำให้อิเล็กตรอนสามารถเข้ามาในเกาโลหะทางข่ายหนึ่งตัว จากสมการ (3.28)

$$V_2 = -\frac{2C_{1L}E_{CL}}{C_{2R}E_{CM}}V_1 + \left(\frac{(1-2n_L)E_{CL} - E_{CM}n_R}{C_{2R}E_{CM}} \right)e$$

ในกรณี $(n_L, n_R) = (0, 0)$ สามารถจัดให้อยู่ในรูปแบบอย่างง่าย

$$V_2 = -\frac{2C_{1L}E_{CL}}{C_{2R}E_{CM}}V_1 + \frac{E_{CL}}{C_{2R}E_{CM}}e \quad (3.34)$$

เพื่อคำนวณหาจุดตัดแกน V_1 จึงต้องกำหนดให้ $V_2 = 0$ จากนั้นนำไปแทนในสมการ (3.34) พบว่า

$$V_1 = \frac{e}{2C_{1L}} \quad (3.35)$$

ในทำนองเดียวกัน เส้นสีเหลืองซึ่งเป็นช่วงของการให้แรงดันไฟฟ้าที่ทำให้อิเล็กตรอนออกจากเกาโลหะทางข่ายหนึ่งตัวซึ่งมาจากสมการ (3.29) สามารถคำนวณหาจุดตัดแกน V_1 ได้ดังนี้

$$V_1 = -\frac{e}{2C_{1L}} \quad (3.36)$$

ดังนั้น จากสมการ (3.35) และ (3.36) จึงสามารถใช้กำหนดช่วงของแรงดันไฟฟ้าจากขั้วเกตทางข่ายซึ่งสามารถควบคุมอิเล็กตรอนในเกาโลหะทางข่ายให้มีจำนวนคงที่ นั่นคือ

$$-\frac{e}{C_{1L}} < V_1 < \frac{e}{C_{1L}} \quad (3.37)$$

3.2.2 พิจารณาขอบเขตของแกน V_2

จากภาพประกอบ 3.8 พิจารณาเส้นตรงสีน้ำเงิน คือ ช่วงของการให้แรงดันไฟฟ้าจากขั้วเกตทางขวาเพื่อทำให้อิเล็กตรอนสามารถเข้ามาในเกาโลหะทางขวาหนึ่งตัว โดยคำนวณได้จากสมการ (3.30)

$$V_2 = -\frac{C_{1L}E_{CM}}{2C_{2R}E_{CR}}V_1 + \left(\frac{(E_{CR}(1-2n_R) - n_L E_{CM})}{2C_{2R}E_{CR}} \right)e$$

พิจารณาในกรณี $(n_L, n_R) = (0, 0)$ พบว่า

$$V_2 = -\frac{C_{1L}E_{CM}}{2C_{2R}E_{CR}}V_1 + \frac{E_{CR}}{2C_{2R}E_{CR}}e \quad (3.38)$$

เพื่อคำนวณหาจุดตัดแกน V_1 จึงกำหนดให้ $V_2 = 0$ และแทนลงในสมการ (3.38) พบว่า

$$V_1 = \frac{e}{2C_{2R}} \quad (3.39)$$

ในท่านองเดียวกัน เส้นเขียวเป็นช่วงของการให้แรงดันไฟฟ้าที่ทำให้อิเล็กตรอนออกจากเกาโลหะ ทางขวาหนึ่งตัวซึ่งได้จากสมการ (3.31) สามารถคำนวณหาจุดตัดแกน V_2 ได้ดังนี้

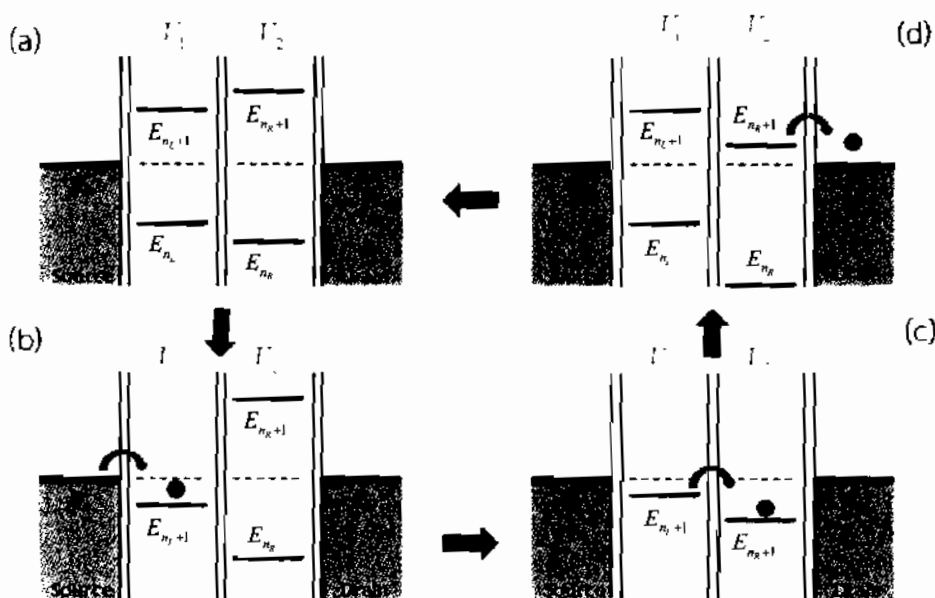
$$V_2 = -\frac{e}{2C_{2R}} \quad (3.40)$$

จากสมการ (3.39) และ (3.40) สามารถคำนวณหาช่วงของแรงดันไฟฟ้าจากขั้วเกตทางขวาเพื่อควบคุม อิเล็กตรอนในเกาโลหะทางขวาให้มีจำนวนคงที่ ดังสมการ

$$-\frac{e}{C_{2R}} < V_2 < \frac{e}{C_{2R}} \quad (3.41)$$

3.2.3 แผนภาพการส่งผ่านของอิเล็กตรอนในปั๊มอิเล็กตรอนเดี่ยว

เพื่อให้เกิดความเข้าใจเกี่ยวกับการส่งผ่านของอิเล็กตรอนมากขึ้น ในลำดับต่อไปจึงได้แสดง แผนภาพการล่งผ่านของอิเล็กตรอนที่ได้จากการวิเคราะห์แผนภาพสถิติของปั๊มอิเล็กตรอนเดี่ยว ซึ่ง แสดงดังภาพประกอบ 3.9



ภาพประกอบ 3.9 แผนภาพการส่งผ่านอิเล็กตรอนของปั๊มอิเล็กตรอนเดี่ยวเมื่อมีการเปลี่ยนแปลงแรงดันไฟฟ้าที่ขั้วเกตทางซ้ายและขวา (a) สถานะที่ไม่จ่ายแรงดันไฟฟ้า ($V_1 = V_2 = 0$) (b) สถานะที่จ่ายแรงดันไฟฟ้าที่ขั้วเกตทางซ้าย ($V_1 > V_2 = 0$) (c) สถานะที่จ่ายแรงดันไฟฟ้าที่ขั้วเกตทางขวา และลดแรงดันไฟฟ้าขั้วเกตทางซ้าย ($V_2 > V_1 > 0$) และ (d) สถานะที่ลดแรงดันไฟฟ้าที่ขั้วเกตทางขวา และปรับแรงดันไฟฟ้าที่ขั้วเกตทางซ้ายให้กลับไปสถานะเริ่มต้น ($V_2 > V_1 = 0$) ทำให้เกิดการส่งผ่านของอิเล็กตรอนจากขั้วซอร์สไปยังขั้วเดرن

จากภาพประกอบ 3.9 (a) ซึ่งเป็นกรณีที่ข้าゲตทั้งสองข้างไม่ได้รับแรงดันไฟฟ้าจากภายนอก ทำให้ระดับพลังงานที่ว่างภายในเกาไลหะทั้งสองอยู่สูงกว่าระดับพลังงานของอิเล็กตรอนที่ข้าชอร์สและข้าเดรน โดยอิเล็กตรอนจะหลบผ่านกำแพงศักย์จึงมีค่าน้อย ดังนั้น อิเล็กตรอนจึงไม่สามารถหลบอุเข้าไปในเกาไลหะได้ จุดทำงานของปั๊มอิเล็กตรอนเดียวจะได้รับแรงดันไฟฟ้าที่ข้าเกตทางข้างทำให้ระดับพลังงานว่างของเกาไลหะทางด้านซ้ายลดต่ำกว่าระดับพลังงานของอิเล็กตรอนที่ข้าชอร์ส ทำให้อิเล็กตรอนสามารถหลบผ่านไปยังเกาไลหะทางซ้ายได้หนึ่งด้า ซึ่งกรณีนี้ ปั๊มอิเล็กตรอนเดียวจะอยู่ในสถานะ (-1,0) ภายในแผนภาพเสถียร

เมื่อจ่ายแรงดันไฟฟ้าให้ข้าเกตทางขวาจะทำให้ระดับพลังงานว่างของเกาไลหะทางขวาลดต่ำลง ในขณะเดียวกัน เมื่อลดแรงดันไฟฟ้าที่ข้าเกตซ้ายจะทำให้ระดับพลังงานว่างของเกาไลหะทางซ้ายสูงขึ้น เมื่อระดับพลังงานว่างของเกาไลหะทางซ้ายซึ่งมีอิเล็กตรอนอยู่หนึ่งตัวอยู่ต่ำกว่าระดับพลังงานของอิเล็กตรอนที่ข้าชอร์ส แต่มีค่าสูงกว่าระดับพลังงานว่างของเกาไลหะทางขวา ในสภาวะนี้ อิเล็กตรอนสามารถเคลื่อนจากเกาไลหะทางซ้ายไปยังเกาไลหะทางขวาดังภาพประกอบ 3.9 (c) ปั๊มอิเล็กตรอนเดียวในกรณีนี้จะอยู่ที่สถานะ (0,-1)

เมื่อลดแรงดันไฟฟ้าที่ข้าเกตทางขวาทำให้ระดับพลังงานว่างของเกาไลหะทางขวาเพิ่มขึ้นอยู่ในระดับที่สูงกว่าระดับพลังงานของข้าเดรน ในขณะที่แรงดันไฟฟ้าที่ข้าเกตทางซ้ายมีค่าเท่ากับ 0 V ดังแสดงในภาพประกอบ 3.9 (d) สภาวะนี้อิเล็กตรอนจะเคลื่อนที่จากเกาไลหะทางขวาไปยังข้าเดรน โดยกำแพงศักย์จากเกาไลหะทางซ้ายจะป้องกันไม่ให้อิเล็กตรอนไหลย้อนกลับไปยังเกาไลหะทางซ้าย ในกรณีนี้สถานะของปั๊มอิเล็กตรอนเดียวในแผนภาพเสถียร คือ (0,0)

การพิจารณาการส่งผ่านของอิเล็กตรอนจากข้าเดรนไปยังข้าชอร์ส พบร้า มีลักษณะการทำงานของปั๊มอิเล็กตรอนเดียวคล้ายกับการส่งผ่านจากข้าชอร์สไปยังข้าเดรน แต่มีลำดับในการเปลี่ยนแปลงแรงดันไฟฟ้าที่ข้าเกตทั้งสองย้อนกลับ โดยเริ่มจากการเพิ่มแรงดันไฟฟ้าเข้าไปที่ข้าเกตทางขวา ดังภาพประกอบ 3.9 (d) จากนั้นย้อนไปภาพประกอบ 3.9 (c) (b) และ (a) ตามลำดับ แม้ว่าแผนภาพเสถียรของปั๊มอิเล็กตรอนเดียวจะอธิบายวัฏจักรการทำงานของปั๊มอิเล็กตรอนเดียวบนแนวคิดทางฟิสิกส์แบบฉบับ แต่แผนภาพที่ได้สามารถทำนายตำแหน่งของค่าความนำไฟฟ้าสูงสุดของ ปั๊มอิเล็กตรอนเดียว ซึ่งเป็นอุปกรณ์ที่ทำงานด้วยหลักการทางควอนตัมได้ โดยการหาตำแหน่งของค่าความนำไฟฟ้าสูงสุดของปั๊มอิเล็กตรอนเดียวจะถูกแสดงรายละเอียดการคำนวณในบทที่ 5

บทที่ 4

พัฒนาการเพิ่มประสิทธิภาพของปั๊มอิเล็กตรอนเดี่ยว

จากหัวข้อ 2.1 ที่ได้แสดงให้เห็นว่า พัฒนาการเพิ่มประสิทธิภาพเป็นพารามิเตอร์ที่มีความสำคัญในการแสดงความเด่นชัดของปรากฏการณ์การตัดขาดแรงดันคูลอมบ์ โดยได้แสดงตัวอย่างการคำนวณค่าพัฒนาการเพิ่มประสิทธิภาพของกล่องอิเล็กตรอนเดี่ยว ในบทนี้จะนำเสนอนิยามและวิธีการคำนวณค่าพัฒนาการเพิ่มประสิทธิภาพของปั๊มอิเล็กตรอนเดี่ยว ด้วยวิธีการคำนวณด้วยมอนติคาร์โล ซึ่งอุปกรณ์ดังกล่าวมีความซับซ้อนมากกว่ากล่องอิเล็กตรอนเดี่ยว โดยในหัวข้อแรกได้ทำการเขียนสมการของค่าแอ็กชันให้อยู่ในรูปแบบที่เหมาะสมสำหรับการประมวลผลด้วยวิธีการคำนวณด้วยมอนติคาร์โล ส่วนในหัวข้อ 4.2 ได้เสนอ尼ยามและวิธีการคำนวณค่าพัฒนาการเพิ่มประสิทธิภาพของปั๊มอิเล็กตรอนเดี่ยว และในหัวข้อ 4.3 ได้แสดงผลการคำนวณและอภิปรายผล

4.1 แอ็กชันยังผลสำหรับการคำนวณด้วยวิธีการคำนวณด้วยมอนติคาร์โล

ในการคำนวณพัฒนาการเพิ่มประสิทธิภาพและค่าคอร์ริเดชันฟังก์ชันด้วยวิธีการคำนวณด้วยมอนติคาร์โล สามารถทำได้โดยการพิจารณาค่าแอ็กชันของปั๊มอิเล็กตรอนเดี่ยว [19]

$$S[\Phi(\tau)] = S_C[\Phi(\tau)] + S_{nm}[\Phi(\tau)] \quad (4.1)$$

โดยค่าคูลอมบ์แอ็กชันเป็นไปตามสมการ

$$S_C[\Phi(\tau)] = \int_0^\beta \frac{1}{4} d\tau (\Phi \tilde{\mathbf{E}}^{-1} \dot{\Phi}^T + i \mathbf{n}_g \Phi^T) \quad (4.2)$$

เมื่อเมทริกซ์ $\Phi(\tau) = (\varphi_L(\tau), \varphi_R(\tau))$ และ $\mathbf{n}_g = (n_{L0}, n_{R0})$ โดยที่

$$n_{i0} = \frac{C_i V_i}{e} + \frac{C_M V_1}{e} + \frac{C_R V_2}{e} \quad ; \quad i \in \{L, R\} \quad (4.3)$$

และเมทริกซ์

$$\tilde{\mathbf{E}} = \begin{pmatrix} E_{C_I} & E_{CM} \\ E_{CM} & E_{CR} \end{pmatrix} \quad (4.4)$$

เมื่อค่า E_{CI} , E_{CM} และ E_{CR} ถูกนิยามตามสมการ (2.34) - (2.36) ตามลำดับ และค่าแอ็กชันของการหดผ่านมีค่าเป็นไปตามสมการ

$$S_{nm}[\Phi(\tau)] = - \int_0^\beta d\tau \int_0^\beta d\tau' \alpha(\tau - \tau') \left(g_L \cos(\varphi_L(\tau) - \varphi_L(\tau')) + g_R \cos(\varphi_R(\tau) - \varphi_R(\tau')) \right. \\ \left. + g_M \cos(\varphi_I(\tau) - \varphi_R(\tau) - \varphi_L(\tau') + \varphi_R(\tau')) \right) \quad (4.5)$$

โดยที่

$$\alpha(\tau - \tau') = \left[4\beta^2 \sin^2 \left(\frac{\pi}{\beta} (\tau - \tau') \right) \right]^{-1} \quad (4.6)$$

เพื่อความสะดวกในการประมาณผลด้วยวิธีการคุณต้มนองติดาร์โล ในโครงการนี้ได้กำหนดให้ทุกพารามิเตอร์เป็นตัวแปรที่ไม่มีหน่วย (dimensionless unit) โดยกำหนดให้ ค่าพลังงานของระบบถูกเขียนอยู่ในรูปสัดส่วนของพลังงานการเพิ่มประจุ (E_C) กล่าวคือ ค่าพารามิเตอร์ส่วนกลับของอุณหภูมิ (inverse temperature; β) ถูกเขียนใหม่เป็น βE_C . โดยที่พลังงานการเพิ่มประจุของปั๊มอิเล็กตรอนเดียวเท่ากับตามสมการ [19]

$$E_C = g_0 \left(\frac{E_{CL}}{g_L} + \frac{E_{CM}}{g_M} + \frac{E_{CR}}{g_R} \right) \quad (4.7)$$

เมื่อ $g_0^{-1} = g_L^{-1} + g_M^{-1} + g_R^{-1}$ ดังนั้น จากค่าคุณลักษณะอ้างอิงในสมการ (4.2) สามารถเขียนใหม่ได้ดังนี้

$$\begin{aligned} S_C [\Phi(\tau)] &= \int_0^{\beta E_C} d\tau (\dot{\Phi} \mathbf{E} \dot{\Phi}^T + i \mathbf{n}_g \dot{\Phi}^T) \\ &= S_C^0 [\Phi(\tau)] + i \int_0^{\beta E_C} d\tau \mathbf{n}_g \dot{\Phi}^T \end{aligned} \quad (4.8)$$

โดยที่

$$S_C^0 [\Phi(\tau)] = \int_0^{\beta E_C} d\tau \dot{\Phi} \mathbf{E} \dot{\Phi}^T \quad (4.9)$$

เมื่อ เมทริกซ์

$$\mathbf{E} = \frac{E_C}{2e^2} \begin{pmatrix} C_{LL} & -C_{LM} \\ -C_{ML} & C_{MR} \end{pmatrix} \equiv \begin{pmatrix} E_L & -E_M \\ -E_M & E_R \end{pmatrix} \quad (4.10)$$

และค่าแอกซันของการหล่อผ่านในสมการ (4.5) สามารถเขียนใหม่ได้เป็น

$$S_{nm} [\Phi(\tau)] = - \int_0^{\beta E_C} d\tau \int_0^{\beta E_C} d\tau' \alpha(\tau - \tau') \left(g_L \cos(\varphi_L(\tau) - \varphi_L(\tau')) + g_R \cos(\varphi_R(\tau) - \varphi_R(\tau')) \right. \\ \left. + g_M \cos(\varphi_L(\tau) - \varphi_R(\tau) - \varphi_L(\tau') + \varphi_R(\tau')) \right) \quad (4.11)$$

โดยที่

$$\alpha(\tau - \tau') = \left[4(\beta E_C)^2 \sin^2 \left(\frac{\pi}{\beta E_C} (\tau - \tau') \right) \right]^{-1} \quad (4.12)$$

เมื่อนำสมการ (4.8) แทนในสมการ (4.1) ค่าแอกซันของปั๊มอิเล็กตรอนเดียวมีค่าดังสมการ

$$S [\Phi(\tau)] = S_C^0 [\Phi(\tau)] + i \int_0^{\beta E_C} d\tau \mathbf{n}_g \dot{\Phi}^T + S_{nm} [\Phi(\tau)] \quad (4.13)$$

ในการสุ่มตัวอย่างค่าระยะเบี่ยงเบี้ยวของมโยโร่โลสิตามที่ได้กล่าวในหัวข้อ 2.4.3 ค่าแอ็คชันต้องเป็นจำนวนจริงมาก ดังนั้น ส่วนจินตภาพในสมการ (4.13) จึงถูกแยกออกจากค่าแอ็คชัน เพื่อให้เป็นไปตามเงื่อนไขของมโยโร่โลสิต ค่าแอ็คชันของปั๊มอิเล็กตรอนเดียวจึงสามารถเขียนใหม่ได้ดังสมการ

$$S[\Phi(\tau)] = S_C^0[\Phi(\tau)] + S_{nm}[\Phi(\tau)] \quad (4.14)$$

และนิยามค่าแอ็คชันในสมการ (4.14) ว่า ค่าแอ็คชันยังผล ดังสมการ

$$S_{eff}[\Phi(\tau)] = S_C^0[\Phi(\tau)] + S_{nm}[\Phi(\tau)] \quad (4.15)$$

โดยที่ $S_C^0[\Phi(\tau)]$ คือ คูลอมบ์แอ็คชันที่ไม่รวมส่วนจินตภาพ นิยามตามสมการ (4.9) และ $S_{nm}[\Phi(\tau)]$ คือ ค่าแอ็คชันของการหล่อผ่าน นิยามตามสมการ (4.11) สำหรับส่วนจินตภาพ $\left(i \int_0^{\beta E_C} d\tau \mathbf{n}_k \dot{\Phi}^T \right)$ ถูกรวมเข้ากับพจน์ที่ต้องการหาค่าเฉลี่ยซึ่งจะอธิบายในหัวข้อต่อไป

4.1.1 ตัวเลขไวน์ดิง

ในการนีของปั๊มอิเล็กตรอนเดียวค่าเฉลี่ยเส้นทางอนุภาค $\langle F[\Phi(\tau)] \rangle$ สามารถคำนวณได้ดังสมการดังไปนี้ [19]

$$\langle F[\Phi(\tau)] \rangle = \frac{1}{Z} \sum_{k_L, k_R=-\infty}^{\infty} \int_{\varphi_L(0)}^{\varphi_L(0)+2\pi k_L} D[\varphi_L(\tau)] \int_{\varphi_R(0)}^{\varphi_R(0)+2\pi k_R} D[\varphi_R(\tau)] e^{-S_{eff}[\Phi(\tau)]} F[\Phi(\tau)] e^{-\int_0^{\beta E_C} d\tau (\mathbf{n}_k \dot{\Phi}^T)} \quad (4.16)$$

โดยที่

$$Z = \sum_{k_L, k_R=-\infty}^{\infty} \int_{\varphi_L(0)}^{\varphi_L(0)+2\pi k_L} D[\varphi_L(\tau)] \int_{\varphi_R(0)}^{\varphi_R(0)+2\pi k_R} D[\varphi_R(\tau)] e^{-S_{eff}[\Phi(\tau)]} e^{-\int_0^{\beta E_C} d\tau (\mathbf{n}_k \dot{\Phi}^T)} \quad (4.17)$$

จากสมการ (4.16) และ (4.17) พบร้า เงื่อนไขขอบเขตของการหาค่าปริพันธ์มีค่าเพิ่มขึ้นเป็นจำนวนเท่าของ 2π กล่าวคือ $2\pi k_L$ และ $2\pi k_R$ ซึ่งค่า k_L และ k_R ถูกเรียกว่า ค่าตัวเลขไวน์ดิง (winding numbers) เพื่อความสะดวกในการประมาณผล ขอบเขตของการหาค่าปริพันธ์สามารถเขียนใหม่ได้โดยการเปลี่ยนตัวแปรดังสมการ

$$\xi_L(\tau) = \varphi_L(\tau) - v_{k_L} \tau \text{ และ } \xi_R(\tau) = \varphi_R(\tau) - v_{k_R} \tau \quad (4.18)$$

เมื่อ $v_{k_L} = 2\pi k_L / (\beta E_C)$ และ $v_{k_R} = 2\pi k_R / (\beta E_C)$ โดยมีเงื่อนไขขอบเขตเป็น

$$\xi_L(0) = \xi_L(\beta E_C) \text{ และ } \xi_R(0) = \xi_R(\beta E_C) \quad (4.19)$$



ดังนั้น สมการ (4.16) และ (4.17) สามารถเขียนใหม่ได้ดังสมการ

$$\langle F[\xi, \mathbf{k}] \rangle = \frac{1}{Z} \sum_{k_L, k_R=-\infty}^{\infty} \oint D[\xi, \mathbf{k}] e^{-S_{eff}[\xi, \mathbf{k}]} F[\xi, \mathbf{k}] e^{-2\pi i(\mathbf{n}_s \mathbf{k}^T)} \quad (4.20)$$

โดยที่

$$Z = \sum_{k_L, k_R=-\infty}^{\infty} \oint D[\xi, \mathbf{k}] e^{-S_{eff}[\xi, \mathbf{k}]} e^{-2\pi i(\mathbf{n}_s \mathbf{k}^T)} \quad (4.21)$$

เมื่อ เมทริกซ์ $\xi = (\xi_L, \xi_R)$ และตัวแปร ξ_L กับ ξ_R สอดคล้องกับตัวแปร φ_L กับ φ_R ตามลำดับ และเมทริกซ์ $\mathbf{k} = (k_L, k_R)$ เมื่อพิจารณาเส้นทาง $\xi(t)$ และเส้นทาง $-\xi(t)$ พบร้า แอ็กชันยังผลของบีมอิเล็กตรอนเดี่ยวมีคุณสมบัติดังต่อไปนี้

$$S_{eff}[\xi] = S_{eff}[-\xi] \quad (4.22)$$

ดังนั้น พจน์ $\exp[-S_{eff}[\xi, \mathbf{k}]]$ จึงเป็นฟังก์ชันคู่ (even function) นอกจากนี้ เมื่อทำการแปลงพจน์ $e^{-2\pi i(\mathbf{n}_s \mathbf{k}^T)}$ ในสมการ (4.21) โดยใช้เอกลักษณ์ของอยเลอร์ (Euler's identity) พบร้า

$$e^{-2\pi i(\mathbf{n}_s \mathbf{k}^T)} = \cos(2\pi \mathbf{n}_s \mathbf{k}^T) - i \sin(2\pi \mathbf{n}_s \mathbf{k}^T) \quad (4.23)$$

เมื่อนำสมการ (4.23) ไปแทนในสมการ (4.21) พบร้า การหาปริพันธ์ในทุกเส้นทางของพจน์ที่เป็นส่วนจินตภาพในสมการ (4.23) ซึ่งเป็นฟังก์ชันคี่ (odd function) มีค่าเป็นศูนย์ คงเหลือเฉพาะพจน์ $\cos(2\pi(k_L n_{0L} + k_R n_{0R}))$ ดังนั้น ค่าเฉลี่ยเส้นทางอนุภาค $\langle F[\xi, \mathbf{k}] \rangle$ ในสมการ (4.20) จึงสามารถเขียนใหม่ได้ดังสมการ

$$\langle F[\xi, \mathbf{k}] \rangle = \frac{1}{Z_{eff}} \sum_{k_L, k_R=-\infty}^{\infty} \oint D[\xi, \mathbf{k}] e^{-S_{eff}[\xi, \mathbf{k}]} F[\xi, \mathbf{k}] e^{-2\pi i(\mathbf{n}_s \mathbf{k}^T)} \quad (4.24)$$

เมื่อ

$$Z_{eff} = \sum_{k_L, k_R=-\infty}^{\infty} \oint D[\xi, \mathbf{k}] e^{-S_{eff}[\xi, \mathbf{k}]} \cos(2\pi(k_L n_{0L} + k_R n_{0R})) \quad (4.25)$$

นอกจากนี้ จากการเปลี่ยนตัวแปรในสมการ (4.18) ทำให้ค่าแอ็กชันในสมการ (4.9), (4.11) และ (4.15) สามารถเขียนได้ดังสมการ

$$S_{eff}[\xi, \mathbf{k}] = S_{el}^0[\xi, \mathbf{k}] + S_{int}[\xi, \mathbf{k}] \quad (4.26)$$

โดยที่

$$S_c^0[\xi, \mathbf{k}] = \frac{4\pi^2}{\beta E_c} \mathbf{k} \mathbf{E} \mathbf{k}^T + \int_0^{\beta E_c} d\tau \dot{\xi} \mathbf{E} \dot{\xi}^T \quad (4.27)$$

และ

$$S_{nm}[\xi, \mathbf{k}] = - \int_0^{\beta E_c} d\tau \int_0^{\beta E_c} d\tau' \alpha(\tau - \tau') \begin{pmatrix} g_L \cos(\xi_L(\tau) - \xi_L(\tau') + v_{k_L} k_L) \\ + g_M \cos(\xi_L(\tau) - \xi_R(\tau) - \xi_L(\tau') + \xi_R(\tau') + (v_{k_L} - v_{k_R})(\tau - \tau')) \\ + g_R \cos(\xi_R(\tau) - \xi_R(\tau') + v_{k_R} k_R) \end{pmatrix} \quad (4.28)$$

4.1.2 ค่าแอ็กชันในรูปแบบที่ไม่ต่อเนื่อง

ในการคำนวณค่าเฉลี่ยในสมการ (4.24) ด้วยวิธีการคำนวณตามอนติการโลของค่าเฉลี่ยเส้นทางอนุภาค $F[\xi, \mathbf{k}]$ ของบีมอิเล็กตรอนเดียวต้องแปลงสมการ (4.24), (4.27) และ (4.28) ให้อยู่ในรูปแบบที่ไม่ต่อเนื่อง โดยการใช้ผลรวมของเรมันน์ (Riemann's sums) ซึ่งสามารถทำได้โดยการแบ่งช่วง βE_c ออกเป็น N ช่วงเท่าๆ กัน ซึ่งค่า N เรียกว่า ตัวเลขทรอดเตอร์ (Trotter's number) [20] ทำให้ค่าคูลอมบ์แอ็กชันและค่าแอ็กชันของการทะลุผ่าน สามารถเขียนได้ดังลักษณะด้านไปนี้

$$\begin{aligned} S_c^0[\xi_L, \xi_R, k_L, k_R] &= \frac{NE_L}{\beta E_c} \sum_{j=1}^N (\xi_{L,j} - \xi_{L,j-1})^2 + \frac{4\pi^2 k_L^2 E_L}{\beta E_c} \\ &\quad + \frac{NE_R}{\beta E_c} \sum_{j=1}^N (\xi_{R,j} - \xi_{R,j-1})^2 + \frac{4\pi^2 k_R^2 E_R}{\beta E_c} \\ &\quad - \frac{2NE_m}{\beta E_c} \sum_{j=1}^N (\xi_{L,j} - \xi_{L,j-1})(\xi_{R,j} - \xi_{R,j-1}) - \frac{8\pi^2 k_L k_R E_m}{\beta E_c}. \end{aligned} \quad (4.29)$$

และ

$$\begin{aligned} S_{nm}[\xi_L, \xi_R, k_L, k_R] &= - \sum_{j, j'=1} \alpha_{j-j'} g_L \cos \left[\xi_{L,j} - \xi_{L,j'} + \frac{2\pi k_L}{N} (j - j') \right] \\ &\quad + \sum_{j, j'=1} \alpha_{j-j'} g_M \cos \left[(\xi_{R,j} - \xi_{R,j'}) - (\xi_L - \xi_{L,j'}) + \frac{2\pi(k_R - k_L)}{N} (j - j') \right] \\ &\quad - \sum_{j, j'=1} \alpha_{j-j'} g_R \cos \left[\xi_{R,j} - \xi_{R,j'} + \frac{2\pi k_R}{N} (j - j') \right] \end{aligned} \quad (4.30)$$

โดยที่เครื่องนับการทะลุผ่านนิยามตามสมการ

$$\alpha_{j-j'} = \left[4N^2 \sin^2 \left(\frac{\pi(j-j')}{N} \right) \right]^{-1} \quad (4.31)$$

จากการพิจารณาค่าแม็คซันของการทะลุผ่านในสมการ (4.30) พบว่า มีบางเงื่อนไขที่ค่าแม็คซันดังกล่าวเกิดการถือออก (diverge) จึงแบ่งเงื่อนไขการคำนวณผลรวมออกเป็น 3 กรณี ได้แก่ กรณีที่ค่า $j > j'$ กรณีที่ค่า $j < j'$ และกรณีที่ค่า $j = j'$ ซึ่งในกรณีสุดท้ายเป็นกรณีที่ค่าแม็คซันของการทะลุผ่านมีค่าถือออก ทำให้ไม่สามารถประมาณผลได้โดยตรง เพื่อให้สามารถประมาณผลได้ กำหนดให้

$$\Omega(\tau_j, \tau_{j'}) = \frac{1}{2} \left[\xi(\tau_j) - \xi(\tau_{j'}) + \frac{2\pi k}{\beta E_c} (\tau_j - \tau_{j'}) \right] \quad (4.32)$$

เมื่อแทนค่า $\Omega(\tau_j, \tau_{j'})$ ลงในสมการ (4.30) และใช้เอกลักษณ์ตรีโกณมิติ $\cos(x) = 1 - 2\sin^2(x/2)$ ในการแปลงพจน์แรกทางขวาของสมการ (4.30) จากนั้น พิจารณาพจน์ดังกล่าวในกรณีที่ลิมิตของ j ถูกเข้าสู่ j' จะได้

$$\begin{aligned} \lim_{\tau_j \rightarrow \tau_{j'}} 2\alpha(\tau_j - \tau_{j'}) \sin^2[\Omega(\tau_j, \tau_{j'})] &= \lim_{\tau_j \rightarrow \tau_{j'}} \frac{1}{2N^2} \frac{\sin^2[\Omega(\tau_j, \tau_{j'})]}{\sin^2\left[\frac{\pi}{\beta E_c}(\tau_j - \tau_{j'})\right]} \\ &= \frac{(\beta E_c)^2}{8\pi^2 N^2} \dot{\Omega}^2(\tau_j, \tau_{j'}) \\ &= \frac{1}{8\pi^2} [\xi_j - \xi_{j-1}]^2 + \frac{k}{2\pi N} [\xi_j - \xi_{j-1}] + \frac{1}{2N^2} k^2 \end{aligned} \quad (4.33)$$

เมื่อนำสมการ (4.33) ไปแทนในสมการ (4.30) พบว่า ผลรวมของพจน์ที่สองของสมการ (4.33) มีค่าเป็นศูนย์ จึงเหลือเฉพาะพจน์แรก $(1/8\pi^2 [\xi_j - \xi_{j-1}]^2)$ และพจน์สุดท้าย $(k^2/2N^2)$ สำหรับพจน์ที่เหลือสองพจน์ในสมการ (4.30) สามารถแปลงได้โดยใช้เอกลักษณ์ตรีโกณมิติและการพิจารณาค่าลิมิตในลักษณะที่คล้ายกับสมการ (4.33) สิ่งผลที่ได้ทั้งหมดมีรูปแบบฟังก์ชันคล้ายกับค่าคูลอมบ์แม็คซันในสมการ (4.29) ดังนั้น เพื่อความสะดวก จึงรวมพจน์ที่ได้ทั้งหมดกับค่าคูลอมบ์แม็คซัน โดยสามารถจัดพจน์ต่างๆ ได้ดังสมการ

$$S_{CT}^0 = S_C^0 + S_{un,j=j'} \quad (4.34)$$

$$\begin{aligned} S_{CT}^0 [\xi_L, \xi_R, k_L, k_R] &= \varepsilon_L \sum_{j=1}^N (\xi_{L,j} - \xi_{L,j-1})^2 + \kappa_L k_L^2 + \varepsilon_R \sum_{j=1}^N (\xi_{R,j} - \xi_{R,j-1})^2 + \kappa_R k_R^2 \\ &\quad - \varepsilon_M \sum_{j=1}^N (\xi_{L,j} - \xi_{L,j-1})(\xi_{R,j} - \xi_{R,j-1}) + \kappa_M k_L k_R \end{aligned} \quad (4.35)$$

โดยที่

$$\varepsilon_L = \frac{NE_L}{\beta E_c} + \frac{g_L + g_M}{8\pi^2}, \quad \kappa_L = \frac{4\pi^2 E_L}{\beta E_c} + \frac{g_L + g_M}{2N^2} \quad (4.36)$$

$$\varepsilon_R = \frac{NE_R}{\beta E_C} + \frac{g_R + g_M}{8\pi^2}, \quad \kappa_R = \frac{4\pi^2 E_R}{\beta E_C} + \frac{g_R + g_M}{2N^2} \quad (4.37)$$

$$\varepsilon_M = \frac{2NE_M}{\beta E_C} + \frac{g_M}{4\pi^2}, \quad \kappa_M = \frac{8\pi^2 E_M}{\beta E_C} + \frac{g_M}{N^2} \quad (4.38)$$

นอกจานั้น จากการพิจารณาค่าอีกชั้นของการหล่อผ่านในกรณีที่ค่า $j > j'$ และกรณีที่ค่า $j < j'$ พบร้า ทั้งสองกรณีมีคุณสมบัติที่สมมาตรกัน จึงทำให้สามารถเขียนอีกชั้นของการหล่อผ่านใหม่โดยการเปลี่ยน $\sum_{j,j'}$ เมื่อ $j \neq j'$ เป็น $2\sum_{j>j'}$ ได้ดังสมการ

$$\begin{aligned} S_{un,j \neq j'}[\xi_L, \xi_R, k_L, k_R] = & -2 \sum_{j>j'} \alpha_{j-j'} g_L \cos \left[\xi_{L,j} - \xi_{L,j'} + \frac{2\pi k_L}{N} (j-j') \right] \\ & + 2 \sum_{j>j'} \alpha_{j-j'} g_M \cos \left[(\xi_{R,j} - \xi_{R,j'}) - (\xi_{L,j} - \xi_{L,j'}) + \frac{2\pi (k_R - k_L)}{N} (j-j') \right] \\ & - 2 \sum_{j>j'} \alpha_{j-j'} g_R \cos \left[\xi_{R,j} - \xi_{R,j'} + \frac{2\pi k_R}{N} (j-j') \right] \end{aligned} \quad (4.39)$$

จากการแปลงค่า S_{CT}^0 ในสมการ (4.35) และค่า $S_{un,j \neq j'}$ ในสมการ (4.39) จะได้ S_{eff} ดังสมการ [19]

$$S_{eff} = S_{CT}^0 + S_{un,j \neq j'} \quad (4.40)$$

ค่า S_{CT}^0 และค่า $S_{un,j \neq j'}$ ในสมการ (4.35) และ (4.39) สามารถแปลงค่าเฉลี่ยเส้นทางของอนุภาคในสมการ (4.24) ให้อยู่ในรูปแบบสำหรับการประมวลผลด้วยวิธีการควบคุมต้มนอนดิคาร์โลได้ดังสมการ

$$\langle F[\xi, \mathbf{k}] \rangle = \frac{\sum_{\xi, \mathbf{k}} F[\xi, \mathbf{k}] \cos(2\pi(k_L n_{0L} + k_R n_{0R}))}{\sum_{\xi, \mathbf{k}} \cos(2\pi(k_L n_{0L} + k_R n_{0R}))} \quad (4.41)$$

โดยที่ $i \in \{L, R\}$ และ ξ, \mathbf{k} เป็นตัวแปรที่ถูกสุ่มด้วยระเบียบวิธีของเมโทรโพลิส โดยใช้ฟังก์ชันการแจกแจงความน่าจะเป็น $\rho(\xi, \mathbf{k}) \propto \exp[-S_{eff}[\xi, \mathbf{k}]]$ ในการสุ่มตัวแปรดังกล่าว

4.2 นิยามและ การคำนวณค่าพลังงานการเพิ่มประจุยังผลของปื๊มอิเล็กตรอนเดี่ยว

เมื่อได้ค่าอีกชั้นของปื๊มอิเล็กตรอนเดี่ยวในรูปแบบสำหรับการประมวลผลด้วยวิธีการควบคุมต้มนอนดิคาร์โลจากหัวข้อ 4.1 ในหัวข้อนี้จะนำค่าอีกชั้นที่ได้ไปคำนวณค่าพลังงานการเพิ่มประจุยังผลของปื๊มอิเล็กตรอนเดี่ยว โดยประมาณค่าพลังงานการเพิ่มประจุยังผลของกล่องอิเล็กตรอนเดี่ยว ในสมการ (2.21) ทำให้สามารถนิยามค่าพลังงานการเพิ่มประจุยังผลของปื๊มอิเล็กตรอนเดี่ยวดังสมการ

$$\begin{aligned} \frac{E_C^*}{E_C} &\equiv \nabla_{n_0} \left(\langle n_{L,n_0} \rangle + \langle n_{R,n_0} \rangle \right) \Big|_{n_{L0}, n_{R0}=0} \\ &= \left(\frac{\partial}{\partial n_{L0}} + \frac{\partial}{\partial n_{R0}} \right) \left((n_{L0} - \langle n_L \rangle) + (n_{R0} - \langle n_R \rangle) \right) \Big|_{n_{L0}, n_{R0}=0} \end{aligned} \quad (4.42)$$

เมื่อ $\langle n_{L,n_0} \rangle$ และ $\langle n_{R,n_0} \rangle$ คือ จำนวนอิเล็กตรอนเฉลี่ยที่หลุดผ่านรอยต่อการหลุดผ่านในเกาโลหะ

$$\text{ทางซ้ายและทางขวา ตามลำดับ และ } \nabla_{n_0} = \left(\frac{\partial}{\partial n_{L0}} + \frac{\partial}{\partial n_{R0}} \right)$$

$$\frac{E_C^*}{E_C} = 2 - \nabla_{n_0} \langle n_L \rangle \Big|_{n_{L0}, n_{R0}=0} \quad (4.43)$$

โดยที่ $\langle n_T \rangle$ คือ ผลรวมจำนวนประจุเฉลี่ยที่รอยต่อการหลุดผ่านภายในเกาโลหะทางซ้ายและทางขวา

$$\langle n_T \rangle = \langle n_L \rangle + \langle n_R \rangle \quad (4.44)$$

จำนวนประจุเฉลี่ยที่รอยต่อการหลุดผ่านภายในเกาโลหะทางซ้ายและทางขวา [20] คำนวณได้จาก

$$\langle n_L \rangle = n_{L0} - \frac{E_{CM}}{E_{CL}} (\langle n_R \rangle - n_{R0}) + \frac{1}{2\beta E_{CL}} \frac{\partial \ln Z}{\partial n_{L0}} \quad (4.45)$$

$$\langle n_R \rangle = n_{R0} - \frac{E_{CM}}{E_{CR}} (\langle n_L \rangle - n_{L0}) + \frac{1}{2\beta E_{CR}} \frac{\partial \ln Z}{\partial n_{R0}} \quad (4.46)$$

เนื่องจากปั๊มอิเล็กตรอนเดียวประกอบด้วยขั้วเกตสองขั้วที่เป็นอิสระต่อกัน จึงทำให้จำนวนประจุลบที่ถูกเหนี่ยวนำด้วยแรงดันไฟฟ้าที่ขึ้นกับ n_{L0} และ n_{R0} เป็นอิสระต่อกัน ดังนั้น เมื่อนำพังก์ชันแบ่งส่วนในสมการ (4.17) มาแทนในสมการ (4.45) และ (4.46) พบว่า จำนวนประจุเฉลี่ยที่รอยต่อการหลุดผ่านภายในเกาโลหะทางซ้ายและทางขวา เป็นไปตามสมการ

$$\begin{aligned} \langle n_L \rangle &= n_{L0} - \frac{E_{CM}}{E_{CL}} (\langle n_R \rangle - n_{R0}) \\ &+ \frac{1}{2\beta E_{CL}} \sum_{k_l, k_k=-\infty}^{\infty} \frac{1}{Z} \oint D[\xi, \mathbf{k}] e^{-S_{eff}[\xi, \mathbf{k}]} e^{-\int_0^{\beta E_l} d\tau (m_k (\dot{\xi} + v_k)^2)} \left(\int_0^{\beta E_l} i d\tau (\dot{\xi}_l(\tau) + v_{k_l}) \right) \end{aligned} \quad (4.47)$$

$$\begin{aligned} \langle n_R \rangle &= n_{R0} - \frac{E_{CM}}{E_{CR}} (\langle n_L \rangle - n_{L0}) \\ &+ \frac{1}{2\beta E_{CR}} \sum_{k_l, k_k=-\infty}^{\infty} \frac{1}{Z} \oint D[\xi, \mathbf{k}] e^{-S_{eff}[\xi, \mathbf{k}]} e^{-\int_0^{\beta E_l} d\tau (m_k (\dot{\xi} + v_k)^2)} \left(\int_0^{\beta E_l} i d\tau (\dot{\xi}_R(\tau) + v_{k_R}) \right) \end{aligned} \quad (4.48)$$

จากเงื่อนไขของเบต้า $\int_0^{\beta E_C} d\tau \dot{\xi}(\tau) = \xi(\beta E_C) - \xi(0) = 0$ ดังนั้น จำนวนประจุเฉลี่ยที่ร้อยต่อการทะลุผ่านภายในแกะโลหะทางซ้ายสามารถเขียนใหม่ได้เป็น

$$\langle n_L \rangle = n_{L0} - \frac{E_{CM}}{E_{CL}} (\langle n_R \rangle - n_{R0}) - \frac{i\pi}{\beta E_{CL}} \langle k_L \rangle \quad (4.49)$$

และจำนวนประจุเฉลี่ยที่ร้อยต่อการทะลุผ่านภายในแกะโลหะทางขวา

$$\langle n_R \rangle = n_{R0} - \frac{E_{CM}}{E_{CR}} (\langle n_L \rangle - n_{L0}) - \frac{i\pi}{\beta E_{CR}} \langle k_R \rangle \quad (4.50)$$

โดยค่าเฉลี่ยของตัวเลขไว้นิดิจในแกะโลหะทางซ้ายและทางขวา niyam ตามสมการ

$$\langle k_i \rangle = \frac{1}{Z} \oint D[\xi, \mathbf{k}] \sum_{k_i=-\infty}^{\infty} k_i e^{-S_{eff}[\xi, \mathbf{k}]} \cos(2\pi(k_i n_{L0} + k_R n_{R0})) \quad (4.51)$$

โดยที่ $i \in \{L, R\}$ เมื่อนำสมการ (4.50) แทนลงในสมการ (4.49) สมการของจำนวนประจุเฉลี่ยที่ร้อยต่อการทะลุผ่านภายในแกะโลหะทางซ้ายสามารถเขียนใหม่ได้เป็น

$$\langle n_L \rangle = n_{L0} - \frac{i\pi}{\beta} \left(\frac{E_{CR}}{E_{CL} E_{CR} - E_{CM}^2} \langle k_R \rangle - \frac{E_{CM}}{E_{CL} E_{CR} - E_{CM}^2} \langle k_L \rangle \right) \quad (4.52)$$

ในทำนองเดียวกันเมื่อนำสมการ (4.49) แทนลงในสมการ (4.50) สามารถเขียนสมการของจำนวนประจุเฉลี่ยที่ร้อยต่อการทะลุผ่านภายในแกะโลหะในแกะโลหะทางขวาได้เป็น

$$\langle n_R \rangle = n_{R0} - \frac{i\pi}{\beta} \left(\frac{E_{CL}}{E_{CL} E_{CR} - E_{CM}^2} \langle k_L \rangle - \frac{E_{CM}}{E_{CL} E_{CR} - E_{CM}^2} \langle k_R \rangle \right) \quad (4.53)$$

จากค่า E_{CL} , E_{CM} และ E_{CR} ซึ่งนิยามตามสมการ (2.34) (2.35) และ (2.36) ตามลำดับ เมื่อนำมาแทนในสมการ (4.52) และ (4.53) จำนวนประจุเฉลี่ยที่ร้อยต่อการทะลุผ่านภายในแกะโลหะทางซ้ายและทางขวาสามารถเขียนใหม่ได้ดังสมการ

$$\langle n_L \rangle = n_{L0} - \frac{4i\pi}{\beta E_C} (E_L \langle k_L \rangle - E_M \langle k_R \rangle) \quad (4.54)$$

$$\langle n_R \rangle = n_{R0} - \frac{4i\pi}{\beta E_C} (E_R \langle k_R \rangle - E_M \langle k_L \rangle) \quad (4.55)$$

โดยที่ $E_L = C_{\Sigma L} E_C / 2e^2$, $E_R = C_{\Sigma R} E_C / 2e^2$ และ $E_M = C_M E_C / 2e^2$ ทำให้ค่าคาดหมายผลรวมของจำนวนประจุเฉลี่ยที่ร้อยต่อการทะลุผ่านภายในแกะโลหะทางซ้ายและทางขวา มีค่าตามสมการ

$$\langle n_T \rangle = \left(n_{L0} - \frac{4i\pi}{\beta E_C} (E_L \langle k_L \rangle - E_M \langle k_R \rangle) \right) + \left(n_{R0} - \frac{4i\pi}{\beta E_C} (E_R \langle k_R \rangle - E_M \langle k_L \rangle) \right) \quad (4.56)$$

ดังนั้น เมื่อนำสมการ (4.56) แทนในสมการ (4.43) พลังงานการเพิ่มประจุยังคงอยู่เป็นอิเล็กตรอนเดียว สามารถคำนวณได้ดังสมการ

$$\frac{E_C^*}{E_C} = 2 - \nabla \left[\left(n_{L0} - \frac{4i\pi}{\beta E_C} (E_L \langle k_L \rangle - E_M \langle k_R \rangle) \right) + \left(n_{R0} - \frac{4i\pi}{\beta E_C} (E_R \langle k_R \rangle - E_M \langle k_L \rangle) \right) \right] \Bigg|_{n_{L0}, n_{R0}=0} \quad (4.57)$$

จากค่าเฉลี่ยของตัวเลขไวน์ดิงในเก้าะโลหะทางซ้ายและเก้าะโลหะทางขวาในสมการ (4.51) เมื่อนำมาแทนในสมการ (4.57) พบว่า พลังงานการเพิ่มประจุยังผลของปั๊มอิเล็กตรอนเดียวมีค่าเป็นไปตามสมการ

$$\frac{E_C^*}{E_C} = \frac{8\pi^2}{\beta E_C} \left(\langle k_L^2 \rangle (E_L - E_M) + \langle k_R^2 \rangle (E_R - E_M) + \langle k_L k_R \rangle (E_L + E_R - 2E_M) \right) \Bigg|_{n_{L0}, n_{R0}=0} \quad (4.58)$$

โดยที่

$$\langle k_i k_j \rangle = \frac{1}{Z} \oint D[\xi, \mathbf{k}] \sum_{k_i=-\infty}^{\infty} k_i k_j e^{-S_{eff}[\xi, \mathbf{k}]} \cos(2\pi(k_i n_{i0} + k_j n_{j0})) \quad (4.59)$$

เมื่อ $i, j \in \{L, R\}$

เมื่อพิจารณา สมการ (4.59) พบว่า มีรูปแบบสมการคล้ายกับสมการ (4.20) ซึ่งไม่สามารถหาค่าปริพันธ์ได้โดยตรง เนื่องจากเม็คเซ็นของระบบไม่อยู่ในรูปของเกาส์เชียน (Gaussian's form) ทำให้สมการ (4.20) ถูกแปลงให้อยู่ในรูปที่เหมาะสมสำหรับการประมาณผลด้วยวิธีการความตั้มมอนติคาร์โล ได้ดังสมการ (4.41) ในทำนองเดียวกัน ค่าเฉลี่ยของผลคูณตัวเลขไวน์ดิงในสมการ (4.59) จึงถูกแปลงได้ดังสมการ

$$\langle k_i k_j \rangle = \frac{\sum_{\xi, \mathbf{k}} k_i k_j \cos(2\pi(k_i n_{i0} + k_j n_{j0}))}{\sum_{\xi, \mathbf{k}} \cos(2\pi(k_i n_{i0} + k_j n_{j0}))} \quad (4.60)$$

ดังนั้น ค่าพลังงานการเพิ่มประจุยังผลของปั๊มอิเล็กตรอนเดียวในสมการ (4.58) สามารถเขียนใหม่ได้เป็น

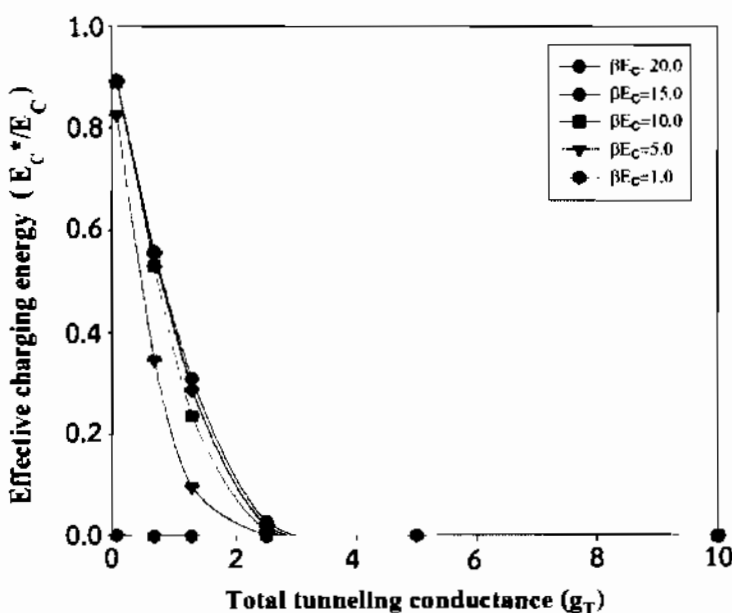
$$\begin{aligned} \frac{E_C^*}{E_C} &= \frac{8\pi^2}{\beta E_C} \frac{\sum_{\xi, \mathbf{k}} k_L^2 \cos(2\pi(k_L n_{0L} + k_R n_{0R}))}{\sum_{\xi, \mathbf{k}} \cos(2\pi(k_L n_{0L} + k_R n_{0R}))} (E_L - E_M) \\ &+ \frac{8\pi^2}{\beta E_C} \frac{\sum_{\xi, \mathbf{k}} k_R^2 \cos(2\pi(k_L n_{0L} + k_R n_{0R}))}{\sum_{\xi, \mathbf{k}} \cos(2\pi(k_L n_{0L} + k_R n_{0R}))} (E_R - E_M) \\ &+ \frac{8\pi^2}{\beta E_C} \frac{\sum_{\xi, \mathbf{k}} k_L k_R \cos(2\pi(k_L n_{0L} + k_R n_{0R}))}{\sum_{\xi, \mathbf{k}} \cos(2\pi(k_L n_{0L} + k_R n_{0R}))} (E_L + E_R - 2E_M) \end{aligned} \quad (4.61)$$

โดยที่ ξ, \mathbf{k} เป็นตัวแปรที่ถูกสุมด้วยระเบียบวิธีของเมโทรโพลิส โดยใช้ฟังก์ชันการแจกแจงความน่าจะเป็น $\rho(\xi, \mathbf{k}) \propto \exp[-S_{eff}(\xi, \mathbf{k})]$ ในการสุมด้วยระเบียบวิธี จากค่าพลังงานการเพิ่มประจุยังผลใน

สมการ (4.61) เมื่อนำไปประมวลผลด้วยวิธีความตั้มมอนติคาร์โล ผลการคำนวณที่ได้จะกล่าวในหัวข้อต่อไป

4.3 ผลการคำนวณและอภิปรายผล

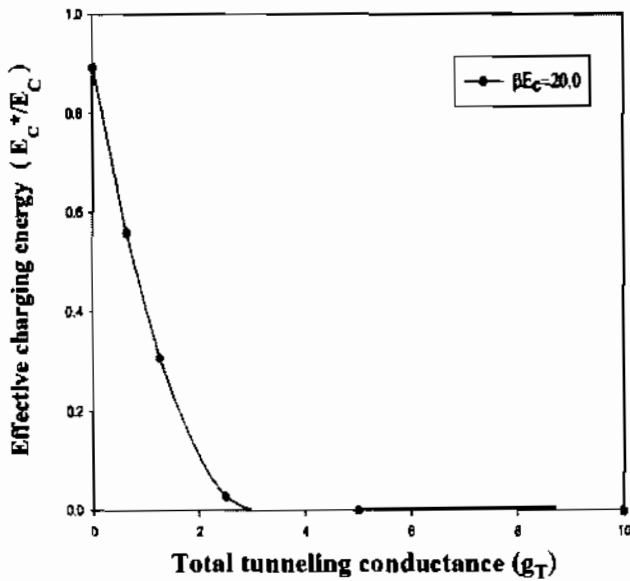
จากที่ได้กล่าวถึงวิธีการคำนวณค่าพลังงานการเพิ่มประจุยังผลของปีมอเล็กตรอนเดียวด้วยวิธีการความตั้มมอนติคาร์โลในหัวข้อ 4.2 เพื่อจำลองการทำงานของปีมอเล็กตรอนเดียว ทำให้ได้ผลการคำนวณค่าพลังงานการเพิ่มประจุยังผลของปีมอเล็กตรอนเดียวที่ค่าอัตราส่วนระหว่างพลังงานการเพิ่มประจุต่อพลังงานความร้อนเฉลี่ย (βE_c) อยู่ในช่วง 1 ถึง 20 ดังแสดงในภาพประกอบ 4.1



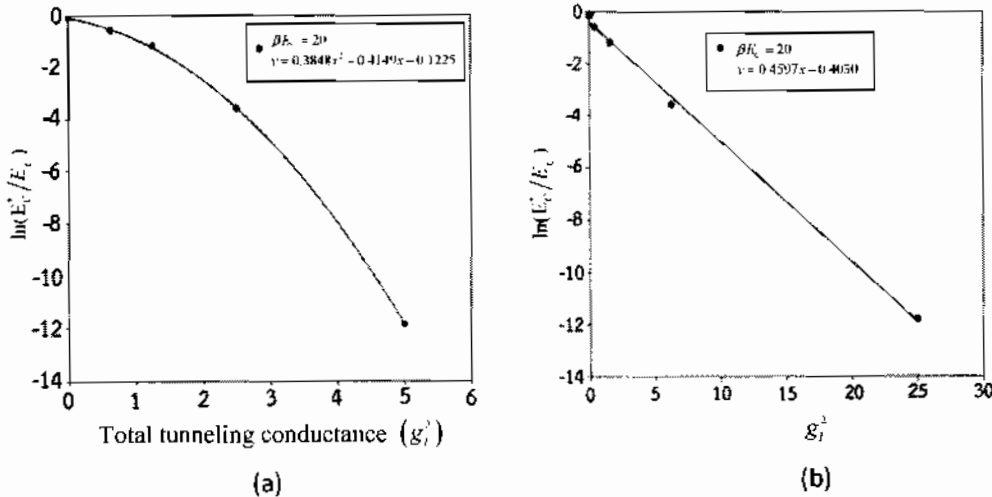
ภาพประกอบ 4.1 ค่าพลังงานการเพิ่มประจุยังผลของปีมอเล็กตรอนเดียวที่ได้จากการคำนวณด้วยวิธีการความตั้มมอนติคาร์โลในกรณีที่ค่าอัตราส่วนระหว่างพลังงานการเพิ่มประจุต่อพลังงานความร้อนเฉลี่ย (βE_c) อยู่ในช่วง 1 ถึง 20

จากผลการจำลองในภาพประกอบ 4.1 เมื่อพิจารณาความสัมพันธ์ระหว่างค่าความนำไฟฟ้ารวม (g_T) และค่าสัดส่วนพลังงานการเพิ่มประจุยังผลต่อพลังงานการเพิ่มประจุ (E_c^*/E_c) ในกรณีที่อัตราส่วนระหว่างพลังงานการเพิ่มประจุต่อพลังงานความร้อนเฉลี่ย $\beta E_c = 20$ ในภาพประกอบ 4.2 ซึ่งเป็นกรณีศึกษาที่ยกขึ้นมาเพื่ออธิบายวิธีการสร้างความสัมพันธ์ของกราฟที่ไม่เป็นเชิงเส้น จากภาพประกอบ 4.2 พบว่า เมื่อค่า g_T มีค่าเพิ่มขึ้น ค่าพลังงานการเพิ่มประจุยังผลมีค่าลดลงในลักษณะเออกซ์โพเนนเชียล เมื่อพิจารณาการเปลี่ยนแปลงดังกล่าวจากกราฟความสัมพันธ์ระหว่าง $\ln(E_c^*/E_c)$ และ g_T ในภาพประกอบ 4.3 (a) พบว่า กราฟที่ได้มีลักษณะไม่เป็นเชิงเส้น แต่มีลักษณะของพีร์กชัน

พาราโบลาค่าว่า แสดงให้เห็นว่า ความสัมพันธ์ระหว่าง E_c^* และ g_T ไม่อยู่ในรูปแบบพิงก์ชัน เอกซ์โพเนนเชียลมาตราฐาน ดังนั้น เพื่อแสดงความสัมพันธ์ระหว่าง E_c^* และ g_T ในลักษณะที่เป็นแบบ เชิงเส้น จึงได้ปรับเปลี่ยนแกนนอนจากตัวแปร g_T เป็น g_T^2 ทำให้ได้กราฟดังภาพประกอบ 4.3 (b)



ภาพประกอบ 4.2 ค่าพลังงานการเพิ่มประจุยังผลของปั๊มอิเล็กตรอนเดียวที่ได้จากการคำนวณ ด้วยวิธีการคำนวณด้วยคอมพิวเตอร์ในกรณีที่ค่าอัตราส่วนระหว่างพลังงานการเพิ่มประจุต่อพลังงานความร้อนเฉลี่ย $\beta E_c = 20$



ภาพประกอบ 4.3 (a) ความสัมพันธ์ระหว่าง $\ln(E_c^*/E_c)$ กับค่าความนำไฟฟ้ารวม (g_T) ของปั๊มอิเล็กตรอนเดียวที่ $\beta E_c = 20$ และ (b) ความสัมพันธ์ระหว่าง $\ln(E_c^*/E_c)$ กับค่าความนำไฟฟ้ารวมยกกำลังสอง (g_T^2) ของปั๊มอิเล็กตรอนเดียวเมื่อ $\beta E_c = 20$

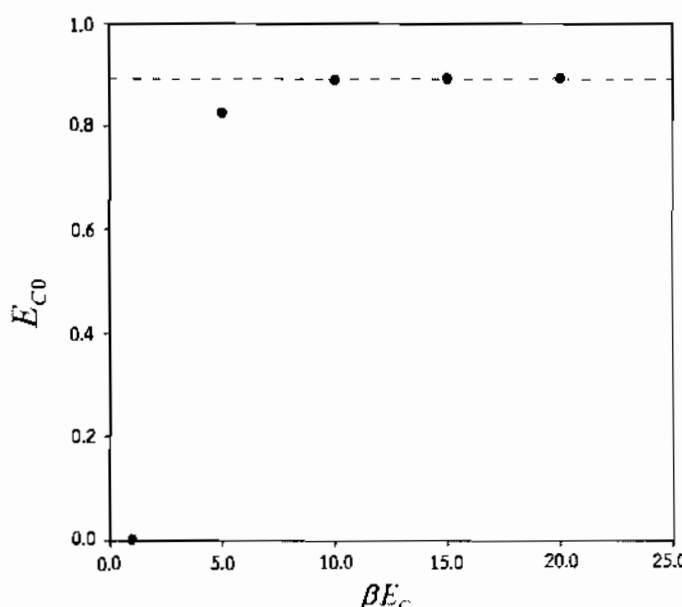
จากภาพประกอบ 4.3 (b) เมื่อนำสมการเส้นตรงที่ได้มาหาความสัมพันธ์ระหว่าง E_c^* / E_c และ g_r^2 จะได้ดังสมการ

$$\frac{E_c^*}{E_c} = E_{c0} e^{-\alpha g_r^2} \quad (4.62)$$

โดยที่ E_{c0} คือ ค่าสัมประสิทธิ์พลังงานที่คำนวณจาก $E_{c0} = e^{-C}$ เมื่อ C คือ จุดตัดแกนในแนวตั้ง และ มีค่าสัมประสิทธิ์พลังงาน E_{c0} ที่อุณหภูมิต่างๆ แสดงในตาราง 4.1 และ α คือ ค่าความชันของกราฟเส้นตรงระหว่าง $\ln(E_c^* / E_c)$ และ g_r^2

ตาราง 4.1 ค่าสัมประสิทธิ์พลังงานในกรณีที่ค่า βE_c อยู่ในช่วง 1 ถึง 20

อัตราส่วนพลังงานการเพิ่มประจุต่อ พลังงานความร้อนเฉลี่ย (βE_c)	อุณหภูมิ $T(mK)$	ค่าสัมประสิทธิ์พลังงาน (E_{c0})
20	106.7	0.89290
15	142.3	0.89290
10	213.4	0.89070
5	426.8	0.82570
1	2133.9	0.00194



ภาพประกอบ 4.4 ความสัมพันธ์ระหว่างค่าสัมประสิทธิ์พลังงานกับค่าอัตราส่วนระหว่าง
พลังงานการเพิ่มประจุต่อพลังงานความร้อนเฉลี่ย (βE_c) ในช่วง 1 ถึง 20 กรณีที่ค่าความนำไฟฟ้ารวม
เป็นศูนย์ ($g_r = 0$)

ความสัมพันธ์ระหว่าง E_c^* / E_c และ g_r^2 ในสมการที่ (4.62) มีองค์ประกอบหลัก 2 ส่วน คือ ส่วนที่เป็นค่าสัมประสิทธิ์พลังงาน (E_{c0}) และส่วนที่เป็นฟังก์ชันเอกซ์โพเนนเชียล ($\exp[-\alpha g_r^2]$) เพื่อศึกษาความหมายทางกายภาพขององค์ประกอบเหล่านี้ จึงแยกวิเคราะห์ทีละองค์ประกอบ ซึ่งทำให้สามารถแสดงความหมายทางกายภาพของพารามิเตอร์แต่ละตัวต่อปรากฏการณ์ที่เกิดขึ้นภายใต้ปัจจัยในปัจจุบันได้ยิ่งเด่นชัด

4.3.1 การวิเคราะห์ค่าสัมประสิทธิ์พลังงาน E_{c0}

ในการวิเคราะห์องค์ประกอบส่วนที่เป็นค่าสัมประสิทธิ์พลังงาน พิจารณาในกรณีที่ค่าความนำไฟฟ้ารวมมีค่าเป็นศูนย์ ($g_r = 0$) ซึ่งจะส่งผลให้ฟังก์ชันเอกซ์โพเนนเชียลมีค่าเท่ากับหนึ่ง ดังนั้น สมการ (4.62) จึงสามารถเขียนใหม่ได้ดังสมการ

$$E_{c0} = \frac{E_c^*}{E_c} \quad (4.63)$$

จากการศึกษาค่าพลังงานการเพิ่มประจุยังผลของกล่องอิเล็กตรอนเดี่ยวในหัวข้อที่ 2.1 ซึ่งเป็นกรณีที่ค่าความนำไฟฟ้ารวมเท่ากับศูนย์ ($g_r = 0$) ค่า $E_c^* = E_c$ กล่าวคือ ค่าสัมประสิทธิ์พลังงาน $E_{c0} = 1$ ซึ่งแสดงให้เห็นว่า อิเล็กตรอนไม่สามารถทะลุผ่านรอยต่อการทะลุผ่านเข้าไปยังเกาส์โลหะของปั๊มอิเล็กตรอนเดี่ยวได้ แต่อย่างไรก็ตาม จากผลการคำนวณค่าพลังงานการเพิ่มประจุยังผลของปั๊มอิเล็กตรอนเดี่ยว พบว่า ค่า $E_c^* \approx 0.89 E_c$ กล่าวคือ ค่าสัมประสิทธิ์พลังงาน $E_{c0} \approx 0.89$ ซึ่งมีค่าน้อยกว่า 1 อาจเกิดจากการบกวนระหว่างฟังก์ชันคู่สี่ของอิเล็กตรอนในเกาส์โลหะทั้งสองเกาส์ โดยปรากฏการณ์ที่เกิดขึ้นมีลักษณะคล้ายกับการเกิดพันธะโควาเลนซ์ [21] กล่าวคือ เกาส์โลหะขนาดเล็กเหล่านี้จะมีลักษณะสมบูรณ์ทางพลังงานใกล้เคียงกับอะตอม จึงถูกเรียกว่า อะตอมประดิษฐ์ (artificial atoms) [21] เมื่อเกาส์โลหะเหล่านี้อยู่ใกล้กัน จึงเกิดการรวมกันของระดับพลังงานของอิเล็กตรอนแล้ว เกิดระดับพลังงานใหม่ภายในระบบปั๊มอิเล็กตรอนเดี่ยว ได้แก่ ระดับพลังงานที่ลดต่ำลง ซึ่งเมื่อเป็นระดับพลังงานที่ทำให้เกิดพันธะโควาเลนซ์ (covalence-like bonding states) และระดับพลังงานที่สูงขึ้น ซึ่งเมื่อเป็นระดับพลังงานที่ทำให้เกิดการสลายพันธะโควาเลนซ์ (covalence-like antibonding states) ในกรณีของปั๊มอิเล็กตรอนเดี่ยว เมื่อเกาส์โลหะอยู่ใกล้กันระดับพลังงานมีการเปลี่ยนแปลง ทำให้ระดับพลังงานของสถานะว่างบางสถานะมีค่าต่ำกว่าระดับพลังงานของสถานะว่างภายในเกาส์โลหะที่อยู่โดยเดี่ยว ค่าสัมประสิทธิ์พลังงาน E_{c0} จึงมีค่าน้อยกว่า 1

จากข้อมูลที่ได้จากการจำลองการทำงานของปั๊มอิเล็กตรอนเดี่ยวด้วยวิธีการควบคุมต้มมอนติคาร์โล ในภาพประกอบ 4.1 สามารถสร้างความสัมพันธ์ตามสมการ (4.63) ที่ค่าอัตราส่วนระหว่างพลังงานการเพิ่มประจุต่อพลังงานความร้อนเฉลี่ย (βE_c) อยู่ในช่วง 1 ถึง 20 ทำให้ได้ค่า

สัมประสิทธิ์พลังงาน (E_{c_0}) ดังแสดงในตาราง 4.1 และสามารถเขียนกราฟความสัมพันธ์ได้ดังภาพประกอบ 4.4 ซึ่งพบว่า เมื่อค่า $\beta E_c > 10$ เส้นกราฟของค่าสัมประสิทธิ์พลังงาน (E_{c_0}) มีลักษณะขานกับแกนของอัตราส่วนระหว่างพลังงานการเพิ่มประจุต่อพลังงานความร้อนเฉลี่ย (βE_c) แสดงให้เห็นว่า ค่าสัมประสิทธิ์พลังงานที่อยู่ในช่วงนี้มีขึ้นกับค่าอุณหภูมิ อันเป็นผลจาก ในช่วงอุณหภูมิตัดกับค่าพลังงานความร้อนมีค่าต่ำ ($T < 0.25K$ หรือ $\beta E_c > 10$) พลังงานเฉลี่ยของอิเล็กตรอนที่เกิดจากความร้อนมีค่าน้อยจนสามารถลดลงได้มีอิทธิพลต่อค่าพลังงานการเพิ่มประจุ ทำให้ค่าสัมประสิทธิ์พลังงาน (E_{c_0}) มีค่าประมาณคงที่ที่ 0.89 กล่าวคือ ไม่ขึ้นกับค่าอุณหภูมิ แต่ยังไงไร้ค่า เมื่อค่า $\beta E_c < 10$ พบว่า ค่าสัมประสิทธิ์พลังงาน (E_{c_0}) มีค่าลดลงเมื่ออุณหภูมิมีค่าเพิ่มขึ้น ในช่วงนี้อุณหภูมิ มีค่าสูง ($T > 0.25K$) ทำให้พลังงานเฉลี่ยของอิเล็กตรอนที่เกิดจากความร้อนมีค่าสูงเพียงพอที่จะทำให้การกวัดแก่ว่างทางความร้อนส่งผลให้อิเล็กตรอนสามารถหลุดเข้าไปยังแก๊สโลหะ ดังนั้น เมื่ออุณหภูมิมีค่าสูงขึ้นจึงทำให้ค่าสัมประสิทธิ์พลังงาน (E_{c_0}) ลดลงและสู่เข้าสู่ศูนย์ ($E_c^* / E_c \rightarrow 0$) นั่นคือ ค่าพลังงานการเพิ่มประจุยังคง (E_c^*) จะสู่เข้าสู่ศูนย์ และจะห้อนถึงการที่ปรากฏการณ์การขัดขวางแบบคูลอมบ์ถูกทำลายลงด้วยการกวัดแก่ว่างทางความร้อน

4.3.2 การวิเคราะห์พจน์เอกสารไฟแนนเชียล

ในการวิเคราะห์องค์ประกอบที่เป็นพิษกับชั้นเอกสารไฟแนนเชียล ในกรณีนี้พิจารณาให้ค่าสัมประสิทธิ์พลังงาน (E_{c_0}) เป็นค่าคงที่ จากสมการ (4.62) พบว่า ค่าพลังงานการเพิ่มประจุยังคง $E_c^* / E_c \propto \exp[-\alpha g_i^2]$ ซึ่งมีค่าขึ้นกับค่าพารามิเตอร์ g_i และ α โดยที่ค่าความนำไฟฟ้าร้อน (g_i) เป็นค่าผลรวมของค่าความนำไฟฟ้าที่รอยต่อการหลุดผ่านทั้งสามรอยต่อภายในปืนอิเล็กตรอนเดียว ค่าความนำไฟฟ้าเหล่านี้จะขึ้นกับลักษณะโครงสร้างทางกายภาพของปืนอิเล็กตรอนเดียว เช่น ความหนา ขนาดของรอยต่อ และชนิดของออกไซต์ ดังนั้น ค่าพารามิเตอร์ g_i จึงเสมือนเป็นผลรวมอิทธิพลจากโครงสร้างและลักษณะทางกายภาพของปืนอิเล็กตรอนเดียว หากผลการคำนวณสามารถแสดงอิทธิพลของค่าพารามิเตอร์ g_i ดังภาพประกอบ 4.2 พบว่า เมื่อค่าความนำไฟฟ้าร้อนมีค่าเพิ่มขึ้น ค่าพลังงานการเพิ่มประจุยังคงจะมีค่าลดลงอย่างรวดเร็ว โดยในช่วงที่ค่าความนำไฟฟ้าร้อนมีค่ามากกว่า 3 ($g_i > 3$) กล่าวอีกนัยหนึ่งได้ว่า ค่าความนำไฟฟ้าของการหลุดผ่าน (G_i) มีค่ามากกว่า 3 เท่าของค่าความนำไฟฟ้าทางความตัน (G_k) กล่าวคือ $G_i > 3G_k$ จะทำให้โอกาสที่อิเล็กตรอนจะหลุดผ่านรอยต่อการหลุดผ่านมีค่าเพิ่มขึ้น เนื่องจากการเพิ่มค่าความนำไฟฟ้าร้อนจะทำให้ความหนาของกำแพงศักย์ที่รอยต่อการหลุดผ่านมีค่าลดลงจนไม่สามารถกันอิเล็กตรอนໄว้ได้ อิเล็กตรอนจึงสามารถเคลื่อนที่หลุดผ่านจากขั้วซอร์สไปยังขั้วเดرنได้โดยไม่ต้องใช้พลังงานกระดุนจากภายนอก ในกรณีนี้

ระบบไม่สามารถสังเกตพบประกายการณ์การขัดขวางแบบคูลอมบ์ได้ ค่าพลังงานการเพิ่มประจุยังผล E_C^* จึงมีค่าเท่ากับศูนย์ ปั้มอิเล็กตรอนเดี่ยวจึงสูญเสียความสามารถในการควบคุมอิเล็กตรอนที่ลະ 1 ด้วย

สำหรับค่าพารามิเตอร์ α ซึ่งเป็นค่าความชันของกราฟระหว่าง $\ln(E_C^*/E_C)$ และ g_T^2 มีค่าดังตาราง 4.2

ตาราง 4.2 ความชันของกราฟระหว่าง $\ln(E_C^*/E_C)$ กับค่าความน้ำไฟฟ้ารวมยกกำลังสอง (g_T^2) ในกรณีที่ βE_C อยู่ในช่วง 1 ถึง 20

อัตราส่วนพลังงานการเพิ่มประจุต่อ พลังงานความร้อนเฉลี่ย (βE_C)	อุณหภูมิ $T(mK)$	ความชันของกราฟ α
20	106.7	0.11
15	142.3	0.11
10	213.4	0.11
5	426.8	0.19
1	2133.9	6.25

จากผลการจำลองในตาราง 4.2 พบว่า ความชันของกราฟ (α) มีลักษณะการเปลี่ยนแปลงตามค่า อุณหภูมิตั้งตารางที่ 4.2 กล่าวคือ เมื่ออัตราส่วนระหว่างพลังงานการเพิ่มประจุต่อพลังงานเฉลี่ย $\beta E_C > 10$ ค่าพารามิเตอร์ α มีค่าคงที่ที่ 0.11 เนื่องจากค่า α เป็นสัมประสิทธิ์ของพจน์ g_T^2 ในช่วงนี้ อุณหภูมิไม่ส่งผลต่ออิทธิพลของโครงสร้างทางกายภาพของปั้มอิเล็กตรอนเดี่ยว ในขณะที่ เมื่อค่า $\beta E_C < 10$ ค่าความชันของกราฟ α จะมีค่าเพิ่มขึ้นจึงทำให้พจน์ αg_T^2 มีค่าเพิ่มขึ้น ดังนั้น พจน์ พังก์ชันเอกซ์โพเนนเชียลจึงมีค่าลดลงอย่างรวดเร็ว แสดงให้เห็นว่า ในช่วงนี้ อุณหภูมิได้ส่งผลต่อ อิทธิพลเชิงโครงสร้างทางกายภาพของปั้มอิเล็กตรอนเดี่ยว ดังนั้น ค่า α จึงเป็นพารามิเตอร์ที่กำหนดขนาดของอิทธิพลเชิงโครงสร้างทางกายภาพของปั้มอิเล็กตรอนเดี่ยวต่อค่าพลังงานการเพิ่มประจุยังผล

บทที่ 5

ค่าความนำไฟฟ้าของปั๊มอิเล็กตรอนเดียว

ปรากฏการณ์การขัดขวางแบบคูลอมบ์ที่เกิดในอุปกรณ์อิเล็กตรอนเดียวสามารถศึกษาได้จาก การเปลี่ยนแปลงแรงดันไฟฟ้าที่ข้ามเกตแล้วสังเกตการเปลี่ยนแปลงค่าความนำไฟฟ้าของระบบ ดังที่กล่าวไว้ในบทที่ 2 ดังนั้น เพื่อศึกษาปรากฏการณ์การขัดขวางแบบคูลอมบ์ที่เกิดขึ้นในปั๊มอิเล็กตรอนเดียว ในโครงงานนี้ จึงได้คำนวณค่าความนำไฟฟ้าของปั๊มอิเล็กตรอนเดียว เมื่อจำนวนประจุลบที่ถูกเหนี่ยวนำด้วยแรงดันไฟฟ้าที่ข้ามเกตทั้ง 2 ขั้ว มีค่าเปลี่ยนแปลงไป โดยการประยุกต์ใช้วิธีการของวอล์ลีสเซอร์และคณะ [6] ที่ใช้ในการคำนวณค่าความนำไฟฟ้าของทราบชิตอเรอร์อิเล็กตรอนเดียว ซึ่งผลการคำนวณดังกล่าวสามารถอธิบายผลการทดลองได้อย่างถูกต้อง นอกจากรั้น วิธีการคำนวณดังกล่าว ยังได้ถูกประยุกต์ใช้ในการคำนวณค่าความนำไฟฟ้าสูงสุดและต่ำสุดของปั๊มอิเล็กตรอนเดียวเพื่อเปรียบเทียบกับผลการทดลองจริง [19] แต่เมื่อย่างไรก็ตาม งานวิจัยดังกล่าวได้คำนวณค่าความนำไฟฟ้า เนพาะจุดสูงสุดและต่ำสุด ทำให้ไม่สามารถแสดงปรากฏการณ์การแกว่งกวัตของคูลอมบ์ได้อย่างชัดเจน ดังนั้น ในโครงงานนี้จึงมีวัตถุประสงค์เพื่อศึกษาปรากฏการณ์การแกว่งกวัตของคูลอมบ์ โดยการคำนวณค่าคอร์เรชันฟังก์ชันด้วยวิธีการควบคุมตั้มมอนติคาร์โล จากนั้นนำค่าคอร์เรชันฟังก์ชันที่ได้ไปคำนวณค่าความนำไฟฟ้าโดยใช้วิธีซิงกูลาร์แนวลูดีคอมโพไซตัน (singular-value decomposition method) [15,19] ซึ่งผลการคำนวณค่าความนำไฟฟ้าจะถูกนำไปอธิบายปรากฏการณ์การแกว่งกวัตของคูลอมบ์ โดยการคำนวณห้องหมดใช้ค่าพารามิเตอร์จากการรายงานผลการทดลองปั๊มอิเล็กตรอนเดียวของลิมบัชและคณะ [7]

5.1 พารามิเตอร์

โครงสร้างของปั๊มอิเล็กตรอนเดียวสามารถแสดงด้วยวงจรสมมูลดังภาพประกอบ 2.7 แต่ในทางปฏิบัติการควบคุมการสร้างชั้นออกไซด์และชั้นฟิล์มบางทำได้ยากจึงทำให้ไม่สามารถสร้างปั๊มอิเล็กตรอนเดียวให้มีโครงสร้างที่สมมาตรได้ ความแปรปรวนที่เกิดขึ้นกับชั้นออกไซด์และชั้นฟิล์มบางของโลหะภายใต้แสงอาทิตย์จะส่งผลอย่างมีนัยสำคัญต่อคุณสมบัติทางกายภาพของปั๊มอิเล็กตรอนเดียว รวมถึงจะส่งผลต่อค่าความนำไฟฟ้าและความจุไฟฟ้าของระบบ ดังนั้น ในการจำลองการทำงานของอุปกรณ์นี้ที่อุณหภูมิค่าต่างๆ จึงใช้ค่าพารามิเตอร์ที่แสดงไว้ในตาราง 2.1 จากผลการทดลองของลิมบัชที่ค่า $g_L = 0.52$ และ $g_R = 0.83$ เมื่อพิจารณาความสัมพันธ์ $g \propto d^{-1}$ โดยที่ d หมายถึง ขนาดความกว้างของรอยต่อการหลักผ่าน โดยการประมาณว่า พื้นที่หน้าตัดของรอยต่อทั้งสองมีขนาดเท่ากัน ซึ่งแสดงให้เห็นว่า รอยต่อการหลักผ่านทางซ้ายมีระยะห่างมากกว่ารอยต่อการหลักผ่านทางขวา นอกจากนี้ ขนาดของตัวเก็บประจุที่รอยต่อทางซ้ายมี



ขนาด $C_L = 181aF$ และขนาดของตัวเก็บประจุที่รอยต่อทางขวามีขนาด $C_R = 236aF$ เมื่อพิจารณาว่าระบบเป็นแผ่นตัวนำคู่ขนาน ค่าความจุไฟฟ้าสามารถประมาณได้จากความสัมพันธ์ $C \propto d^{-1}$ ดังนั้น รอยต่อการหลุดผ่าน C_L จึงมีระห่ำมากกว่ารอยต่อการหลุดผ่าน C_R จากการพิจารณาขนาดของตัวเก็บประจุได้ผลลัพธ์ที่สอดคล้องกับผลการวัดค่าความนำไฟฟ้า แสดงให้เห็นว่าโครงสร้างของปั๊มอิเล็กตรอนเดียวที่ลิมบัชสร้างขึ้นมีความไม่สมมาตร ดังนั้น ในการคำนวณค่าความนำไฟฟ้าเพื่อเปรียบเทียบกับผลการทดลองของลิมบัชจำเป็นต้องใช้ค่าพารามิเตอร์ของโครงสร้างที่ไม่สมมาตร โดยความไม่สมมาตรดังกล่าวอาจส่งผลต่อค่าความนำไฟฟ้าของปั๊มอิเล็กตรอนเดียว ซึ่งจะได้ศึกษาผลที่เกิดขึ้นในหัวข้อต่อไป

ในการจำลองการทำงานด้วยวิธีการควบคุมต้มมอนติคาร์โล เพื่อให้สามารถคำนวณค่าความนำไฟฟ้าของปั๊มอิเล็กตรอนเดียวได้อย่างแม่นยำจึงใช้ค่าพารามิเตอร์ดังต่อไปนี้

1) อุณหภูมิ (T) ของระบบ ในโครงงานนี้พิจารณาที่ $T \in \{0.25, 0.30, 0.40, 2.00\} K$ เพื่อให้สอดคล้องกับการทดลองของลิมบัชและเพื่อความสะดวกในการคำนวณด้วยวิธีการควบคุมต้มมอนติคาร์โลจึงได้แปลงค่าพารามิเตอร์ T ให้เป็นค่าพารามิเตอร์ส่วนกลับของอุณหภูมิ (β) และถูกเขียนใหม่เป็นพารามิเตอร์ βE_c ซึ่ง $\beta E_c \in \{8.535, 7.113, 5.334, 1.066\}$ โดยในโครงงานนี้กำหนดให้ พลังงานการเพิ่มประจุ $E_c = 0.184 meV$ [19]

2) ค่าความนำไฟฟ้าของปั๊มอิเล็กตรอนเดียวที่อุณหภูมิสูงนิยามจาก $G_0^{-1} = \sum_{j \in \{L, M, R\}} G_j^{-1}$ เมื่อกำหนดให้ $G_j = g_j G_K$ และค่าความนำไฟฟ้าทางควบคุม $G_K = e^2 / h$

3) ค่าแรงดันไฟฟ้าที่ขั้วเกตทางซ้าย (V_{gL}) และทางขวา (V_{gR}) ถูกแปลงให้เป็นจำนวนประจุลบ ที่ถูกเหนี่ยวนำด้วยแรงดันไฟฟ้าที่ขั้วเกตเพื่อความสะดวกในการคำนวณด้วยวิธีการควบคุมต้มมอนติคาร์โล ซึ่งเป็นพารามิเตอร์ที่ไม่มีหน่วยดังสมการ (3.28) เนื่องจากปั๊มอิเล็กตรอนเดียวประกอบด้วยขั้วเกต 2 ขั้ว ดังนั้น จึงได้กำหนดพารามิเตอร์จำนวนประจุลบที่ถูกเหนี่ยวนำด้วยแรงดันไฟฟ้าที่ขั้วเกตรวม คือ $n_x = n_{L0} + n_{R0}$ และแบ่งการคำนวณเป็น 2 กรณี คือ

กรณีที่ 1 $n_x = [0, 2]$ เมื่อ n_{L0} และ n_{R0} อยู่ในช่วง $[0, 1]$

กรณีที่ 2 $n_x = [0, 1]$ เมื่อ n_{L0} และ n_{R0} อยู่ในช่วง $[0, 0.5]$

โดย n_{L0} และ n_{R0} แต่ละกรณีได้ถูกแบ่งออกเป็น 10 ช่วงเท่าๆ กัน

4) ช่วงเวลาจินตภาพ $\tau \in (0, \beta E_c)$ ถูกแบ่งออกเป็น 128 ส่วนเท่าๆ กัน กล่าวคือ ตัวเลขของกริดเตอร์ $N = 128$ โดยค่าดังกล่าวถูกกำหนดเพื่อให้สอดคล้องกับการแปลงฟاسฟูเรียร์ (fast Fourier transform) [22]

5) โครงงานนี้ได้ใช้จำนวนตัวอย่างสูงในการคำนวณด้วยวิธีการควบคุมต้มมอนติคาร์โล $M = 100,000$ ตัวอย่าง



5.2 การคำนวณค่าคอร์ริเลชันฟังก์ชัน

ในการคำนวณค่าความนำไฟฟ้าของทรายซิสเตอร์อิเล็กตรอนเดียวจำเป็นต้องคำนวณค่าคอร์ริเลชันฟังก์ชันเป็นลำดับแรก ดังแสดงไว้ในหัวข้อ 2.2.2 โดยค่าคอร์ริเลชันฟังก์ชันของปืนอิเล็กตรอนเดียวนิยามได้ดังสมการ

$$C_{K,K'}(\tau) = \left\langle e^{2\pi i (\mathbf{n}_g \cdot \mathbf{k}^T)} H_{K\tau, K'\tau'} [\Phi] \right\rangle \quad (5.1)$$

เมื่อกำหนดให้ $\mathbf{n}_g = (n_{L0}, n_{R0})$ และ $\mathbf{k} = (k_L, k_R)$ โดยที่

$$H_{\tau, \tau'} [\Phi] = \mathfrak{J}_{\tau} [\Phi] \mathfrak{J}_{\tau'} [\Phi] - \mathfrak{J}_{\tau, \tau'} [\Phi] \quad (5.2)$$

เมื่อ

$$\mathfrak{J}_{\tau} [\Phi] = \sum_{K \in \{L, M, R\}} 2e g_K \int_0^\beta d\tau' \alpha(\tau - \tau') \sin[\varphi_K(\tau) - \varphi_K(\tau')] \quad (5.3)$$

และ

$$\mathfrak{J}_{\tau, \tau'} [\Phi] = \sum_{K, K' \in \{L, M, R\}} -2e \delta_{K, K'} g_K \alpha(\tau - \tau') \cos[\varphi_K(\tau) - \varphi_K(\tau')] \quad (5.4)$$

จากสมการ (5.2) พบร้า ค่าคอร์ริเลชันฟังก์ชันของปืนอิเล็กตรอนเดียวประกอบด้วยผลบวกของสองพจน์ เพื่อความสะดวกในการอ้างอิง สมการดังกล่าวถูกเขียนใหม่เป็นดังสมการ

$$C(\tau) = C^{(1)}(\tau) + C^{(2)}(\tau) \quad (5.5)$$

เมื่อ

$$C^{(1)}(\tau - \tau') = \sum_{K \in \{L, M, R\}} \left\langle e^{2\pi i (\mathbf{n}_g \cdot \mathbf{k}^T)} \mathfrak{J}_K [\Phi(\tau)] \mathfrak{J}_K [\Phi(\tau')] \right\rangle \quad (5.6)$$

และ

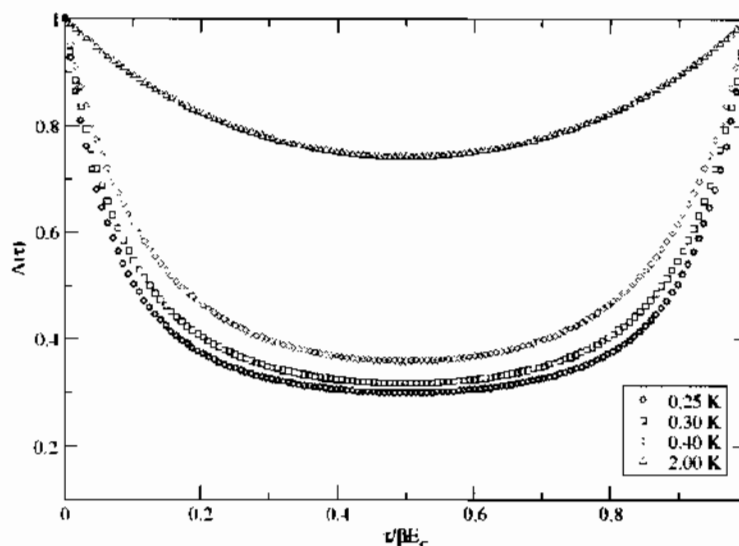
$$\begin{aligned} C^{(2)}(\tau - \tau') &= \sum_{K, K' \in \{L, M, R\}} \left\langle -2e \delta_{K, K'} g_K \alpha(\tau - \tau') \cos[\varphi_K(\tau) - \varphi_K(\tau')] e^{2\pi i (\mathbf{n}_g \cdot \mathbf{k}^T)} \right\rangle \\ &= 4\pi G_0 \alpha(\tau - \tau') A_{\tau, \tau'} [\Phi] \end{aligned} \quad (5.7)$$

เมื่อ

$$\begin{aligned} A_{\tau, \tau'} [\Phi] &= \frac{g_L}{g_L} \langle \cos[\varphi_L(\tau) - \varphi_L(\tau')] \rangle + \frac{g_R}{g_R} \langle \cos[\varphi_R(\tau) - \varphi_R(\tau')] \rangle \\ &\quad + \frac{g_M}{g_M} \langle \cos[\varphi_R(\tau) - \varphi_L(\tau) - \varphi_R(\tau') + \varphi_L(\tau')] \rangle \end{aligned} \quad (5.8)$$

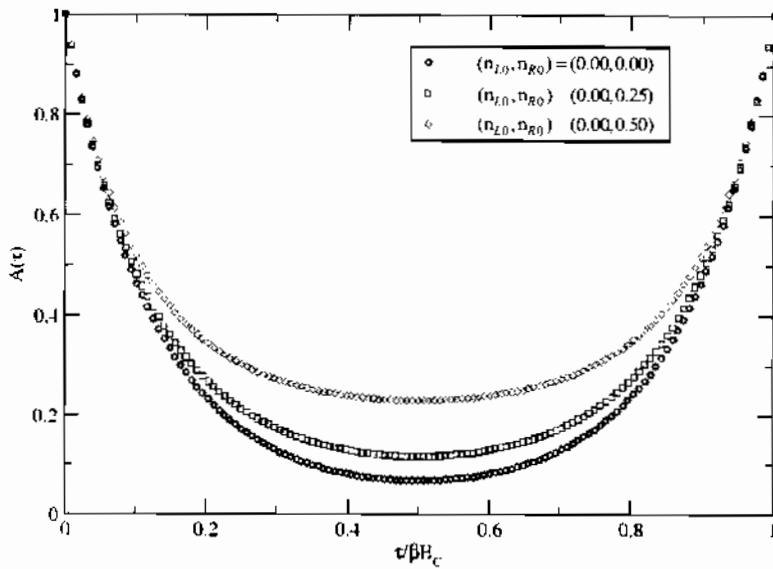
จากการวิจัยของศรีวิไล [19] พบร้า พจน์ $C^{(1)}(\tau)$ มีค่าเป็นศูนย์ทุกค่าอุณหภูมิ ดังนั้น ค่าคอร์ริเลชันฟังก์ชันของปืนอิเล็กตรอนเดียวสามารถคำนวณได้จากพจน์ $C^{(2)}(\tau)$ ของสมการ (5.5) เท่านั้น ดังนั้น โครงการนี้จึงได้ประยุกต์ใช้วิธีการควบคุมมอนติคาร์โลในการคำนวณค่าคาดหมายในสมการ (5.8) ซึ่งใช้โปรแกรมการคำนวณที่ศรีวิไล [19] พัฒนาขึ้นเพื่อใช้คำนวณค่าคอร์ริเลชันฟังก์ชันของปืนอิเล็กตรอน

เดียว โดยในโครงงานนี้ได้คำนวณค่าคอร์ริเลชันพังก์ชันที่ค่า $n_{L0}, n_{R0} = [0, 1]$ เพื่อให้ช่วงการคำนวณ สอดคล้องกับการเปลี่ยนแปลงจำนวนประจุที่เกิดขึ้นภายในแก๊สโลหะตามการทดลองของลิมบัช จาก การคำนวณพบว่า เมื่อนำข้อมูลที่ได้ไปคำนวณค่าความนำไฟฟ้า กราฟค่าความนำไฟฟ้ามีความสมมาตร โดยสามารถแบ่งได้ 2 ช่วง คือ $n_x = [0, 1]$ และ $n_x = [1, 2]$ ซึ่งรายละเอียดได้อธิบายไว้ในหัวข้อที่ 5.4 จากผลการคำนวณดังกล่าวทำให้สามารถลดช่วงการคำนวณค่าคอร์ริเลชันพังก์ชันเป็น $n_{L0}, n_{R0} = [0, 0.5]$ โดยแต่ละค่าได้ถูกแบ่งออกเป็น 10 ช่วงเท่าๆ กัน ดังนั้น ผลการคำนวณจึงมีค่า คอร์ริเลชันพังก์ชันทั้งหมด 121 ค่า ในแต่ละอุณหภูมิ โดยโครงงานนี้ ทำการคำนวณค่าคอร์ริเลชัน พังก์ชันของปืนอิเล็กตรอนเดียวที่อุณหภูมิค่าต่างๆ ในช่วง $\beta E_C \in \{8.535, 7.113, 5.334, 1.066\}$ โดย ตัวอย่างของค่าคอร์ริเลชันพังก์ชันแสดงดังภาพประกอบ 5.1



ภาพประกอบ 5.1 ค่าคอร์ริเลชันพังก์ชันของปืนอิเล็กตรอนเดียวที่อุณหภูมิค่าต่างๆ เมื่อจำนวน ประจุลบที่ถูกเหนี่ยวนำด้วยแรงดันไฟฟ้าที่ขั้วเกต $n_{L0} = 0.3$ และ $n_{R0} = 0.3$

จากการวิจัยของบราวน์และคณะ [23] ได้แสดงให้เห็นว่าค่าความนำไฟฟ้าของอุปกรณ์ อิเล็กตรอนเดียวแปรผันตามค่าปริพันธ์ของคอร์ริเลชันพังก์ชันตลอดช่วง 0 ถึง βE_C กล่าวคือ ถ้าค่า ปริพันธ์มีค่ามากจะส่งผลให้ค่าความนำไฟฟ้ามีค่ามาก จากราคาพประกอบ 5.1 พบว่า ในกรณีที่อุณหภูมิ มีค่าลดลง จะทำให้ค่าคอร์ริเลชันพังก์ชันมีค่าลดลง ดังนั้น สามารถอนุมานได้ว่า เมื่ออุณหภูมิลดต่ำลง ค่าความนำไฟฟ้าของระบบจะมีค่าลดต่ำลง นอกจากนั้น ในราคากล่อง 5.2 ได้แสดงตัวอย่างค่า คอร์ริเลชันพังก์ชันเมื่อจำนวนประจุลบที่ถูกเหนี่ยวนำด้วยแรงดันไฟฟ้าที่ขั้วเกตทางขวา (n_{R0}) มีค่า เปลี่ยนแปลงไป 3 ค่า พบว่า เมื่อ n_{R0} มีค่าเพิ่มขึ้นค่าคอร์ริเลชันพังก์ชันจะมีค่าเพิ่มขึ้น ซึ่งสามารถ กล่าวได้ว่า ค่าความนำไฟฟ้ามีค่าเพิ่มขึ้นเมื่อแรงดันไฟฟ้าที่ขั้วเกตมีค่าเพิ่มขึ้น แต่อย่างไรก็ตาม จาก ตัวอย่างของค่าคอร์ริเลชันพังก์ชันเพียง 3 ค่า ยังไม่สามารถใช้กำหนดเงื่อนไขในการหาค่าความนำไฟฟ้า สูงสุดได้ ซึ่งการกำหนดเงื่อนไขดังกล่าวจะได้อธิบายในหัวข้อ 5.4



ภาพประกอบ 5.2 ค่าคอร์ริเลชันฟังก์ชันที่อุณหภูมิ $T = 0.3 K$ ในกรณีที่จำนวนประจุลบที่ถูกเหนี่ยวนำด้วยแรงดันไฟฟ้าที่ขั้นเกต $n_{L0} = 0$ และ $n_{R0} \in \{0.00, 0.25, 0.50\}$

5.3 การคำนวณค่าสเปคตรัลฟังก์ชันแบบสมมาตร

จากทฤษฎีการตอบสนองแบบเชิงเส้น (linear response theory) [15] ที่ได้แสดงว่าค่าความนำไฟฟ้าขึ้นกับค่าสเปคตรัลฟังก์ชันซึ่งเป็นค่าฟูเรียร์ทرانฟอร์มของค่าคอร์ริเลชันฟังก์ชันในเวลาจริง (real time) แต่ในโครงงานนี้กรณีที่ค่าคอร์ริเลชันฟังก์ชันเป็นฟังก์ชันของเวลาจินตภาพ ในกรณีนี้ค่าสเปคตรัลฟังก์ชันแบบสมมาตรซึ่งสอดคล้องกับค่าคอร์ริเลชันฟังก์ชันในเวลาจินตภาพสามารถคำนวณได้จากความสัมพันธ์ดังสมการ [19]

$$A(\tau) = \int_0^\infty d\omega \frac{\omega \cosh\left(\left[\frac{1}{2}\beta E_C - \tau\right]\omega\right)}{2\pi \sinh\left(\frac{1}{2}\beta E_C \omega\right)} \tilde{A}'(\omega) \quad (5.9)$$

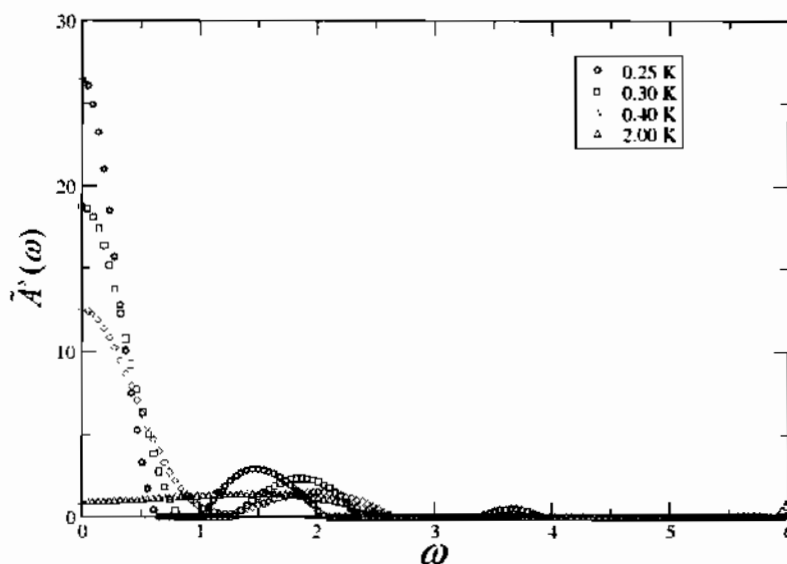
ค่าคอร์ริเลชันฟังก์ชันสามารถคำนวณได้ด้วยวิธีการค่วนต้มอนติการ์โลจากสมการ (5.8) ในขณะที่การคำนวณค่าสเปคตรัลฟังก์ชันแบบสมมาตรในสมการ (5.9) สามารถทำได้ด้วยการแก้ปัญหาแบบผันกลับ (inverse problem) โดยเริ่มจากการใช้ผลรวมของรีมันน์แปลงสมการ (5.9) ให้อยู่ในรูปแบบที่ไม่ต่อเนื่อง ก่อรากคือ

$$A(\tau_i) = \sum_{j=1}^N K_{ij} \tilde{A}'(\omega_j) \quad (5.10)$$

เมื่อ

$$K_{ij} = \frac{\omega_j \cosh\left(\left[\frac{1}{2}\beta E_C - \tau_i\right]\omega_j\right)}{2\pi \sinh\left(\frac{1}{2}\beta E_C \omega_j\right)} \quad (5.11)$$

ในการคำนวณค่าสเปกตรัลฟังก์ชันแบบสมมาตรของปั๊มอิเล็กตรอนเดี่ยวได้ใช้วิธีการซิงค์กูลาร์ แวกุติกอมโพซิชัน ซึ่งผลการคำนวณได้แสดงไว้ในภาพประกอบ 5.3 จากภาพค่าสเปกตรัลฟังก์ชันแบบสมมาตรเป็นฟังก์ชันในโดเมนความถี่ ซึ่งแสดงองค์ประกอบของค่าคอร์ริเลชันฟังก์ชันที่ความถี่ต่างๆ ผลการคำนวณที่ได้ แสดงว่า แอมเพลจูด (amplitude) ของค่าสเปกตรัลฟังก์ชันแบบสมมาตรขึ้นกับความถี่ และมีลักษณะคล้ายกับซินค์ฟังก์ชัน (sinc function) โดยเกิดยอดของสเปกตรัลฟังก์ชันแบบสมมาตรที่ความถี่ต่างๆ แต่อย่างไรก็ตาม ยอดที่เกิดขึ้นจะมีแอมเพลจูดลดลงและมีค่าสูงเข้าใกล้ศูนย์เมื่อความถี่สูงขึ้น ด้วยเหตุนี้ จึงสามารถกำหนดความถี่คัทออฟ (cutoff frequency; ω_{\max}) และใช้ความถี่ตั้งกล่าวเป็นขอบเขตการคำนวณค่าปริพันธ์ เพื่อคำนวณค่าความนำไฟฟ้าของปั๊มอิเล็กตรอนเดี่ยวในสมการ (5.9) ซึ่งทำให้สามารถลดความผุ่งยากและปริมาณการคำนวณของโปรแกรม



ภาพประกอบ 5.3 ค่าสเปกตรัลฟังก์ชันแบบสมมาตรที่อุณหภูมิค่าต่างๆ เมื่อจำนวนประจุลบที่ถูกเหนี่ยวนำด้วยแรงดันไฟฟ้าที่ขั้วเกตรวม $n_g = 0$ ซึ่งมีความถี่คัทออฟ $\omega_{\max} = 6$

จากภาพประกอบ 5.3 พบร้า จุดยอดของกราฟสเปกตรัลฟังก์ชันแบบสมมาตรเกิดการลดลงแบบเอกซ์โพเนนเชียล โดยการลดลงดังกล่าวสามารถหาความสัมพันธ์ได้ คือ $A(\omega) = Ke^{-\omega/\tau}$ โดยปกติ จากสมบัติการลดลงแบบเอกซ์โพเนนเชียลจะประมาณขนาดของค่าสเปกตรัลฟังก์ชันแบบสมมาตร มีค่าเป็น 0 เมื่อ $\omega \geq 5\tau$ จากการคำนวณค่าคงที่ของการลดลงแบบเอกซ์โพเนนเชียล (τ) พบร้า มีค่าเฉลี่ยประมาณ 0.92 ดังนั้น องค์ประกอบหลักของสเปกตรัลฟังก์ชันแบบสมมาตรจึงอยู่ในช่วง 0-4.6 อย่างไรก็ตาม การใช้เงื่อนไข $\omega \geq 5\tau$ จะทำให้สูญเสียองค์ประกอบของสเปกตรัลฟังก์ชันแบบสมมาตรที่มีขนาดเล็กกว่า 1% ของ $A(0)$ เพื่อลดความคลาดเคลื่อนจากการจำกัดขอบเขตการคำนวณจึงขยายช่วงของ ω เป็น 0-6 ดังนั้น การคำนวณค่าความนำไฟฟ้าในโครงงานนี้ จึงกำหนดความถี่คัทออฟเท่ากับ 6 ซึ่งทำให้ขอบเขตของค่าสเปกตรัลฟังก์ชันแบบสมมาตรที่ใช้ในการคำนวณในโครงงานนี้เพิ่มเป็น 0.25%-100% ของ $A(0)$

ผลการคำนวณที่อุณหภูมิ $0.25, 0.30$ และ $0.40 K$ รูปร่างของสเปกตรัลฟังก์ชันแบบสมมาตรมีลักษณะเป็นชิงค์ฟังก์ชันในสภาวะที่ระบบเกิดปรากฏการณ์การแกว่งกวัดของคูลอมบ์ แต่ผลการคำนวณที่อุณหภูมิ $2.00 K$ เส้นกราฟที่คำนวณได้สูญเสียรูปร่างของชิงค์ฟังก์ชัน ซึ่งเป็นอุณหภูมิที่ระบบไม่เกิดปรากฏการณ์การขัดขวางแบบคูลอมบ์ ดังนั้น ลักษณะรูปร่างของสเปกตรัลฟังก์ชันแบบสมมาตรอาจมีความสัมพันธ์กับการเกิดปรากฏการณ์การแกว่งกวัดของคูลอมบ์ ทำให้มีความเป็นไปได้ที่จะใช้รูปร่างของกราฟสเปกตรัลฟังก์ชันแบบสมมาตรในการท่านายการเกิดปรากฏการณ์การแกว่งกวัดของคูลอมบ์

5.4 การคำนวณค่าความนำไฟฟ้า

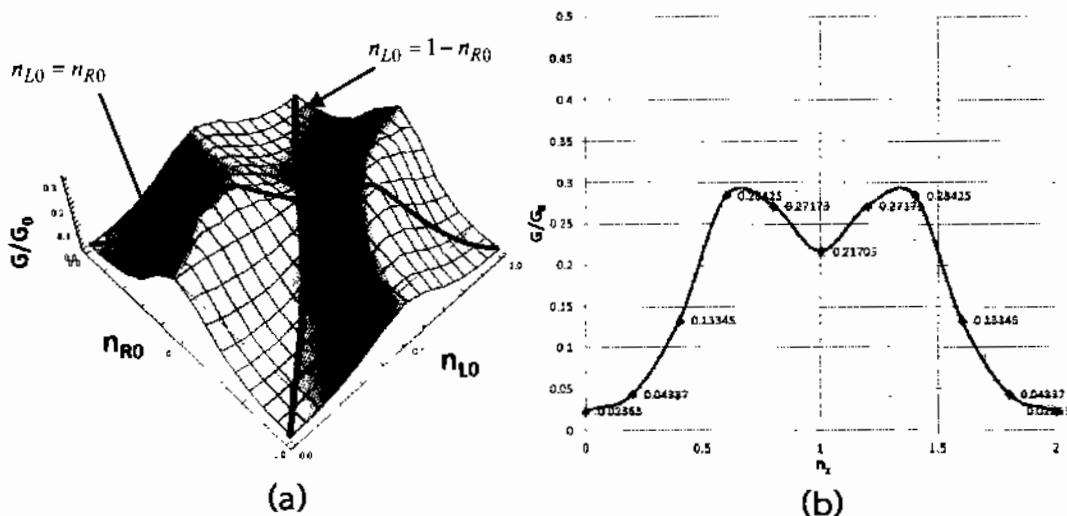
ค่าความนำไฟฟ้าของปั๊มอิเล็กตรอนเดียวสามารถคำนวณได้จากค่าสเปกตรัลฟังก์ชันแบบสมมาตรตามความสัมพันธ์ของสมการ

$$G = \frac{\beta E_c G_0}{2\pi} \int_0^{\omega_{max}} d\omega \frac{\omega^2}{\cosh(\beta E_c \omega) - 1} \tilde{A}^s(\omega) \quad (5.12)$$

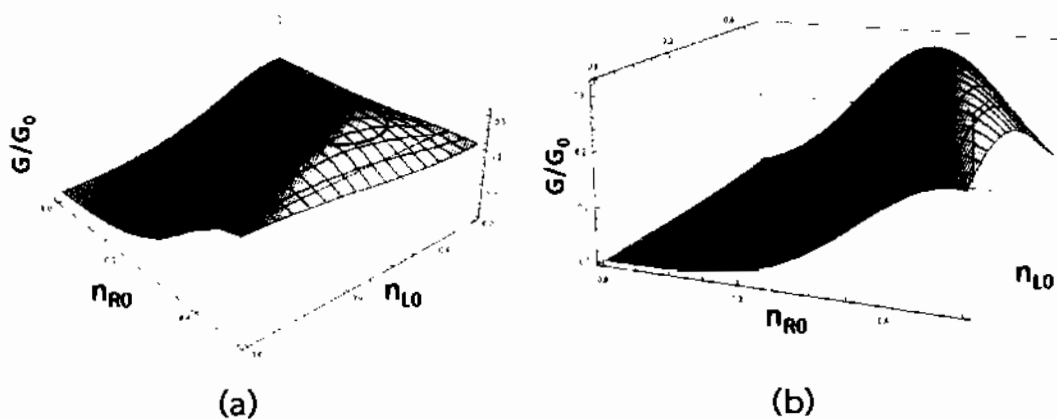
จากสมการ (5.8) ขอบเขตของการคำนวณค่าปริพันธ์มีค่าจาก 0 ถึง ω_{max} ทำให้ไม่สามารถคำนวณได้โดยตรง แต่อย่างไรก็ตาม จากผลการคำนวณค่าสเปกตรัลฟังก์ชันแบบสมมาตรในหัวข้อ 5.3 พบว่า ค่าสเปกตรัลฟังก์ชันแบบสมมาตรมีค่าลดลงอย่างรวดเร็วเมื่อความถี่มีค่าเพิ่มสูงขึ้น ทำให้ขอบเขตของการคำนวณค่าปริพันธ์สามารถกำหนดด้วยความถี่คักหอฟ ในโครงงานนี้ ค่าความนำไฟฟ้าของปั๊มอิเล็กตรอนเดียวถูกคำนวณด้วยเทคนิคซิงค์ูลาร์ແวลูติกอนໂโพซิชัน โดยใช้ความถี่คักหอฟ $\omega_{max} = 6$ ในการคำนวณค่าปริพันธ์ดังสมการ (5.12) จากลักษณะเชิงโครงสร้างของปั๊มอิเล็กตรอนเดียวที่มีจำนวนอิเล็กตรอนส่วนเกินอยู่ในช่วง 0 ถึง 2 อิเล็กตรอน จึงใช้ขอบเขตจำนวนอิเล็กตรอนดังกล่าวมากำหนดช่วงของค่าพารามิเตอร์ $n_x = [0, 2]$ ผลการคำนวณเบื้องต้นแสดงในภาพประกอบ 5.4 โดยผลการคำนวณแสดงให้เห็นว่าเกิดจุดสูงสุดของค่าความนำไฟฟ้า 2 จุด ซึ่งกราฟที่เกิดขึ้นลักษณะนี้สอดคล้องกับโครงสร้างของปั๊มอิเล็กตรอนเดียวที่ประกอบด้วยเกาะโลหะ 2 เกาะ และสอดคล้องกับผลการวัดค่าความนำไฟฟ้าของปั๊มอิเล็กตรอนเดียวจากการทดลองของลิมบัชในภาพประกอบ 2.9

ลักษณะโครงร่าง 3 มิติ ที่เกิดขึ้นในภาพประกอบ 5.4 มีความสมมาตรตามเงื่อนไข $n_{L0} = n_{R0}$ และ $n_{L0} = 1 - n_{R0}$ แต่อย่างไรก็ตาม ภายใต้เงื่อนไขที่ $n_{L0} = 1 - n_{R0}$ จะไม่แสดงปรากฏการณ์การแกว่งกวัดของคูลอมบ์ดังแสดงด้วยแนวเส้นสีดำเนินภาพประกอบ 5.4 (a) ในโครงงานนี้ จึงศึกษาการเกิดปรากฏการณ์การแกว่งกวัดของคูลอมบ์ภายใต้เงื่อนไข $n_{L0} = n_{R0}$ โดยคำนวณค่าความนำไฟฟ้าต่อค่าความนำไฟฟ้าที่อุณหภูมิสูง (G/G_0) ของปั๊มอิเล็กตรอนเดียว ซึ่งกราฟที่ได้มีลักษณะดังภาพประกอบ 5.4 (b) แต่จากข้อจำกัดของระยะเวลาในการดำเนินโครงงานและประสิทธิภาพของคอมพิวเตอร์ ใน

โครงงานนี้จึงทำการลดช่วงค่าพารามิเตอร์ n_x จาก $n_x = [0, 2]$ เป็น $n_x = [0, 1]$ โดยกำหนดให้ $n_{L0} = [0, 0.5]$ และ $n_{R0} = [0, 0.5]$ ทำให้ผลการคำนวณมีความละเอียดเพิ่มขึ้น และส่งผลให้การคำนวณดำเนินของค่าความนำไฟฟ้าสูงสุดมีค่าใกล้เคียงกับค่าจริงมากยิ่งขึ้น นอกจากนี้ ด้วยลักษณะความสมมาตรที่เกิดขึ้น การลดช่วงของค่าพารามิเตอร์ n_x ดังกล่าวทำให้ภาระงานในการคำนวณถูกลดลง 4 เท่า



ภาพประกอบ 5.4 ค่าความนำไฟฟ้าของปั๊มอิเล็กตรอนเดียวเมื่อจำนวนประจุลบที่ถูกเหนี่ยวนำด้วยแรงดันไฟฟ้าที่ขั้วเกตรวมอยู่ในช่วง $n_x = [0, 2]$ (a) ค่าความนำไฟฟ้าที่ประกอบด้วยข้อมูล 121 จุด (b) ปรากฏการณ์การแกกว่างกวัตของคูลومบ์ที่อุณหภูมิ $0.3K$ ของปั๊มอิเล็กตรอนเดียวภายใต้เงื่อนไขที่ $n_{L0} = n_{R0}$

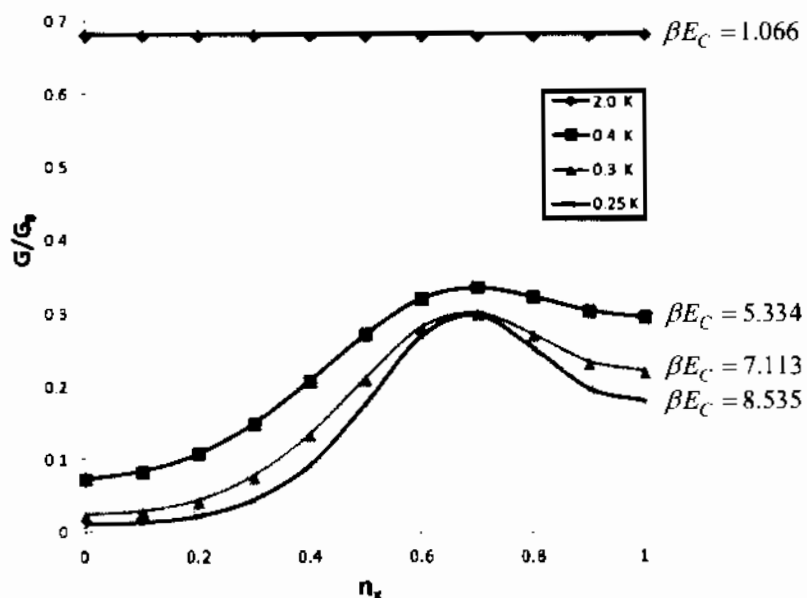


ภาพประกอบ 5.5 ผลการคำนวณค่าความนำไฟฟ้าของปั๊มอิเล็กตรอนเดียวที่อุณหภูมิ $T = 0.3K$ (a) ค่าความนำไฟฟ้าที่สร้างจากคู่อันดับจำนวน 121 คู่อันดับ ในลักษณะ 3 มิติ (b) ค่าความนำไฟฟ้าสูงสุดที่ได้จากเทคนิคการคำนวณแบบเกาส์เซียนพิท $G_{max}/G_0 = 0.316$ เกิดขึ้นที่จุด $(n_{L0}, n_{R0}) = (0.371, 0.320)$

โครงการนี้ต้องการคำนวณค่าความนำไฟฟ้าเพื่อแสดงแนวโน้มของการเกิดปรากฏการณ์การแก่งกวัดของคูลอมบ์และทำการวิเคราะห์เปรียบเทียบกับค่าความนำไฟฟ้าของลิมบัช ซึ่งค่าความนำไฟฟ้าที่คำนวณได้จาก n_x ค่าต่างๆ ถูกนำมาใช้เป็นข้อมูลสำหรับสร้างกราฟค่าความนำไฟฟ้า 3 มิติ โดยบริเวณรอบๆ จุดสูงสุดที่ได้จากการจำลองถูกนำไปใช้ในการคำนวณค่าความนำไฟฟ้าสูงสุดด้วยเทคนิคการคำนวณแบบเกาส์เชียนพิต (Gaussien fit) [19] แม้ข้อมูลที่ใช้มีข้อจำกัดในด้านความละเอียดแต่ด้วยเทคนิคการคำนวณแบบเกาส์เชียนพิตช่วยให้สามารถคำนวณจุดที่เกิดค่าความนำไฟฟ้าสูงสุดได้ถูกต้องมากยิ่งขึ้น ข้อมูลที่ได้จากการคำนวณจึงสามารถใช้เปรียบเทียบในเชิงคุณภาพกับผลการทดลอง โดยด้วยร่างโครงสร้างของค่าความนำไฟฟ้าจากการคำนวณได้แสดงดังภาพประกอบ 5.5 (a) ซึ่งแสดงจุดยอดอยู่ในบริเวณ $0.3 \leq n_{L0} \leq 0.5$ และ $0.2 \leq n_{R0} \leq 0.3$ เมื่อนำค่าความนำไฟฟ้าในบริเวณดังกล่าวไปคำนวณค่าความนำไฟฟ้าสูงสุดโดยใช้เทคนิคเกาส์เชียนพิต ผลลัพธ์ที่ได้แสดงดังภาพประกอบ 5.5 (b) โดยค่าความนำไฟฟ้าสูงสุดที่อุณหภูมิค่าต่างๆ สามารถคำนวณได้ในลักษณะเดียวกันด้วยวิธีการคำนวณที่ได้กล่าวมาข้างต้น

5.5 ผลการคำนวณค่าความนำไฟฟ้า

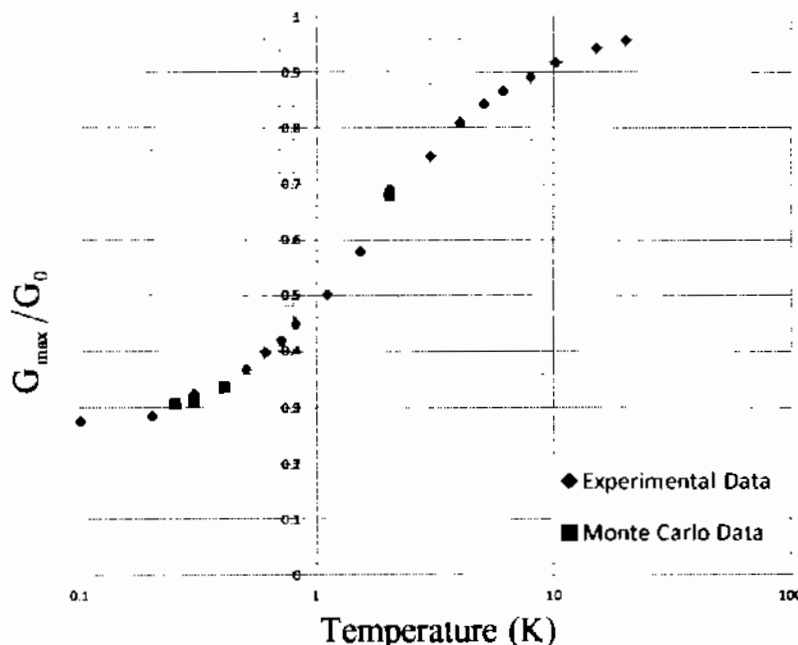
การคำนวณค่าความนำไฟฟ้าของปีมอเล็กตรอนเดียวที่อุณหภูมิค่าต่างๆ กล่าวคือ $T \in \{2.0, 0.4, 0.3, 0.25\} K$ เมื่อ n_{L0} และ n_{R0} อยู่ในช่วง $[0, 0.5]$ เพื่อใช้สร้างกราฟของค่าความนำไฟฟ้า 3 มิติ ดังภาพประกอบ 5.5 (a) จากนั้น นำข้อมูล 3 มิติ ที่ได้มาสร้างกราฟ 2 มิติ บนระนาบ $n_{L0} = n_{R0}$ เพื่อแสดงแนวโน้มการเกิดปรากฏการณ์การแก่งกวัดของคูลอมบ์ที่อุณหภูมิค่าต่างๆ



ภาพประกอบ 5.6 แนวโน้มการเกิดการแก่งกวัดของคูลอมบ์ของปีมอเล็กตรอนเดียวที่อุณหภูมิค่าต่างๆ $T \in \{2.0, 0.4, 0.3, 0.25\} K$ โดยที่ n_x อยู่ในช่วง $[0, 1]$

จากภาพประกอบ 5.6 พบรวม ในสภาวะที่ปั๊มอิเล็กตรอนเดี่ยวทำงานที่อุณหภูมิสูง ($T = 2.0\text{ K}$ และ $\beta E_c = 1.066$) ผลที่ได้สอดคล้องกับผลการทดลองของปั๊มอิเล็กตรอนเดี่ยว กล่าวคือ เมื่อ $\beta E_c \leq 2$ ค่าความนำไฟฟ้าจะไม่ขึ้นกับแรงดันไฟฟ้าที่ขั้วเกต ทำให้ไม่สามารถควบคุมอิเล็กตรอนที่หลุดเข้ามาภายในกระแสโดยด้วยแรงดันไฟฟ้าที่ขั้วเกตทั้งสองข้างได้ ดังนั้น อิเล็กตรอนจึงสามารถเคลื่อนที่ผ่านปั๊มอิเล็กตรอนเดี่ยวได้โดยไม่ต้องอาศัยแรงดันไฟฟ้าจากขั้วเกต จากผลดังกล่าวแสดงให้เห็นว่า ปรากฏการณ์การแก่งกวัดของคูลอมบ์สามารถถูกทำลายด้วยพลังงานความร้อน โดยพลังงานความร้อนจะทำให้พลังงานเฉลี่ยของอิเล็กตรอนภายในระบบมีค่าเพิ่มขึ้น ดังนั้น อิเล็กตรอนจึงสามารถทะลุผ่านโครงสร้างของปั๊มอิเล็กตรอนเดี่ยวได้โดยอิสระ

ในการณ์ที่ระบบมีอุณหภูมิต่ำ ($T \leq 0.4\text{ K}$ หรือ $\beta E_c \geq 5.334$) ปรากฏจุดยกสับของค่าความนำไฟฟ้าที่ตำแหน่ง $n_x \approx 0.7$ ซึ่งตำแหน่งดังกล่าวมีค่าใกล้เคียงกับค่าที่ได้จากการคำนวณตำแหน่งค่าความนำไฟฟ้าสูงสุดด้วยแผนภาพเส้นยิรินบทที่ 3 และค่าความนำไฟฟ้าเปลี่ยนแปลงไปตามการเปลี่ยนแปลงจำนวนประจุลบที่ถูกเหนี่ยวนำด้วยแรงดันไฟฟ้าที่ขั้วเกต แสดงว่าแรงดันไฟฟ้าที่ขั้วเกตมีอิทธิพลต่อการควบคุมอิเล็กตรอนในการทะลุผ่านโครงสร้างของปั๊มอิเล็กตรอนเดี่ยวในช่วงอุณหภูมิต่ำ โดยกราฟที่ได้มีลักษณะสอดคล้องกับผลการทดลองของลิมบัช ดังนั้น ในกรณีนี้ค่าความนำไฟฟ้ามีค่าเปลี่ยนแปลงไปเมื่อแรงดันไฟฟ้าที่ขั้วเกตมีค่าเปลี่ยนแปลง กล่าวคือ ระบบแสดงปรากฏการณ์การแก่งกวัดของคูลอมบ์ ซึ่งแสดงให้เห็นว่าการเปลี่ยนแปลงดังกล่าวสามารถทำนายได้โดยการคำนวณทางทฤษฎี



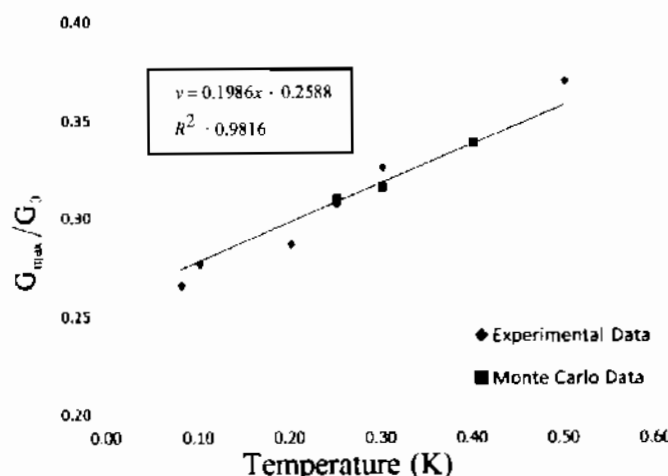
ภาพประกอบ 5.7 การเปรียบเทียบค่าความนำไฟฟ้าสูงสุดของปั๊มอิเล็กตรอนเดี่ยวที่เป็นฟังก์ชันของอุณหภูมิ โดยเปรียบเทียบระหว่างผลการคำนวณด้วยวิธีการควบคุมมอนติคาร์โลกับผลการทดลองของลิมบัชและคณ์ [7]

จากการศึกษาปรากฏการณ์การแกว่งกวัดของคูลอมบ์ที่เกิดขึ้นในปั๊มอิเล็กตรอนเดี่ยว สามารถทำได้โดยการศึกษาจากผลของแรงดันไฟฟ้าที่ขึ้นกับต่อค่าความนำไฟฟ้าของระบบดังที่กล่าวไว้ข้างต้น นอกจากนี้ ในโครงงานนี้ยังได้ศึกษาอิทธิพลของอุณหภูมิต่อค่าความนำไฟฟ้าสูงสุดของปั๊มอิเล็กตรอนเดี่ยว และเปรียบเทียบค่าความนำไฟฟ้าสูงสุดที่คำนวณได้กับผลการทดลองของลิมบัชดังภาพประกอบ 5.7 จากเส้นกราฟที่ได้แสดงให้เห็นว่า ผลการคำนวณมีความสอดคล้องกับผลจากการทดลองทั้งในสภาวะที่อุณหภูมิต่ำและในสภาวะที่อุณหภูมิสูง โดยผลการเปรียบเทียบมีค่าความคลาดเคลื่อนดังตาราง 5.1

ตาราง 5.1 ผลการเปรียบเทียบค่าความนำไฟฟ้าสูงสุดจากการคำนวณด้วยวิธีการคำนวณต้มมอนติคาร์โลกับผลการทดลองของลิมบัช

อุณหภูมิ (K)	ผลการคำนวณ G_{\max}/G_0	ผลการทดลอง G_{\max}/G_0	ความคลาดเคลื่อน (%)
2.00	0.682	0.693	1.612
0.40	0.339	0.339	0.000
0.30	0.316	0.326	3.164
0.25	0.310	0.307	0.967

จากตาราง 5.1 ค่าความคลาดเคลื่อนอาจเกิดจากข้อจำกัดของความละเอียดในการแบ่งช่วงการคำนวณ ทำให้ข้อมูลที่ได้ไม่เพียงพอสำหรับการคำนวณค่าความนำไฟฟ้าสูงสุดอย่างแม่นยำ เช่น การแบ่งช่วงค่าพารามิเตอร์ g_x เพื่อคำนวณค่าความนำไฟฟ้าสูงสุดของปั๊มอิเล็กตรอนเดี่ยว เป็นต้น อย่างไรก็ตาม ค่าความคลาดเคลื่อนที่เกิดขึ้นมีค่าน้อยกว่า 5 % แสดงให้เห็นว่า ผลการคำนวณที่ได้สามารถนำมาศึกษาอิทธิพลของปัจจัยต่างๆ ต่อค่าความนำไฟฟ้าของปั๊มอิเล็กตรอนเดี่ยว



ภาพประกอบ 5.8 ค่าความนำไฟฟ้าสูงสุดของปั๊มอิเล็กตรอนเดี่ยวที่ได้จากการคำนวณด้วยวิธีการคำนวณต้มมอนติคาร์โลและจากการทดลองของลิมบัชและคณะ [7] ที่อุณหภูมิต่ำ

จากข้อมูลของค่าความนำไฟฟ้าที่คำนวณได้จากการควบคุมด้วยตัวการโลสารสามารถสร้างสมการเส้นตรง เพื่อธิบายค่าความนำไฟฟ้าสูงสุดในช่วงอุณหภูมิต่ำกว่า $1K$ ได้ดังภาพประกอบ 5.8 กล่าวคือ

$$\frac{G_{\max}}{G_0} = 0.1986T + 0.2588 \quad (5.13)$$

ในทฤษฎีกอลสาสตร์แบบฉบับค่าความนำไฟฟ้าของระบบที่อุณหภูมิ $0K$ จะมีค่าเป็น $0 \mu S$ เมื่อจากอิเล็กตรอนจะไม่มีพลังงานเหลือจากการร้อนซึ่งให้เกิดโอกาสในการเคลื่อนที่ทางลุ่มผ่านโครงสร้างของปั๊มอิเล็กตรอนเดียว ทำให้อิเล็กตรอนไม่สามารถเคลื่อนที่ผ่านปั๊มอิเล็กตรอนเดียวได้ แต่ความสัมพันธ์ในสมการ (5.13) ซึ่งได้จากการคำนวณบนพื้นฐานของข้อมูลจากการทดลองจริงได้ทำนายค่าความนำไฟฟ้าสูงสุดที่อุณหภูมิ $0K$ เป็น $0.2588G_0 \mu S$ ค่าความนำไฟฟ้าที่เกิดขึ้นแสดงให้เห็นว่า ระบบได้รับพลังงานศักย์จากภายนอกผ่านทางขั้วซอร์ส ขั้วเดرنและขั้วเกต จึงทำให้อิเล็กตรอนมีโอกาสที่จะเคลื่อนที่ผ่านปั๊มอิเล็กตรอนเดียวได้ในสภาวะที่อุณหภูมิ $0K$ ซึ่งสอดคล้องกับผลการทดลองของลินบัช ที่สามารถวัดค่าความนำไฟฟ้าสูงสุดได้ในบริเวณ $\eta_s \approx 0.7$ และด้วยปั๊มอิเล็กตรอนเดียวได้รับพลังงานศักย์ผ่านขั้วเกตทั้ง 2 ขั้ว ดังนั้น ผลการคำนวณที่ได้สามารถจำลองการทำงานและสะท้อนสภาวะการทำงานจริงของปั๊มอิเล็กตรอนเดียวได้อย่างสอดคล้องกับปรากฏการณ์ที่เกิดขึ้นจริง

บทที่ 6

สรุปผลและข้อเสนอแนะ

6.1 สรุปผล

จากวัตถุประสงค์ของโครงการที่ต้องการศึกษาปัจมีอิเล็กตรอนเดี่ยวตัววิธีการควบคุมด้วยมอนติคาร์โล จากการศึกษาแผนภาพเสถียร พลังงานการเพิ่มประจุยังผลและปรากฏการณ์การแก่งกวัดของคูลอมบ์ สามารถสรุปผลการศึกษาได้ดังดังไปนี้ ในการศึกษาการสร้างแผนภาพเสถียรของปัจมีอิเล็กตรอนเดี่ยวพบว่าแผนภาพดังกล่าวสามารถสร้างจากสมการพลังงานการเพิ่มประจุรวมของปัจมีอิเล็กตรอนเดี่ยว ซึ่งพลังงานดังกล่าวขึ้นอยู่กับจำนวนประจุที่รออยู่ต่อการหลุดผ่านในเกาโลหะทั้งชั้ยและทางขวา เมื่อพิจารณาการส่งผ่านของประจุซึ่งเกิดจากการหลุดผ่านของอิเล็กตรอนที่สามารถเกิดขึ้นได้ในทุกรัตน์พบว่า ผลต่างของพลังงานในแต่ละกรณีเป็นสมการเส้นตรง ในสภาวะปกติเส้นตรงที่ได้จะตัดกันเป็นรูปหกเหลี่ยม โดยบริเวณภายในรูปหกเหลี่ยมเป็นบริเวณที่ไม่เกิดการเคลื่อนที่ของอิเล็กตรอนผ่านเกาโลหะทั้งสองของปัจมีอิเล็กตรอนเดี่ยว นอกจากนี้แผนภาพเสถียรสามารถแสดงจุดทริปเปิลพอยท์ ที่จุดดังกล่าวสามารถเคลื่อนที่จากชั้วชาอร์สไปยังชั้วเดรน หรือจากชั้วเดรนกลับมายังชั้วชาอร์สได้ ซึ่งคุณสมบัติดังกล่าวเป็นคุณสมบัติที่สำคัญของปัจมีอิเล็กตรอนเดี่ยว นอกจากนี้ จุดทริปเปิลพอยท์ที่ได้จากแผนภาพเสถียรสามารถใช้ทำนายตำแหน่งที่เกิดค่าความนำไฟฟ้าสูงสุดได้อย่างถูกต้อง และสามารถแสดงให้เห็นถึงการระบุกันของฟังก์ชันคลื่นของเกาโลหะทั้งสอง ผ่านการเปลี่ยนแปลงค่าพารามิเตอร์ C_M ซึ่งพบว่า แผนภาพเสถียรจะมีรูปร่างและลักษณะเปลี่ยนแปลงตามค่าพารามิเตอร์ C_M ที่เปลี่ยนไป โดยรูปร่างของแผนภาพเสถียร แต่ละลักษณะจะสามารถสะท้อนถึงความแรงของการระบุกันระหว่างฟังก์ชันคลื่นของเกาโลหะทั้งสองเกา ดังนั้น จึงสามารถสรุปได้ว่าด้วยแบบ C_M เป็นตัวแปรที่แสดงการระบุกันของฟังก์ชันคลื่น

ค่าพลังงานการเพิ่มประจุยังผลของปัจมีอิเล็กตรอนเดี่ยวเป็นพารามิเตอร์ที่แสดงถึงความเด่นชัดของปรากฏการณ์การขัดขวางแบบคูลอมบ์ โดยนิยามจากจำนวนอิเล็กตรอนเฉลี่ยรวมที่หลุดผ่านอยู่ต่อการหลุดผ่านของปัจมีอิเล็กตรอนเดี่ยวเทียบกับค่าประจุลบที่ถูกเหนี่ยวนำด้วยแรงดันไฟฟ้าที่ชั่วเกต ซึ่งปริมาณดังกล่าว สามารถคำนวณได้โดยใช้วิธีการควบคุมด้วยมอนติคาร์โล จากผลการคำนวณค่าพลังงานการเพิ่มประจุยังผล พบว่า กรณีที่สามารถสังเกตปรากฏการณ์การขัดขวางแบบคูลอมบ์ได้เด่นชัดที่สุดค่า E_c^+ / E_r^- มีค่าน้อยกว่า 1 โดยมีค่าประมาณ 0.89 ซึ่งอาจเกิดจากการระบุกันระหว่างฟังก์ชันคลื่นของอิเล็กตรอนในเกาโลหะทั้งสอง และจากการคำนวณ พบว่า ค่าพลังงานดังกล่าวขึ้นอยู่กับค่าความนำไฟฟ้ารวมของระบบ โดยจะมีค่าลดลงแบบเอกซ์โพเนนเชียล เมื่อค่าความนำไฟฟ้ารวมมีค่าเพิ่มขึ้น รวมทั้งเมื่ออุณหภูมิมีค่าสูงขึ้นค่าพลังงานการเพิ่มประจุยังผลจะมีค่าลดลง ซึ่งสามารถสร้างความสัมพันธ์อย่างง่ายได้เป็น $E_c^+ / E_r^- = E_{c0} e^{-\alpha x}$ จากผลการจำลองการทำงานของปัจมีอิเล็กตรอน

เดียว แสดงให้เห็นว่า ปรากฏการณ์ขัดขวางแบบคูลอมบ์สามารถเกิดขึ้นได้ เมื่อค่าความนำไฟฟ้าของระบบมีค่าน้อยกว่าค่าความนำไฟฟ้าทางด้านอย่างน้อย 3 เท่า ($G_T \leq 3G_X$) ซึ่งเป็นสภาวะที่ระบบสามารถกักเก็บอิเล็กตรอนได้ โดยเงื่อนไขที่สำคัญต้องที่กล่าวมาข้างต้น สามารถนำไปใช้ในการออกแบบและประยุกต์ใช้งานปั๊มอิเล็กตรอนเดียวได้

จากการคำนวณค่าความนำไฟฟ้าของปั๊มอิเล็กตรอนเดียวด้วยวิธีการควบคุมอนติคาโรโลในช่วง $\eta_x = [0,2]$ กราฟค่าความนำไฟฟ้าแบบ 3 มิติ เกิดความสมมาตรภายใต้เงื่อนไข $n_{L0} = n_{R0}$ ทำให้สามารถแสดงปรากฏการณ์การแก่งกวัดแบบคูลอมบ์ได้โดยการสร้างกราฟ 2 มิติ ด้วยเงื่อนไขดังกล่าว ดังนี้ เพื่อลดทรัพยากรในการคำนวณจึงลดขอบเขตการคำนวณจาก $\eta_x = [0,2]$ เป็น $\eta_x = [0,1]$ และใช้จุดการคำนวณเป็น 121 จุด เพื่อให้ได้จุดคำนวณค่าความนำไฟฟ้าที่ละเอียด จากนั้นนำผลการจำลองค่าความนำไฟฟ้าไปกำหนดตำแหน่งค่าความนำไฟฟ้าสูงสุดโดยใช้วิธีการปรับเส้นโค้งด้วยฟังก์ชันเก้าอี้เชิง ซึ่งตำแหน่งนี้ในแผนภาพแสดงเรียกว่า จุดทริปเปิลพอยท์ โดยจุดดังกล่าวเป็นจุดการทำงานของปั๊มอิเล็กตรอนเดียวที่อิเล็กตรอนสามารถเคลื่อนที่ผ่านเก้าอี้เหละห้องไปยังขั้วไฟฟ้าอีกด้านหนึ่งได้สูงสุด

ในกรณีอุณหภูมิต่ำ ($\beta E_c > 2$) ค่าความนำไฟฟ้าของปั๊มอิเล็กตรอนเดียวจะขึ้นอยู่กับค่าจำนวนประจุคลบที่ถูกเหนี่ยวนำด้วยแรงดันไฟฟ้าที่ขั้วเกต โดยผลการคำนวณได้แสดงบริเวณที่เกิดค่าความนำไฟฟ้าสูงสุด ดังนี้ จึงกล่าวได้ว่า ในกรณีที่เพลิงงานการเพิ่มประจุมีค่ามากกว่าเพลิงงานเฉลี่ยของอิเล็กตรอน การเปลี่ยนแปลงค่าแรงดันไฟฟ้าที่ขั้วเกตอย่างเหมาะสม จะทำให้สามารถควบคุมการเคลื่อนที่ของอิเล็กตรอนที่ละเอียดนี้ด้วยผ่านปั๊มอิเล็กตรอนเดียวได้ แต่ในสภาวะอุณหภูมิสูง ($\beta E_c \leq 2$) ระบบจะไม่สามารถแสดงปรากฏการณ์การแก่งกวัดของคูลอมบ์ โดยไม่สามารถสังเกตพบจุดที่เกิดค่าความนำไฟฟ้าสูงสุด ประกอบกับค่าความนำไฟฟ้าของปั๊มอิเล็กตรอนเดียวไม่ขึ้นอยู่กับค่าจำนวนประจุคลบที่ถูกเหนี่ยวนำด้วยแรงดันไฟฟ้าที่ขั้วเกต จากผลการคำนวณทั้งที่สภาวะอุณหภูมิสูงและที่สภาวะอุณหภูมิต่ำ เมื่อนำค่าความนำไฟฟ้าสูงสุดไปเปรียบเทียบกับผลการทดลองของลิมบัช พบว่า ผลการคำนวณสอดคล้องกับผลการทดลอง โดยมีค่าความคลาดเคลื่อนน้อยกว่า 5 %

6.2 ข้อเสนอแนะ

1. จากการศึกษาการสร้างแผนภาพเสถียรของปั๊มอิเล็กตรอนเดียวในบทที่ 3 เป็นการศึกษาเฉพาะในกรณีที่ให้แรงดันไฟฟ้าที่ขั้วเกตเพียงสองขั้วเท่านั้นและกำหนดให้แรงดันไฟฟ้าที่ขั้วซอร์สและขั้วเดренมีค่าประมาณศูนย์ โดยแผนภาพเสถียรในกรณีนี้สามารถอธิบายการส่งผ่านของอิเล็กตรอนได้อย่างสมบูรณ์ ดังนั้น ในการศึกษาแผนภาพเสถียรควรศึกษาในกรณีที่เพิ่มค่าแรงดันไฟฟ้าที่ขั้วซอร์สและขั้วเดรนไม่เท่ากับศูนย์ เพื่อให้สามารถอธิบายการส่งผ่านของอิเล็กตรอนได้อย่างครอบคลุมทุกเงื่อนไข

2. ในการศึกษาตำแหน่งของค่าความนำไฟฟ้าสูงสุดจากประกายการณ์การแก้วงกวัดแบบคูลอมบ์ พบว่า ค่าความนำไฟฟ้าเป็นพิมพ์ชั้นของ k_x แต่แผนภาพเสถียรของปืนอิเล็กตรอนเดียวในกรณีสร้างให้อยู่ในระนาบ k_{x_0} และ k_{y_0} ดังนั้น ในการศึกษาแผนภาพเสถียรควรสร้างให้อยู่ในระนาบ k_x และ k_y เมื่อ k_x และ k_y ถูกนิยามดังสมการที่ (2.40) และ (2.41) ตามลำดับ เพื่อให้สามารถระบุตำแหน่งของค่าความนำไฟฟ้าสูงสุดได้อย่างถูกต้องแม่นยำ

3. ใน การศึกษาอิทธิพลของอุณหภูมิที่มีผลต่อค่าพลังงานการเพิ่มประจุยังผลของปืนอิเล็กตรอนเดียว ควรแบ่งช่วงของอุณหภูมิออกเป็นสองช่วง คือ ช่วงที่อุณหภูมิต่ำ ($\beta E_c \geq 2$) และช่วงที่อุณหภูมิสูง ($\beta E_c < 2$) เนื่องจากประกายการณ์ที่เกิดขึ้นในช่วงอุณหภูมิทั้งสองมีความแตกต่างกันอย่างมีนัยสำคัญ นอกจากนั้น จะทำให้สามารถอธิบายประกายการณ์การขัดขวางแบบคูลอมบ์ได้ดียิ่งขึ้น และ ควรศึกษาจำนวนวนอิเล็กตรอนเฉลี่ยในปืนอิเล็กตรอนเดียวทั้งที่อยู่ในเกา座โคลนทางซ้ายและเกา座โคลนทางขวา

4. ในโครงการนี้ได้แบ่งช่วงของจำนวนประจุลบที่ถูกเหนี่ยวนำด้วยแรงดันไฟฟ้าที่ข้ามเกตแต่ละขั้วถูกออกเป็น 10 ช่วงเท่าๆ กัน ซึ่งอาจจะทำให้การคำนวณตำแหน่งค่าความนำไฟฟ้าสูงสุดคลาดเคลื่อนได้ ดังนั้น จึงควรแบ่งช่วงการคำนวณที่ละเอียดมากขึ้น โดยศึกษาถึงแนวโน้มของจำนวนจุดที่แบ่งในการคำนวณต่อความคลาดเคลื่อนที่เกิดขึ้น ซึ่งอาจจะทำให้สามารถกำหนดจำนวนจุดในการคำนวณที่ต่ำที่สุด ที่ยังคงทำให้ผลการคำนวณแม่นยำที่สุด อย่างไรก็ตาม เพื่อให้การคำนวณค่าความนำไฟฟ้ามีความถูกต้องมากยิ่งขึ้น ช่วงของค่าประจุเหนี่ยวนำควรถูกแบ่งให้ละเอียดมากขึ้น

5. ในโครงการนี้ใช้เงื่อนไข $k_{x_0} = k_{y_0}$ ในการสร้างกราฟการแก้วงกวัดของคูลอมบ์ ซึ่งเส้นกราฟดังกล่าวอาจไม่ผ่านจุดที่ค่าความนำไฟฟ้ามีค่าสูงสุด เพื่อให้สามารถสร้างกราฟที่ผ่านจุดที่ริบเปเปลพอยท์คราวกานนดค่า k_{x_0} ให้มีค่าคงที่ กล่าวคือ ใช้ k_{x_0} ที่ได้จากการแก้วงกวัดของคูลอมบ์ในแผนภาพเสถียรแล้วเปลี่ยนแปลงค่า k_{x_0} จนกว่ากราฟจะผ่านจุดที่มีค่าความนำไฟฟ้าสูงสุด

បរណាយករណ៍



បរចាំនុក្រម

- [1] Kastner MA. "The single-electron transistor". *Reviews of modern physics* 1992; 64[3]: 849-858.
- [2] Tinkham M. "Coulomb blockade and electron in a mesoscopic box". *American journal of physics* 1996; 64: 343-347.
- [3] Fulton TA, Dolan GJ. "Observation of single-electron charging effects in small tunnel junctions". *Physical review letters* 1987; 59[1]: 109–112.
- [4] Lafarge P, Pothier H, Williams ER, Esteve D, Urbina C, Devoret MH. "Direct observation of macroscopic charge quantization". *Zeitschrift für physik B condensed matter* 1991; 85[3]: 327-332.
- [5] Devoret MH, Esteve D, Urbina C. "Single-electron transfer in metallic nanostructures". *Nature* 1992; 360[6404]: 547-553.
- [6] Wallisser C, Limbach B, Vom Stein P, Schäfer R, Theis C, Göppert G, Grabert H. "Conductance of the single-electron transistor: A comparison of experimental data with Monte Carlo calculations". *Physical review B* 2002; 66[12]: 125314.
- [7] Limbach B, Stein PV, Wallisser C, Schäfer R. "Coulomb blockade in two-island systems with highly conductive junctions". *Physical review B* 2005; 72[4]: 045319.
- [8] Wang X. "Charge fluctuations on ultrasmall metallic islands". [Ph.D. thesis]. Freiburg: Albert Ludwigs University Freiburg; 1996.
- [9] Göppert G, Grabert H. "Charge fluctuations in the single-electron box". *Physical review B* 2001; 63[12], 125307.
- [10] Wang X, Egger R, Grabert H. "Coulomb charging energy for arbitrary tunneling strength". *EPL (Europhysics letters)*; 38[7]: 545-548.
- [11] Panyukov SV, Zaikin AD. "Coulomb blockade and nonperturbative ground-state properties of ultrasmall tunnel junctions". *Physical review letters* 1991; 67[22]: 3168-3171.
- [12] Grabert H. "Rounding of the Coulomb staircase by the tunneling conductance". *Physica B* 1994; 194: 1011-1012.
- [13] Göppert G, Grabert H, Prokof'ev NV, Svistunov BV. "Effect of tunneling conductance on the coulomb staircase". *Physical review letters* 1998; 81[11]: 2324-2327.



- [14] Falci G, Schön G, Zimanyi GT. "Unified scaling theory of the electron box for arbitrary tunneling strength". *Physical review letters* 1995; 74[16]: 3257-3260.
- [15] Theis C. "Conductance of single electron devices from imaginary-time path integrals" [Ph.D. thesis]. Freiburg: Universitätsbibliothek Freiburg; 2004.
- [16] Metropolis N, Ulam S. "The Monte Carlo method". *Journal of the American statistical association* 1949; 44[247]: 335-341.
- [17] Murthy KPN. "An introduction to Monte Carlo simulation of statistical physics problem". School of physics: University of Hyderabad; 2001.
- [18] Feynman RP, Hibbs AR. "Quantum mechanics and path integrals". Emended edition. Courier Dover publications; 2012
- [19] Srivillai P. "Quantum Monte Carlo study of the metallic single electron pump". [Ph.D. thesis]. Freiburg: Albert Ludwigs University Freiburg; 2012.
- [20] Göppert G. "Single electron tunneling at large conductance". [Ph.D. thesis]. Freiburg: Universitätsbibliothek Freiburg; 2000.
- [21] Van Der Wiel WG, De Franceschi S, Elzerman JM, Fujisawa T, Tarucha S, Kouwenhoven LP. "Electron transport through double quantum dots". *Reviews of modern physics* 2002; 75[1]: 1-22.
- [22] Press WH, Teukolsky SA, Vetterling WT, Flannery BP. "Numerical recipes in C - the art of scientific computing". Cambridge: Cambridge University Press; 1992: 994.
- [23] Brown R, Simanek E. "Transition to Ohmic conduction in microscopic tunnel junctions at low temperatures". *Physical Review B* 1992; 45: 6069-6073.



ภาคผนวก



การคำนวณสมการผลต่างพลังงานการเพิ่มประจุรวมของปีมอเล็กตรอนเดี่ยว

การคำนวณผลต่างพลังงานการเพิ่มประจุรวมของปีมอเล็กตรอนเดี่ยวในบทที่ 3 สำหรับใช้สร้างแผนภาพเส้นยิรของปีมอเล็กตรอนเดี่ยว จำนวนประจุสุทธิในเกาโลหะนิยามจากจำนวนประจุบางดังนี้ เมื่ออิเล็กตรอนหลุดผ่านจากเกาโลหะทางซ้ายไปยังเกาโลหะทางขวา จะทำให้จำนวนประจุในเกาโลหะทางซ้ายเพิ่มขึ้นจาก $n_L \rightarrow n_L + 1$ ในขณะที่ จำนวนประจุในเกาโลหะทางขวาลดลงจาก $n_R \rightarrow n_R - 1$ ในกรณีของปีมอเล็กตรอนเดี่ยวสามารถแยกเหตุการณ์การหลุดผ่านของอิเล็กตรอนภายใต้ปีมอเล็กตรอนเดี่ยวได้เป็นกรณีต่างๆ ดังนี้

กรณีที่ 1 $(n_L, n_R) \rightarrow (n_L - 1, n_R)$

กรณีที่ 2 $(n_L, n_R) \rightarrow (n_L + 1, n_R)$

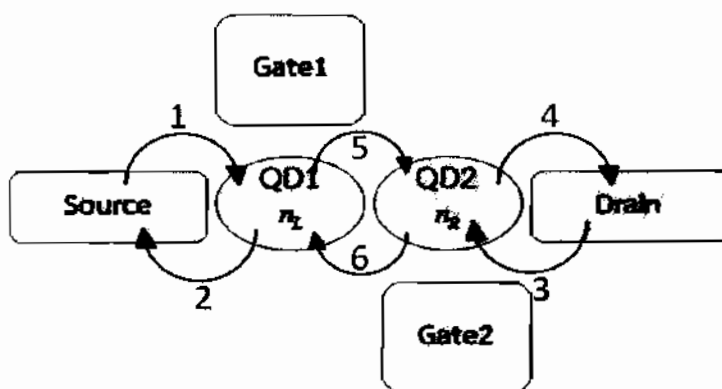
กรณีที่ 3 $(n_L, n_R) \rightarrow (n_L, n_R - 1)$

กรณีที่ 4 $(n_L, n_R) \rightarrow (n_L, n_R + 1)$

กรณีที่ 5 $(n_L, n_R) \rightarrow (n_L + 1, n_R - 1)$

กรณีที่ 6 $(n_L, n_R) \rightarrow (n_L - 1, n_R + 1)$

โดยลักษณะการเคลื่อนที่ของอิเล็กตรอนทั้ง 6 กรณี แสดงดังภาพประกอบ မ.1



ภาพประกอบ မ.1 ลักษณะการเคลื่อนที่ของอิเล็กตรอนทั้ง 6 กรณี

เหตุการณ์การหลุดผ่านทั้ง 6 กรณีที่เกิดขึ้นในปีมอเล็กตรอนเดี่ยว สามารถแบ่งเงื่อนไขในการพิจารณาการเปลี่ยนแปลงประจุของระบบ (ΔQ_{sys}) ออกเป็นสองเงื่อนไข ได้แก่ เงื่อนไขที่ระบบไม่เกิดการอนุรักษ์จำนวนประจุ ($\Delta Q_{sys} \neq 0$) และเงื่อนไขที่ระบบเกิดการอนุรักษ์จำนวนประจุ ($\Delta Q_{sys} = 0$)

เงื่อนไขที่ 1 ระบบไม่เกิดการอนุรักษ์จำนวนประจุ ($\Delta Q_{sys} \neq 0$) ได้แก่ กรณีที่ 1 ถึง 4 ซึ่งเป็นเงื่อนไขที่เกิดการเปลี่ยนแปลงของจำนวนประจุสุทธิภายในระบบปีมอเล็กตรอนเดี่ยว โดยเกิดจากการถ่ายเทประจุระหว่างเกาโลหะกับขั้วโลหะภายนอก การถ่ายเทประจุดังกล่าวเกิดจากการเพิ่มหรือลด

ของอิเล็กตรอน 1 ตัว จึงประมาณว่าจำนวนประจุที่ข้ามโลหภายนอกมีค่าคงที่ แต่อย่างไรก็ตาม การเปลี่ยนแปลงจำนวนอิเล็กตรอน 1 ตัว ภายในเกาโลหะซึ่งมีจำนวนอะตอมจำกัด จะส่งผลให้เกิดการเปลี่ยนแปลงจำนวนประจุสุทธิภายในเกาโลหะอย่างมีนัยสำคัญ จึงทำให้ศักย์ไฟฟ้าที่เกาโลหะเกิดการเปลี่ยนแปลง ดังนั้น การคำนวณผลต่างของพลังงานการเพิ่มประจุจึงใช้ประจุสุทธิของเกาโลหะที่เกี่ยวข้องกับการถ่ายเทประจุในแต่ละกรณี ได้แก่ $Q_L = en_L$ หรือ $Q_R = en_R$ ซึ่งเป็นประจุสุทธิของเกาโลหะทางซ้ายและทางขวา ตามลำดับ

เมื่อในที่ 2 ระบบเกิดการอนุรักษ์จำนวนประจุ ($\Delta Q_{sys} = 0$) ได้แก่ กรณีที่ 5 และ 6 ซึ่งเป็นเมื่อในที่ 2 ที่การเปลี่ยนแปลงประจุของเกาโลหะเกิดจากการถ่ายเทประจุระหว่างเกาโลหะทั้งสองเกา โดยไม่เกิดการถ่ายเทประจุระหว่างระบบปั๊มอิเล็กตรอนเดียวกับสิ่งแวดล้อมภายนอก การถ่ายเทประจุดังกล่าวเกิดจากการเพิ่มหรือลดของอิเล็กตรอน 1 ตัวระหว่างเกาโลหะทั้งสองภายในปั๊มอิเล็กตรอนเดียวซึ่งมีจำนวนอะตอมจำกัด จึงส่งผลให้เกิดการเปลี่ยนแปลงจำนวนประจุสุทธิอย่างมีนัยสำคัญทั้งภายในเกาโลหะทางซ้ายและทางขวา ประกอบกับเกาภายนอกปั๊มอิเล็กตรอนเดียวถูกสร้างขึ้นจากโลหะ อิเล็กตรอนสามารถเคลื่อนที่ได้อย่างอิสระ จึงทำให้ไม่เกิดการสะสมพำนัชในสภาวะปกติ จำนวนประจุสุทธิในเกาโลหะทั้งสองในสภาวะก่อนการถ่ายเทประจุระหว่างเกาจะมีค่าเป็นศูนย์ ซึ่งทำให้ศักย์ไฟฟ้าที่เกาโลหะทั้งทางซ้ายและทางขวาที่สภาวะเริ่มต้นมีค่าเป็นศูนย์ ($U_L = 0$ และ $U_R = 0$) เมื่อนำศักย์ไฟฟ้าดังกล่าวแทนลงในสมการ (3.2) และ (3.3) ทำให้ได้ประจุสุทธิของเกาโลหะทางซ้ายและทางขวาเป็นดังสมการ (ผ.1) และ (ผ.2) ตามลำดับ

$$\begin{aligned} Q_L &= C_{\Sigma} U_L - en_{L0} - U_R C_M \\ &= -en_{L0} \end{aligned} \quad (\text{ผ.1})$$

$$\begin{aligned} Q_R &= C_{\Sigma} U_R - en_{R0} - U_L C_M \\ &= -en_{R0} \end{aligned} \quad (\text{ผ.2})$$

ดังนั้น สำหรับการคำนวณสมการผลต่างของพลังงานการเพิ่มประจุรวมของปั๊มอิเล็กตรอนเดียวในกรณีที่อยู่ภายใต้เงื่อนไขที่ประจุสุทธิของเกาโลหะทางซ้ายและทางขวาในสมการ (ผ.1) และ (ผ.2)

ด้วยอย่างการคำนวณสมการผลต่างพลังงานการเพิ่มประจุรวมของปั๊มอิเล็กตรอนเดียวในกรณีที่ 1

เพื่อให้เข้าใจวิธีการคำนวณสมการผลต่างพลังงานการเพิ่มประจุรวมของปั๊มอิเล็กตรอนเดียวในเมื่อในที่ $\Delta Q_{sys} \neq 0$ ในหัวข้อนี้ได้ยกตัวอย่างวิธีการคำนวณดังกล่าวในการณีที่ 1 ซึ่งเป็นกรณีที่อิเล็กตรอนเคลื่อนที่จากขั้วชอร์สไปยังเกาโลหะทางซ้าย จะทำให้เกิดการเปลี่ยนแปลงของพลังงานศักย์ไฟฟ้าสถิตที่เกาทางซ้าย ส่งผลให้สมการผลต่างพลังงานการเพิ่มประจุรวมของปั๊มอิเล็กตรอนเดียวเป็นดังสมการ



$$\begin{aligned}
 \Delta E_C^{\frac{n_L \rightarrow n_L - 1}{n_R \rightarrow n_R}} &= \int_{en_L}^{e(n_L - 1)} (U_L - V_L) dQ_L \\
 &= \int_{en_L}^{e(n_L - 1)} \left(\frac{2E_{CL}(Q_L + n_{L0}e) + E_{CM}(Q_R + n_{R0}e)}{e^2} - V_L \right) dQ_L \\
 &= \frac{2E_{CL}}{e^2} \left(Q_L^2 / 2 \Big|_{en_L}^{e(n_L - 1)} + n_{L0}e Q_L \Big|_{en_L}^{e(n_L - 1)} \right) \\
 &\quad + \frac{E_{CM}}{e^2} \left(Q_R Q_L \Big|_{en_L}^{e(n_L - 1)} + n_{L0}e Q_L \Big|_{en_L}^{e(n_L - 1)} \right) \\
 &\quad - V_L Q_L \Big|_{en_L}^{e(n_L - 1)}
 \end{aligned} \tag{M.3}$$

เมื่อแทนค่าขอบเขตของปริพันธ์ลงในสมการ (M.1) พบว่า

$$\begin{aligned}
 \Delta E_C^{\frac{n_L \rightarrow n_L - 1}{n_R \rightarrow n_R}} &= \frac{2E_{CL}}{e^2} \left(\frac{1}{2} (e^2(n_L^2 - 2n_L + 1) + n_L e^2) - n_{L0} e^2 \right) \\
 &\quad + \frac{E_{CM}}{e^2} (Q_R (e(n_L - 1) - en_L) + n_{L0} e (e(n_L - 1) - en_L)) \\
 &\quad - V_L (e(n_L - 1) - en_L)
 \end{aligned} \tag{M.4}$$

เนื่องจากกรณีนี้อยู่ภายใต้เงื่อนไขที่ระบบไม่เกิดการอนุรักษ์จำนวนประจุ จึงได้แทนจำนวนประจุสุทธิ ของแก๊สโลหะทางขวา $Q_R = en_R$ ลงในสมการ (M.4) ทำให้ได้สมการผลต่างพลังงานการเพิ่มประจุรวม ของปั๊มอิเล็กตรอนเดี่ยวตั้งสมการ

$$\Delta E_C^{\frac{n_L \rightarrow n_L - 1}{n_R \rightarrow n_R}} = E_{CL}(1 - 2n_L - 2n_{L0}) - E_{CM}(n_R + n_{R0}) + eV_L \tag{M.5}$$

ในการสร้างสมการสำหรับกำหนดขอบเขตเสถียรภาพของปั๊มอิเล็กตรอนเดี่ยวภายใต้แผนภาพเสถียร จะได้จากการแทนเงื่อนไข $\Delta E_C^{\frac{n_L \rightarrow n_L - 1}{n_R \rightarrow n_R}} = 0$ ลงในสมการ (M.5) พบว่า

$$0 = E_{CL}(1 - 2n_L - 2n_{L0}) - E_{CM}(n_R + n_{R0}) + eV_L \tag{M.6}$$

จากนั้น จัดสมการ (M.6) ให้อยู่ในรูปของสมการเส้นตรงได้ดังสมการ

$$\Delta E_C^{\frac{n_L \rightarrow n_L - 1}{n_R \rightarrow n_R}} : \quad n_{R0} = -\frac{2E_{CL}}{E_{CM}} n_{L0} + \left(\frac{E_{CL}(1 - 2n_L) + E_{CM}n_R + eV_L}{E_{CM}} \right) \tag{M.7}$$

สมการ (M.7) เป็นสมการที่ใช้กำหนดเงื่อนไขเสถียรภาพของปั๊มอิเล็กตรอนเดี่ยวในสถานะประจุต่างๆ สำหรับกรณีที่ 2 - 4 สามารถคำนวณสมการผลต่างพลังงานการเพิ่มประจุรวมของปั๊มอิเล็กตรอนเดี่ยวได้ ด้วยขั้นตอนต่อไปนี้



ตัวอย่างการคำนวณสมการผลต่างพลังงานการเพิ่มประจุรวมของปั๊มอิเล็กตรอนเดี่ยวในการณ์ที่ 5

เพื่ออธิบายวิธีการคำนวณสมการผลต่างพลังงานการเพิ่มประจุรวมของปั๊มอิเล็กตรอนเดี่ยว ภายใต้เงื่อนไขที่ $\Delta Q_{ss} = 0$ ในหัวข้อนี้ได้ยกตัวอย่างวิธีการคำนวณดังกล่าวในการณ์ที่ 5 กล่าวคือ การณ์ที่อิเล็กตรอนเคลื่อนที่จากเกาโลหะทางซ้ายไปยังเกาโลหะทางขวา ซึ่งการเคลื่อนที่ของอิเล็กตรอนในลักษณะนี้ทำให้เกิดการเปลี่ยนแปลงจำนวนประจุสุทธิภายในเกาโลหะซึ่งส่งผลให้พลังงานศักย์ไฟฟ้าลดลงของเกาโลหะทั้งสองเกิดการเปลี่ยนแปลง ดังนั้น การเปลี่ยนแปลงของพลังงานการเพิ่มประจุรวมของปั๊มอิเล็กตรอนเดี่ยวจึงสามารถคำนวณได้จากผลรวมระหว่างการเปลี่ยนแปลงพลังงานของเกาโลหะทางซ้ายและทางขวาดังสมการ

$$\Delta E_C^{n_L \rightarrow n_L+1} = \int_{en_L}^{e(n_L+1)} (U_L - U_R) dQ_L + \int_{en_R}^{e(n_R-1)} (U_R - U_L) dQ_R \quad (\text{ผ.8})$$

เมื่อนำศักย์ไฟฟ้าของเกาโลหะทางซ้ายและขวา U_L และ U_R ในสมการ (3.6) และ (3.7) แทนลงในสมการ (ผ.8) จะได้

$$\begin{aligned} \Delta E_C^{n_L \rightarrow n_L+1} &= \left[\int_{en_L}^{e(n_L+1)} \left(\frac{2E_{CL}}{e^2} (Q_L + en_{L0}) + \frac{E_{CM}}{e^2} (Q_R + en_{R0}) \right) dQ_L \right. \\ &\quad \left. - \int_{en_L}^{e(n_L+1)} \left(\frac{2E_{CR}}{e^2} (Q_R + en_{R0}) + \frac{E_{CM}}{e^2} (Q_L + en_{L0}) \right) dQ_R \right] \\ &\quad + \left[\int_{en_R}^{e(n_R-1)} \left(\frac{2E_{CR}}{e^2} (Q_R + en_{R0}) + \frac{E_{CM}}{e^2} (Q_L + en_{L0}) \right) dQ_R \right. \\ &\quad \left. - \int_{en_R}^{e(n_R-1)} \left(\frac{2E_{CL}}{e^2} (Q_L + en_{L0}) + \frac{E_{CM}}{e^2} (Q_R + en_{R0}) \right) dQ_L \right] \end{aligned} \quad (\text{ผ.9})$$

เนื่องจากกรณีนี้อยู่ภายใต้เงื่อนไขที่ระบบเกิดการอนุรักษ์จำนวนประจุ โดย Q_R เป็นสมีอนค่าคงที่ในพจน์แรกทางขวาของสมการ (ผ.9) จากสมการ (ผ.1) จะสามารถแทนค่าประจุสุทธิของเกาโลหะทางขวา $Q_R = -en_{R0}$ ลงในพจน์ดังกล่าว ในขณะที่ Q_L เป็นสมีอนค่าคงที่ในพจน์ที่สองทางขวา มีอยู่ของสมการ (ผ.9) โดยแทนค่าประจุสุทธิของเกาโลหะทางซ้าย $Q_L = -en_{L0}$ จากสมการ (ผ.2) ลงในพจน์ดังกล่าวทำให้สามารถจัดรูปได้ดังสมการ

$$\Delta E_C^{n_R \rightarrow n_L+1} = \left[\int_{en_L}^{e(n_L+1)} \frac{2E_{CL}}{e^2} (Q_L + en_{L0}) dQ_L - \int_{en_L}^{e(n_L+1)} \frac{E_{CM}}{e^2} (Q_L + en_{L0}) dQ_L \right] \\ + \left[\int_{en_R}^{e(n_R-1)} \frac{2E_{CR}}{e^2} (Q_R + en_{R0}) dQ_R - \int_{en_R}^{e(n_R-1)} \frac{E_{CM}}{e^2} (Q_R + en_{R0}) dQ_R \right] \quad (\text{ผ.10})$$

จากการหาค่าปริพันธ์ ทำให้ได้ค่าผลต่างพลังงานการเพิ่มประจุรวมของปั๊มอิเล็กตรอนเดี่ยวตั้งสมการ

$$\Delta E_C^{n_R \rightarrow n_L+1} = \left[\frac{2E_{CL}}{e^2} \left(Q_L^2 / 2 \Big|_{en_L}^{e(n_L+1)} + en_{L0} Q_L \Big|_{en_L}^{e(n_L+1)} \right) - \frac{E_{CM}}{e^2} \left(Q_L^2 / 2 \Big|_{en_L}^{e(n_L+1)} + en_{L0} Q_L \Big|_{en_L}^{e(n_L+1)} \right) \right] \\ + \left[\frac{2E_{CR}}{e^2} \left(Q_R^2 / 2 \Big|_{en_R}^{e(n_R-1)} + en_{R0} Q_R \Big|_{en_R}^{e(n_R-1)} \right) - \frac{E_{CM}}{e^2} \left(Q_R^2 / 2 \Big|_{en_R}^{e(n_R-1)} + en_{R0} Q_R \Big|_{en_R}^{e(n_R-1)} \right) \right] \quad (\text{ผ.11})$$

เมื่อแทนขอบเขตของปริพันธ์ พบว่า

$$\Delta E_C^{n_R \rightarrow n_L+1} = E_{CL} (1 + 2n_L + 2n_{L0}) - E_{CM} (1/2 + n_L + n_{L0}) \\ + E_{CR} (1 - 2n_R - 2n_{R0}) - E_{CM} (1/2 - n_R - n_{R0}) \quad (\text{ผ.12})$$

ในการสร้างสมการสำหรับกำหนดขอบเขตเสถียรภาพของปั๊มอิเล็กตรอนเดี่ยวภายในแผนภาพเสถียร จะได้จากการแทนเงื่อนไข $\Delta E_C^{n_R \rightarrow n_L+1} = 0$ ลงในสมการ (ผ.12) จะได้

$$0 = E_{CL} (1 + 2n_L + 2n_{L0}) - E_{CM} (1/2 + n_L + n_{L0}) \\ + E_{CR} (1 - 2n_R - 2n_{R0}) - E_{CM} (1/2 - n_R - n_{R0}) \quad (\text{ผ.13})$$

จากนั้น จัดสมการ (ผ.13) ให้อยู่ในรูปของสมการเส้นตรงดังสมการ

$$\Delta E_C^{n_R \rightarrow n_L+1}; \quad n_{R0} = \frac{(2E_{CL} - E_{CM})}{(2E_{CR} - E_{CM})} n_{L0} + \left(\frac{E_{CL}(1+2n_L) + E_{CR}(1-2n_R) + E_{CM}(n_R - n_L - 1)}{(2E_{CR} - E_{CM})} \right) \quad (\text{ผ.14})$$

สมการ (ผ.14) เป็นสมการที่ใช้กำหนดเงื่อนไขเสถียรภาพของปั๊มอิเล็กตรอนเดี่ยวในสถานะประจุต่างๆ สำหรับกรณีที่ 6 สามารถคำนวณสมการผลต่างพลังงานการเพิ่มประจุรวมของปั๊มอิเล็กตรอนเดี่ยวได้ด้วยขั้นตอนดังต่อไปนี้ การคำนวณในกรณีที่ 5 เมื่อร่วมเงื่อนไขเสถียรภาพของปั๊มอิเล็กตรอนเดี่ยวในสถานะประจุต่างๆ ทั้ง 6 กรณี จะสามารถสร้างแผนภาพเสถียรได้ตามรายละเอียดในบทที่ 3

ประวัติย่อผู้ทำโครงการ



ประวัติย่อผู้ทำโครงการ

ชื่อ นามสกุล
วัน เดือน ปีเกิด
จังหวัด และประเทศไทยที่เกิด
ประวัติการศึกษา

นาย ปราโมทย์ รังศรี
 วันที่ 18 ตุลาคม 2534
 อำเภอศรีสิงห์ จังหวัดนครพนม ประเทศไทย
 พ.ศ. 2549 สำเร็จการศึกษาระดับมัธยมต้นจาก
 โรงเรียนนาคำราษฎร์รังสรรค์ ตำบลนาคำ อำเภอศรีสิงห์
 จังหวัดนครพนม
 พ.ศ. 2553 สำเร็จการศึกษาระดับมัธยมปลายจาก
 โรงเรียนนาคำราษฎร์รังสรรค์ ตำบลนาคำ อำเภอศรีสิงห์
 จังหวัดนครพนม
 พ.ศ. 2557 สำเร็จการศึกษาระดับปริญญาตรี วท.บ. พลังงาน
 คณะวิทยาศาสตร์ มหาวิทยาลัยมหาสารคาม ตำบลสามเรียง
 อำเภอแก้งคร้อ จังหวัดมหาสารคาม
 บ้านเลขที่ 42 หมู่ 1 ตำบลนาคำ อำเภอศรีสิงห์ จังหวัดนครพนม
 48150 เบอร์โทรศัพท์ 087-217-1608
 E-mail: pramote.rungsri@gmail.com



ที่อยู่ที่สามารถติดต่อได้

ชื่อ นามสกุล
วัน เดือน ปีเกิด
จังหวัด และประเทศไทยที่เกิด
ประวัติการศึกษา

นาย วรุณิ บุญฤทธิ์
 วันที่ 20 สิงหาคม 2534
 อำเภอสามชัย จังหวัดกาฬสินธุ์ ประเทศไทย
 พ.ศ. 2549 สำเร็จการศึกษาระดับมัธยมต้นจากโรงเรียนสามชัย
 ตำบลสำราญ อำเภอสามชัย จังหวัดกาฬสินธุ์
 พ.ศ. 2553 สำเร็จการศึกษาระดับมัธยมปลายจากโรงเรียนสามชัย
 ตำบลสำราญ อำเภอสามชัย จังหวัดกาฬสินธุ์
 พ.ศ. 2557 สำเร็จการศึกษาระดับปริญญาตรี วท.บ. พลังงาน
 คณะวิทยาศาสตร์ มหาวิทยาลัยมหาสารคาม ตำบลสามเรียง
 อำเภอแก้งคร้อ จังหวัดมหาสารคาม
 บ้านเลขที่ 72 หมู่ 3 ตำบลหนองช้าง อำเภอสามชัย จังหวัดกาฬสินธุ์
 46180 เบอร์โทรศัพท์ 082-124-2562
 E-mail: w.boonruesai@gmail.com



ที่อยู่ที่สามารถติดต่อได้

ชื่อ นามสกุล นาย สุธีร์ สัมพันธ์อภัย
วัน เดือน ปีเกิด วันที่ 17 ตุลาคม 2534
จังหวัด และประเทศไทยที่เกิด อำเภอประโคนชัย จังหวัดบุรีรัมย์ ประเทศไทย
ประวัติการศึกษา พ.ศ. 2549 สำเร็จการศึกษาระดับมัธยมต้นจาก โรงเรียนประโคนชัยพิทยาคม ตำบลประโคนชัย อำเภอประโคนชัย จังหวัดบุรีรัมย์
 พ.ศ. 2553 สำเร็จการศึกษาระดับมัธยมปลายจาก โรงเรียนประโคนชัยพิทยาคม ตำบลประโคนชัย อำเภอประโคนชัย จังหวัดบุรีรัมย์
 พ.ศ. 2557 สำเร็จการศึกษาระดับปริญญาตรี วท.บ. พลศึกษา คณะวิทยาศาสตร์ มหาวิทยาลัยมหาสารคาม ตำบลสามเรียง อำเภอ กันทรลักษ์ จังหวัดมหาสารคาม
ที่อยู่ที่สามารถติดต่อได้ บ้านเลขที่ 36/1 หมู่ 1 ตำบลประโคนชัย อำเภอประโคนชัย จังหวัดบุรีรัมย์ 31140 เบอร์โทรศัพท์ 084-471-4712
 E-mail: sampanapai.s@gmail.com

